arXiv:hep-ph/0305065v1 7 May 2003

Theory of the Lamb Shift in Hydrogen-like Systems

(Theorie der Lamb-Verschiebung in wasserstoffartigen Systemen)

Diplomarbeit/Master Thesis
an der Fakultät für Physik
der Ludwig-Maximilians-Universität München

von/by

Ulrich D. Jentschura

1. Auflage/Edition Februar 1996
2. Auflage/Edition April 2003
[with hypertext references and updates]

E–Mail:
jentschura@physik.uni-freiburg.de
jentschura@physik.tu-dresden.de
ulj@nist.gov

Abstract

Analytic calculations of the Lamb shift represent a considerable challenge due to the size and the complexity of the expressions that occur in intermediate steps. In the current work, we present a method for the treatment of the bound-state self-energy in higher orders. Advantage is taken of computer algebra systems. The method is applied to the 2P-states, and the (one-loop) self-energy is calculated up to the order of $(Z\alpha)^6$. The calculation leads to improved predictions for the in atomic hydrogen.

In particular, the focus of the current work is the calculation of the so-called A_{60}-coefficient with improved accuracy. A_{60}-coefficients are calculated with an accuracy of less than 1 Hz in frequency units,

$$A_{60}(2P_{1/2}) = -0.99891(1) \quad \text{and} \quad A_{60}(2P_{3/2}) = -0.50337(1).$$

An account of the contributions to the Lamb shift of 2P states is given [status of 1996 when this thesis was completed]. Bound-state quantum electrodynamics combines the complexity of modern quantum field theory, including renormalization, augmented by the structure of bound states and the inherent relativistic corrections with the experimental possibilities of modern high-resolution laser spectroscopy.

This thesis was submitted to the University of Munich on 10 February 1996, and final examinations took place on 8 May 1996. We attempt to provide a more complete account of the calculations whose results were previously presented in [U. D. Jentschura and K. Pachucki, e-print physics/0011008, Phys. Rev. A 54, 1853 (1996)]. The current version is not identical to the master thesis submitted to the University of Munich; it contains hyperreferences and updates. Part of the results are of relevance for a recent investigation of radiative corrections induced by local potentials [U. D. Jentschura, e-print hep-ph/0305066, J. Phys. A 36, L229 (2003)].

The thesis is in German; this English abstract is provided for completeness. Final results for the Lamb shift of 2P states as reported in Ch. 6 represent the status of corrections known by 1996.

This thesis is the first in the traditional threefold sequence "diploma(master)–dissertation(PhD)–habilitation" that is being followed in Continental Europe. Copies of the author's PhD thesis are available as U. D. Jentschura, "Quantum Electrodynamic Radiative Corrections in Bound Systems (Dresdner Forschungen: Theoretische Physik, Band 2)", web. Universitatsverlag, Dresden, 1999 (ISBN: 3-933592-65-8), 225 pages (address of web. Publishers: Bergstra e 78, 01069 Dresden, Germany). Copies of the habilitation thesis (title: "Quantum Electrodynamic Bound–State Calculations and Large–Order Perturbation Theory") as well as copies of the master thesis in its 1996 version are available via e-mail or "snail mail" (jentschura@physik.uni-freiburg.de or U. D. Jentschura, Physikalisches Institut, Universitat Freiburg, Hermann–Herder–Stra e 3, 79104 Freiburg im Breisgau, Germany).

Zusammenfassung

Analytische Rechnungen zur Lamb{Verschiebung werden durch Gro e und Komplexitat der auftretenden Terme erheblich erschwert. Es wird in dieser Arbeit eine Methode vorgestellt, mit welcher der Selbstenergiebeitrag zur Lamb{Verschiebung wasserstoartiger Systeme in hoherer Ordnung analytisch berechnet werden kann. Durch den Einsatz eines symbolischen Computerprogramms gelingt es, die Rechenschritte zu vereinheitlichen und zu beschleunigen.

Die entwickelte Methode wird auf die 2P -Zustande angewandt und der (Ein-Schleifen-) Selbstenergiebeitrag bis zur Ordnung $(Z\alpha)^6$ berechnet. Die Rechnung zeichnet sich gegenuber fruheren numerischen Rechnungen durch deutlich geringere Fehlergrenzen aus.

Insbesondere ist es das Ziel dieser Arbeit, fur die 2P -Zustande den sogenannten A_{60}-Koe zienten mit verbesserter Genauigkeit zu berechnen. Fur die 2P -Zustande ist dieser Koe zient bisher nur durch Extrapolation einer numerischen Rechnung bekannt [P. J. Mohr, Phys. Rev. A 26, 2338 (1982)],

$$A_{60}(2P_{1=2}) = \quad 0:8(3) \quad \text{und} \quad A_{60}(2P_{3=2}) = \quad 0:5(3):$$

In dieser Arbeit werden die A_{60}-Koe zienten mit einer Genauigkeit von < 1 Hz berechnet,

$$A_{60}(2P_{1=2}) = \quad 0:99891(1) \quad \text{und} \quad A_{60}(2P_{3=2}) = \quad 0:50337(1):$$

Dadurch kann die Lamb{Verschiebung fur die 2P -Zustande mit verbesserter Genauigkeit angegeben werden (bisher lag die theoretische Unsicherheit bei etwa 3 kHz). Es ergeben sich folgende neue theoretische Werte fur die Lamb{Verschiebung der 2P -Zustande,

$$E_{Lamb}(2P_{1=2}) = \quad 12836:0(3)\,\text{kHz}$$

sowie

$$E_{Lamb}(2P_{3=2}) = 12517:5(3)\,\text{kHz};$$

jeweils mit einer theoretischen Unsicherheit von 300 Hz. Fur die Feinstrukturaufspaltung der 2P -Zustande wird als theoretischer Wert

$$E_{fs} = E(2P_{3=2}) \quad E(2P_{1=2}) = 10969043:2(6)\,\text{kHz}$$

erhalten. Ein Vergleich der Voraussagen der Quantenelektrodynamik mit dem Experiment (hochstau osende Spektroskopie) kann zur Uberprufung der Quantenfeldtheorien dienen.

Inhaltsverzeichnis

1 Einleitung 1

1.1 Die QED und die Lamb-Verschiebung 1

1.2 Beitrage zur Lamb-Verschiebung 2

1.3 Gegenstand der vorliegenden Arbeit 3

1.4 Motivation fur die vorliegende Arbeit 4

1.5 Computer-Algebra Systeme 4

2 Theorie der Selbstenergie 6

2.1 Konventionen 6

2.2 Heaviside-Lorentz-Einheiten 6

2.3 Die Selbstenergiefunktion 7

2.4 Die Vertexfunktion 9

2.5 Die Selbstenergie in einem gebundenen Zustand 10

2.6 Renormierung der Selbstenergie 12

3 Die epsilon-fw-Methode 15

3.1 Allgemeines 15

3.2 Einige De nitionen 15

3.3 Die gamma-Matrizen 17

3.4 Die Foldy-Wouthuysen-Transformation 17

3.5 Der Photonen-Propagator in verschiedenen Eichungen 22

3.6 Die epsilon-Methode 23

3.7 Der Hochenergie-Anteil 25

3.8 Der Niedrigenergie-Anteil 28

4 Die Selbstenergie des 2P-Zustands (j= 1/2) zur sechsten Ordnung in Z_alpha 33

4.1 Der Hochenergie-Anteil 33

4.1.1 Allgemeines zur Rechenmethode 33

4.1.2 Der 3-Vertex Anteil 35

4.1.3 Der 2-Vertex Anteil 37

4.1.4 Der 1-Vertex Anteil 38

4.1.5 Der 0-Vertex Anteil 41

4.1.6 Der Massen-Gegenterm 43

4.1.7 Die k- und omega-Integration 43

4.1.8 Ergebnis des Hochenergie-Anteils 44
4.2 Der Niedrigenergie-Anteil 44
4.2.1 Allgemeines zur Rechenmethode 44
4.2.2 Mathematische Vorbereitungen 45
4.2.3 Der nichtrelativistische Dipol-Anteil 53
4.2.4 Korrekturen zum Strom 53
4.2.5 Korrektur zur Energie 55
4.2.6 Korrektur zur Wellenfunktion 55
4.2.7 Korrekturen zum Hamiltonian 57
4.2.8 Der numerisch auszuwertende Anteil 62
4.2.9 Ergebnis des Niedrigenergie-Anteils 62

5 Die Selbstenergie des 2P-Zustands (j= 3/2) zur sechsten Ordnung in Z_alpha 64
5.1 Der Hoch- und Niedrigenergie-Anteil 64
5.2 Endergebnis fur den 2P-Zustand (j= 3/2) 64

6 Ergebnisse und Diskussion 65
6.1 Zusammenfassung der Ergebnisse 65
6.2 Uberprufung der Rechnung 65
6.3 Abschatzung hoherer Koe zienten 66
6.4 Neue Werte fur die Lamb-Verschiebung 67
6.5 Diskussion der epsilon-fw-Methode 68

7 Ausblick 70
7.1 Anmerkung zum Vergleich mit dem Experiment 70
7.2 Hochprazisions-Tests der QED 70

Kapitel 1

Einleitung

"Quantum Electrodynamics (QED) occupies a unique position in the hierarchy of theoretical physics. As the basic theory of the electromagnetic interaction, it provides the foundation for the quantum mechanics of atoms and molecules as well as condensed matter physics, not to mention their numerous applications in chemistry, biology, etc. At the same time, it is the first theory that has been applied successfully to high energy phenomena."
T. Kinoshita in [5]

1.1 Die QED und die Lamb-Verschiebung

Die Quantenelektrodynamik beschreibt die Wechselwirkung des elektromagnetischen Feldes (des Lichtes) mit geladenen Teilchen. Ausgangspunkt für die Entwicklung der QED waren unter anderem experimentell nachgewiesene geringe Abweichungen von den Voraussagen der Diracschen Theorie des Wasserstoffatoms.

Es sei daher an dieser Stelle an die Diracsche Formel für die Energieniveaus des Wasserstoffatoms erinnert. Nach der Diracschen Theorie liegen die Niveaus der gebundenen Zustände gerade bei

$$E_{n;j} = m_e f(n;j) \tag{1.1}$$

mit

$$f(n;j) = \left(1 + \frac{(Z\alpha)^2}{(n - (j+1/2) + \sqrt{(j+1/2)^2 - (Z\alpha)^2})^2}\right)^{1/2}. \tag{1.2}$$

Eine gute Möglichkeit, die Diracschen Energieniveaus genauer zu untersuchen, liegt in der Entwicklung der Formel 1.2 in eine Taylorreihe in der Feinstrukturkonstanten α. In erster Näherung gilt

$$E_{n;j} = m_e - (Z\alpha)^2 m_e/(2n^2) + O(\alpha^4); \tag{1.3}$$

d.h. bis zur Ordnung α^2 ist $E_{n;j}$ von j unabhängig. Wir erkennen hier die Schrödingersche Formel für die gebundenen Energieniveaus ($E_n^S = -\alpha^2 m_e/(2n^2)$). Zu den Schrödingerschen Niveaus ist im relativistischen Sinne gerade die Ruhenergie m_e des Elektrons addiert worden.

Zwischen den $2P_{1/2}$ und $2P_{3/2}$-Niveaus liegt nach der Diracschen Theorie eine Energiedifferenz. In der Ordnung α^4 ist diese Differenz das Feinstrukturintervall

$$E_{2P\,3/2} - E_{2P\,1/2} = \text{Feinstrukturintervall} = \frac{\alpha^4 m_e}{32} + O(\alpha^6) \quad \text{für} \quad Z = 1:$$

In Einheiten der Frequenz ergibt sich daraus eine Differenz von

$$E_{2P\,3/2} - E_{2P\,1/2} \quad 10949\,MHz:$$

Die in der Schrodingerschen Theorie vorhandene Entartung der 2P -Niveaus wird also in der Diracschen Theorie aufgehoben.

Andere Entartungen bleiben jedoch erhalten. So sind die Energieniveaus der Diracschen Theorie bei vorgegebenem Gesamtdrehimpuls j (j = l + s) vom Bahndrehimpuls l und Spin s unabhangig. Daher sind zum Beispiel die $2S_{1=2}$ und $2P_{1=2}$ Niveaus in der Dirac-Theorie energetisch entartet, denn sie tragen beide die Hauptquantenzahl n = 2 und die Gesamtdrehimpuls-Quantenzahl j = 1=2. Es gilt also in der Dirac-Theorie

$$E_{2P\,1=2} \quad E_{2S\,1=2} = 0 \quad \text{(exakt)}$$

und somit

$$E_{2P\,3=2} \quad E_{2S\,1=2} = E_{2P\,3=2} \quad E_{2P\,1=2} = \text{Feinstrukturintervall:}$$

W. Lamb und R. Retherford stellten jedoch 1947 in einer spektroskopischen Messung fest, da zwischen dem $2P_{1=2}$ und dem $2S_{1=2}$-Niveau im Widerspruch zur Diracschen Theorie ein Energieunterschied besteht [10]. Die Dierenz betragt nach einer verbesserten Messung von Triebwasser, Dayho und Lamb [11] aus dem Jahr 1953

$$E_{2S_{1=2}} \quad E_{2P_{1=2}} = 1057{:}8(1)\,MHz:$$

Dieser Ekt wird heute als \klassische Lamb-Verschiebung" bezeichnet.

Die Laserspektroskopie ermoglicht heute spektroskopische Messungen an wassersto artigen Systemen mit einer relativen Genauigkeit von bis zu 10^{-12} [12]. Der angestrebte Vergleich mit den Voraussagen der Quantenelektrodynamik erfordert Berechnungen zur Lamb-Verschiebung in hoherer Ordnung.

Im Falle des Wassersto s kommen die Hauptbeitrage zur Abweichung von der Diracschen Theorie durch quantenelektrodynamische Ekte zustande. Einerseits sind kleine Abweichungen vom Coulomb-Gesetz bei sehr kleinen Abstanden dafur verantwortlich (Vakuumpolarisation), andererseits die Wechselwirkung des Elektrons mit dem virtuell vorhandenen eigenen Strahlungsfeld (Selbstenergie). Es gelang H. Bethe noch im Jahr der ersten Messung (1947), die Rechnungen zu den Hauptbeitragen der Lamb-Verschiebung (Vakuumpolarisation und Selbstenergie) in erster nichtverschwindender Ordnung ($(Z\ )^4$) zu vervollstandigen [8].

1.2 Beitrage zur Lamb-Verschiebung

Obwohl nicht alle Abweichungen von der Diracschen Theorie auf die Quantenelektrodynamik zuruckzufuhren sind, werden dennoch alle diese Abweichungen unter dem Begri \Lamb-Verschiebung" zusammengefat. Die Quantenelektrodynamik (QED), die Struktur des Kerns (Protons) und die volle relativistische Behandlung des Wassersto s als Zweikorperproblem liefern au er der Vakuumpolarisation und Selbstenergie noch verschiedene andere Korrekturen zur Diracschen Theorie, die wir hier nach der Gro e ihrer Beitrage zum Wassersto spektrum au isten wollen:

- die Selbstenergie (self-energy),
- die Vakuumpolarisation (vacuum polarization),
- Rucksto korrekturen (recoil corrections),
- Strahlungs-Rucksto korrekturen (radiative recoil corrections),
- Zwei- und Drei-Schleifen-Korrekturen zur Selbstenergie (two- and three-loop corrections),
- Kerngr enkorrektur (nite nuclear size e ect).

Es sei hier der Klarheit halber erwahnt, da die Lamb-Verschiebung fur jeden Zustand des Wassersto atoms einzeln ausgewertet wird. Durch die Dierenz der Verschiebungen der einzelenen Niveaus ergibt sich dann der Energieunterschied, der experimentell nachgewiesen wird.

Man spricht bei allen hier erwahnten Ekten von (quantenelektrodynamischen) Korrekturen zur Diracschen Theorie, weil die Ekte klein sind und daher storungstheoretisch behandelt werden konnen. Dies erleichtert die Rechnung bzw. macht die Auswertung der auftretenden Integrale uberhaupt erst moglich.

1.3 Gegenstand der vorliegenden Arbeit

"Historically, the one-photon radiative corrections (with all orders of the Coulomb interaction) have been considered in most detail, and the work required to attain the present accuracy has extended over four decades."
J. Sapirstein in [6]

Das Thema der vorliegenden Arbeit ist der Ein-Schleifen-Selbstenergiebeitrag zur Lamb-Verschiebung. Dieser Effekt kommt durch den Austausch eines virtuellen Photons zustande. Er stellt den Hauptbeitrag zur Lamb-Verschiebung in Wasserstoff dar. Es soll eine Methode (fw-Methode) vorgestellt werden, mit der dieser Beitrag in höherer Ordnung analytisch berechnet werden kann (siehe Kapitel 3). Die Methode führt zu einer gewissen Vereinfachung des sogenannten Niedrigenergie-Anteils. Der Hauptbeitrag wird von den relativistischen Korrekturen getrennt, und die Rechnung kann in Teilbeiträge aufgespalten werden. Mit dieser Methode können fehlende Koeffizienten höherer Ordnung berechnet werden.

Die Methode wird in dieser Arbeit zur Berechnung der (Ein-Schleifen-) Selbstenergie der 2P-Zustände in der Ordnung $(Z\alpha)^6$ angewandt. Unter Vernachlässigung der (geringen) Abhängigkeit von der reduzierten Masse des Systems, die später mühelos wieder eingesetzt werden kann (siehe [6]), ist der Selbstenergiebeitrag zur Lamb-Verschiebung gegeben durch

$$E_{SE} = -m\,\frac{(Z\alpha)^4}{n^3}\,F;$$

wobei sich für den dimensionslosen F-Faktor die folgende Entwicklung in Potenzen von α ergibt

$$F = F(Z\alpha) = A_{40} + A_{41}\ln((Z\alpha)^{-2}) + A_{50}(Z\alpha) + \tag{1.4}$$

$$(Z\alpha)^2\left(A_{60} + A_{61}\ln((Z\alpha)^{-2}) + A_{62}\ln^2((Z\alpha)^{-2})\right) + O(Z\alpha)^{\cdots}.$$

Die erste Ziffer in den Indizes der Koeffizienten gibt die Potenz von $(Z\alpha)$ an, die zweite Ziffer die Potenz des Logarithmus. Für P-Zustände verschwinden einige der Koeffizienten, insbesondere gilt $A_{41} = A_{50} = A_{62} = 0$ [6]. Einige andere Koeffizienten sind für die 2P-Zustände bekannt,

$$A_{40}(2P_{1/2}) = -\frac{1}{6} - \frac{4}{3}\ln k_0(2P);$$

$$A_{61}(2P_{1/2}) = \frac{103}{180}$$

sowie

$$A_{40}(2P_{3/2}) = \frac{1}{12} - \frac{4}{3}\ln k_0(2P);$$

$$A_{61}(2P_{3/2}) = \frac{29}{90}$$

mit dem Bethe-Logarithmus [6]

$$\ln k_0(2P) = -0.0300167089(1).$$

Für die A_{60}-Koeffizienten der 2P-Zustände existierten bis jetzt keine genauen Werte. Es besteht jedoch eine Möglichkeit, die Werte dieser Koeffizienten mit Hilfe von numerischen Rechnungen abzuschätzen. Numerische Rechnungen existieren für $F(Z\alpha)$ lediglich für große Kernladungszahlen Z, d.h. für schwere wasserstoffartige Ionen. Für kleine Z konvergiert die numerische Rechnung sehr langsam. P. Mohr [14] konnte in seiner Arbeit trotz großen Aufwands Ergebnisse nur für $Z \geq 5$ angeben. Durch eine Ausgleichsrechnung mit einer geeigneten Funktion und Extrapolation in den Bereich für kleine Z läßt sich dennoch eine Abschätzung für die A_{60}-Koeffizienten angeben. Die zur Ausgleichsrechnung benutzte Funktion lautet:

$$G_{SE}(Z) = A_{60} + (Z\alpha)A_{70}$$

Unter Vernachlässigung des für $Z = 1$ kleinen Beitrags

$$(Z\alpha)A_{70}$$

ist dann

$$G_{SE}(Z=1) \quad A_{60}:$$

Die auf diese Art und Weise erhaltenen numerischen Resultate für A_{60} lauten:

$$A_{60}(2P_{1=2}) \quad G_{SE}(2P_{1=2}) = \quad 0:8(3) \tag{1.5}$$

sowie

$$A_{60}(2P_{3=2}) \quad G_{SE}(2P_{1=2}) = \quad 0:5(3): \tag{1.6}$$

In dieser Arbeit sollen alle Koeffizienten, die in der Ordnung $(Z)^6$ zur Lamb-Verschiebung beitragen, analytisch berechnet werden. Hierbei ist das Wort \analytisch" so zu verstehen, daß die Rechnung im Hochenergie-Anteil (siehe Abschnitt 3.7) vollkommen analytisch, im Niedrigenergie-Anteil (siehe Abschnitt 3.8) nur bis auf verbleibende eindimensionale Integrationen analytisch erfolgt. Diese (eindimensionalen) Integrationen konvergieren sehr schnell und können mit großer Genauigkeit ausgeführt werden, da die Integranden glatte Funktionen ohne Singularitäten sind (Verfahren: Gaußsche Quadratur).

Die Ergebnisse führen auf neue Werte für die Lamb-Verschiebung der 2P-Zustände und einen neuen Wert für die Feinstrukturaufspaltung. Wegen der Länge der Terme werden die meisten Zwischenschritte in den Rechnungen nicht explizit aufgelistet. Die Größe der Ausdrücke übersteigt bei den Integranden der Matrixelemente im Hochenergie-Anteil und bei den Zwischenschritten im Niedrigenergie-Anteil oft die Grenze von 1000 Termen. Selbst manche (Teil-) Ergebnisse sind so lang, daß nur deren Struktur (funktionale Abhängigkeiten) angegeben wird. Es werden statt einer expliziten Angabe der Zwischenergebnisse die entscheidenden konzeptuellen Schritte des Verfahrens dargestellt.

1.4 Motivation für die vorliegende Arbeit

Die Quantenelektrodynamik ist bereits experimentell sehr gut bestätigt. Experimentelle Überprüfungen der Quantenelektrodynamik haben besondere Bedeutung, denn die Theorie ist Modelltheorie für das Standardmodell. Da es nicht viele Wahlmöglichkeiten bei der Konstruktion renormierbarer Quantenfeldtheorien gibt, würde eine Abweichung von den Vorhersagen der QED zur Entwicklung neuer Theorien führen müssen.

Eine weitere Motivation für die aufwendigen Rechnungen ergibt sich aus der Präzision heutiger spektroskopischer Messungen. Die Genauigkeit der theoretischen Lamb-Verschiebung der S-Zustände wird heute durch die Ladungsverteilung im Atomkern (den quadratischen Kernradius) beschränkt. Es besteht also die Hoffnung, durch neue Rechnungen und Experimente einige Erkenntnisse über Eigenschaften der Elementarteilchen zu gewinnen.

Der in dieser Arbeit erhaltene genaue Wert für die Lamb-Verschiebung der 2P-Zustände kann zum Beispiel als Referenzpunkt zur Überprüfung der Messung der 2S-Lamb-Verschiebung dienen.

1.5 Computer-Algebra Systeme

Der Einsatz von Computer Algebra Programmen in der Theoretischen Physik hat es ermöglicht, umfangreiche Berechnungen mit vielen tausend Termen in den Zwischenschritten in viel kürzerer Zeit und sehr viel zuverlässiger als bisher durchzuführen. Symbolische Umformungen werden vom Rechner vorgenommen. Quantenfeldtheorien bieten sich als Anwendungsgebiet für computergestützte symbolische Rechnungen in gewisser Weise an, denn störungstheoretische Rechnungen werden in höheren Ordnungen recht umfangreich.

Auch in dieser Arbeit wird für die Berechnungen ein Computer Algebra System verwendet, das Programm Mathematica der Firma Wolfram Research. Dieses System zeichnet sich im Vergleich zu anderen Computer Algebra Systemen durch eine sehr flexible Programmiersprache aus, die sowohl regelbasierte wie auch prozedurale und funktionale Elemente enthält. Die Programmiersprache Mathematica ist auch objektorientiert: Mit den mathematischen Objekten können Regeln assoziiert werden. Auf diese Weise lassen sich zum Beispiel Integrationsregeln definieren, die auch Ausdrücke mit mehreren tausend Termen im Integranden zuverlässig und schnell integrieren. Mit diesem Programm können Matrixelemente der

Diracschen Wellenfunktion des $2P_{1=2}$ oder des $2P_{3=2}$ Zustands automatisiert berechnet werden. Dabei entstehen Integranden mit mehreren tausend Termen.

Es wurde ein weiteres Algebra-Programm verfa t, welches Kommutatoren von Operatoren automatisch auswertet. Mit Hilfe dieses Programms wird die Foldy-Wouthuysen Transformation des Dirac-Hamiltonians automatisch ausgewertet (mit bekanntem Ergebnis, siehe [3]). Das Algebra-Programm wird verwendet, um die Foldy-Wouthuysen Transformation des Operators $^{i}e^{i\vec{k}\ \vec{r}} = \ ^{0}\ ^{i}e^{i\vec{k}\ \vec{r}}$ auszuwerten (siehe Abschnitt 3.4). Das Ergebnis dieser Transformation ist neu und ein zusatzliches Resultat dieser Arbeit.

Kapitel 2

Theorie der Selbstenergie

2.1 Konventionen

Es folgt hier eine Liste der am häufigsten verwendeten Symbole und Konventionen.

Es werden natürliche Einheiten verwandt, in denen $\hbar = c = 1$ ist und somit nur eine einzige physikalische Dimension verbleibt. Als verbleibende Dimension wählen wir in dieser Arbeit die Länge. Die Dimension der Länge wollen wir mit $[\ell]$ bezeichnen.

Griechische Indizes durchlaufen die Werte von $0 \ldots 3$, lateinische Indizes die Werte $1 \ldots 3$.

Indizes von kontravarianten Vektoren werden als Superskript plaziert. Zum Beispiel ist $k^0 = \omega$ die 0-te Komponente des Vierervektors k.

Werden griechische oder lateinische Indizes wiederholt, so gilt die Summenkonvention, auch wenn beide Indizes oben oder beide unten stehen (Beispiel $\hbar\omega = p_i p^i$). Die Summenkonvention wird aufgehoben, wenn der Index mit einem Strich versehen ist (zum Beispiel bei n' anstatt n).

Die Spurbildung einer Matrix erfolgt vermittels der Tr-Operation.

2.2 Heaviside–Lorentz-Einheiten

Um von SI-Einheiten zu Heaviside-Lorentz-Einheiten zu gelangen, gehen wir aus vom Coulomb-Gesetz

$$F = k_0 \frac{q_1 q_2}{r^2} = \frac{1}{4\pi\varepsilon_0} \frac{q_1 q_2}{r^2}$$

und wählen die Einheiten so, daß $\varepsilon_0 = 1$ wird. Außerdem wählen wir die Einheiten der Länge und Zeit so, daß gerade $c = 1$ gilt (das heißt insbesondere, daß Länge und Zeit die gleiche physikalische Dimension besitzen). Wir wählen die Einheit der Energie so, daß auch $\hbar = 1$ ist. In Heaviside-Lorentz-Einheiten ist dann gerade

$$e^2 = \frac{e^2}{\varepsilon_0 \hbar c} = 4\pi \frac{k_0 e^2}{\hbar c} = 4\pi$$

(weil $\varepsilon_0 = \hbar = c = 1$). Die elektrische Ladung ist in diesen Einheiten eine dimensionslose Größe. Das anziehende Coulomb-Potential zwischen zwei Elementarladungen wird dann

$$V(r) = -\frac{1}{4\pi\varepsilon_0} \frac{e^2}{r} = -\frac{1}{4\pi\varepsilon_0} \frac{4\pi}{r} = -\frac{1}{r}.$$

Die erste Maxwell-Gleichung wird zu

$$\operatorname{div} \vec{E} = \frac{1}{\varepsilon_0} \rho = \rho,$$

so daß sich die inhomogenen Maxwell-Gleichungen in diesen Einheiten als

$$\partial_\mu F^{\mu\nu} = j^\nu \tag{2.1}$$

schreiben.

2.3 Die Selbstenergiefunktion

Die Selbstenergie des Elektrons kommt durch die Wechselwirkung des Elektrons mit dem eigenen Strahlungsfeld zustande. Der quantenelektrodynamische Prozeß der Selbstwechselwirkung läßt sich durch das Aussenden und das Wiedereinfangen eines virtuellen Photons beschreiben. Zunächst wollen wir uns mit der Selbstenergiefunktion des freien Elektrons auseinandersetzen, die durch das Feynman-Diagramm 2.1 beschrieben ist. Im Falle eines gebundenen Elektrons müssen wir den "einfach durchgezogenen" freien Feynman-Propagator durch den vollen Propagator des Elektrons, welches sich unter dem Einfluß des Zentralfeldes fortbewegt, ersetzen. Dies wird durch den Graphen 2.2 veranschaulicht, wobei die doppelt durchgezogene Linie den vollen Feynman-Propagator für das Elektron (unter dem Einfluß des Coulombfeldes) darstellt: Zunächst wird die Selbstenergie des freien Elektrons besprochen. Gemäß den

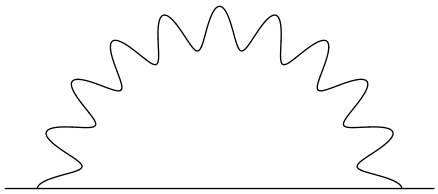

Abbildung 2.1: Selbstenergie des freien Elektrons

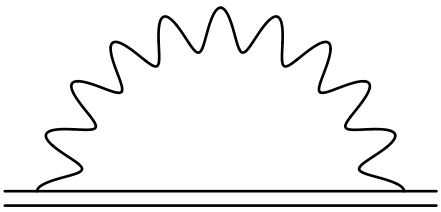

Abbildung 2.2: Selbstenergie des gebundenen Elektrons

Feynman-Regeln der QED ordnen wir diesem Graphen die folgende Amplitude zu. Wir schreiben

$-ie$ bzw. $-ie$ für die zwei Vertizes,

$iD_F(k)$ für den Photonen-Propagator zwischen den Vertizes,

$iS_F(p)$ für den Feynman-Propagator des Elektrons zwischen den Vertizes,

5 und wir integrieren über den freien unbeobachteten Parameter, den Vierer-Impuls des Photons k. Wir können die Modifikation des Feynman-Propagators durch die Ein-Schleifen-Korrektur, die wir mit $\Sigma(p)$ bezeichnen wollen, sofort hinschreiben [1]:

$$-i\Sigma(p) = \int \frac{d^4k}{(2\pi)^4} iD_F(k)(-ie)iS_F(p)(-ie)$$

oder umgeformt:

$$\Sigma(p) = ie^2 \int \frac{d^4k}{(2\pi)^4} D_F(k) S_F(p) \quad : \tag{2.2}$$

Das Problem der "kleinen" Modifikation Σ zum Feynman-Propagator liegt nun darin, daß $\Sigma(p)$ unendlich groß ist. Eine Abzählung der k-Potenzen ergibt

$$\begin{aligned} d^4k &= dk\,O(k^3); \\ D_F(k) &= O(k^{-2}); \\ S_F &= O(k^{-1}); \end{aligned}$$

da das Integral 2.2 linear divergiert. Dieses Problem wird durch Renormierung und Regularisierung gelost. Dazu wird der durch die Selbstwechselwirkung modizierte Propagator des Elektrons

$$S_F^I = S_F + S_F \quad (p) S_F + S_F \quad (p) S_F \quad (p) S_F + :::$$

genauer untersucht. Wir konnen diese Reihe formal aufsummieren zu:

$$S_F^I (p) = \frac{1}{\not{p} \quad m \quad (p) + i} : \tag{2.3}$$

Beachtet man, da $S_F^I (p)$ auf Spinor-Wellenfunktionen wirkt, die zumindest naherungsweise auf der Massenschale liegen, so erscheint die folgende Reihenentwicklung um den Punkt $\not{p} = m$ sinnvoll:

$$(p) = A + B (\not{p} \quad m) + \quad _{ren} (p) (\not{p} \quad m)^2 :$$

Wir beachten, da (p) und somit auch A, B und $_{ren} (p)$ von der Ordnung sind. Wir approximieren mit dieser Vorgabe (p) folgendermaen (Terme in hoherer Ordnung in werden weggelassen):

$$\begin{aligned} S_F^I (p) \quad = \quad & \frac{1}{\not{p} \quad m \quad A \quad B (\not{p} \quad m) \quad (\not{p} \quad m)_{ren} (p)} \\ & \frac{1}{(\not{p} \quad m \quad A)(1 \quad B)(1 \quad (\not{p} \quad m)_{ren} (p))} \\ & \frac{1 + B}{(\not{p} \quad m \quad A)(1 \quad (\not{p} \quad m)_{ren} (p))} \\ & \frac{(1 + B)(1 + (\not{p} \quad m) \ _{ren} (p))}{\not{p} \quad m \quad A} \\ & \frac{(1 + B)}{\not{p} \quad m \quad A} ; \end{aligned} \tag{2.4}$$

wobei im letzten Schritt ausgenutzt wurde, da wir uns in der Nahe der Massenschale $\not{p} = m$ befnden. Nun erfolgt die Renormierung. Die Konstante $1 + B$ wird in den Faktoren ie der Elektron-Vertizes, die an den Selbstenergiegraphen angrenzen, wie folgt absorbiert. Man denniert die Renormierungskonstante Z_2 als

$$Z_2 = 1 + B \tag{2.5}$$

und die physikalisch observable Ladung des Elektrons als

$$e_R^0 = Z_2 \ \sqrt{Z_3} e :$$

Die Z_2-Renormierung ist also eine weitere Ladungsrenormierung zusatzlich zur Z_3-Ladungsrenormierung (Vakuumpolarisation).

Das Elektron verhalt sich unter dem Einu seines eigenen Strahlungsfeldes oenbar so, als hatte es die Gesamtmasse $m + A$. Da man aber den Einu dieses Strahlungsfeldes im Experiment nicht einfach abschalten kann, so mu man A als Massenrenormierung ansehen. Es ist also

$$A = \quad m :$$

Regularisiert man den Photonenpropagator gema der Vorschrift von Pauli und Villars,

$$\frac{1}{k^2} \ ! \ \frac{1}{k^2} \quad \frac{1}{k^2 \quad M^2} ; \tag{2.6}$$

so ergibt sich

$$m = \quad \frac{3m}{4} \quad \ln \quad \frac{M^2}{m^2} \quad + \frac{1}{2} : \tag{2.7}$$

Dieser Ausdruck ist einerseits von der Ordnung , also "klein", andererseits ist er divergent in M , jedoch nur logarithmisch. Man absorbiert ihn in der renormierten Elektronenmasse.

Um die Renormierungskonstante B zu berechnen, mussen wir den Photonenpropagator weiter modizieren gema

$$\frac{1}{k^2} \; ! \; \frac{1}{k^2 \quad ^2} \quad \frac{1}{k^2 \quad M^2}; \tag{2.8}$$

wobei der ursprungliche Propagator im Limes ! 0, M ! 1 erhalten wird. Wir erhalten dann

$$Z_2 = 1 + B = 1 \quad \frac{}{2} \quad \frac{1}{2} \ln \frac{M^2}{m^2} + \ln \frac{^2}{m^2} + \frac{9}{4} : \tag{2.9}$$

Das Ergebnis fur Z_2 ist sowohl fur ! 0 als auch fur M ! 1 logarithmisch divergent. Auerdem ist der Wert fur Z_2 nicht eichinvariant und hangt von der ktiven Elektronmasse ab. Wir werden aber im nachsten Abschnitt sehen, da sich die nicht eichinvariante Z_2-Renormierung der Selbstenergie gerade mit der ebenfalls nicht eichinvarianten Z_1-Renormierung der Vertexkorrektur weghebt und daher die Theorie konsistent bleibt.

Die renormierte Selbstenergiefunktion ergibt sich dann als

$$_{ren}(p) = (p) \quad m \quad (Z_2 \quad 1)(p \quad m): \tag{2.10}$$

2.4 Die Vertexfunktion

Durch die Selbstwechselwirkung eines Teilchens mit seinem eigenen Strahlungsfeld verandert sich die Amplitude, die einem Wechselwirkungs-Vertex zugeordnet wird (Vertexkorrektur). Das entsprechende Feynman-Diagramm ist gegeben durch Abb. 2.3. Wir mussen daher

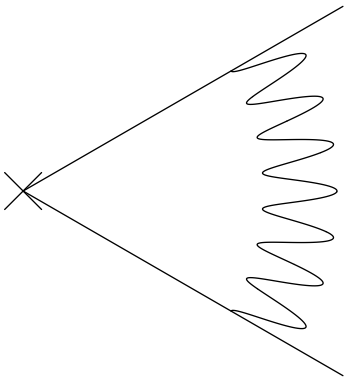

Abbildung 2.3: Vertexkorrektur

$$ie \; ! \; ie \quad ie \; (p;p^0) \tag{2.11}$$

ersetzen. Dabei sind p und p^0 die Viererimpulse des Elektrons vor bzw. nach der Wechselwirkung. Fur die Vertexfunktion kann mit den Feynman-Regeln leicht der folgende Ausdruck abgeleitet werden [1]:

$$(p;p^0) = ie^2 \int \frac{d^4k}{(2)^4} \frac{1}{k^2} \quad \frac{1}{p^0 \quad k \quad m} \quad \frac{1}{p \quad k \quad m} : \tag{2.12}$$

Auch die Vertexfunktion mu renormiert werden, denn eine Abzahlung der k-Potenzen im Integranden ergibt eine logarithmische Divergenz des Integrals fur . Aus der Entwicklung des Propagators

$$\frac{1}{p^0 \quad k \quad m} = \frac{1}{p \quad k \quad m + (p \quad p)} \tag{2.13}$$

$$= \frac{1}{p \quad k \quad m} \quad \frac{1}{p \quad k \quad m}(p^0 \quad p)\frac{1}{p \quad k \quad m} \tag{2.14}$$

ergibt sich unter Abzahlung der k-Potenzen der (divergente) Hauptbeitrag zur Vertexfunktion gerade für

$$p^0 = p:$$

Daher kann geschrieben werden als

$$(p^0;p) = (p;p) + {}^R(p^0;p) \tag{2.15}$$

mit der renormierten Vertexfunktion ${}^R(p^0;p)$. Man kann nachweisen, da der divergente Anteil der Vertexfunktion gerade proportional zu ist:

$$(p;p) = L \tag{2.16}$$

Daher mu eine weitere Ladungsrenormierung gema

$$ie \;!\; ie \quad ie\ L \quad ie\ {}^R(p;p^0) = ie(1+L)\ {}^R(p;p^0) \tag{2.17}$$

vorgenommen werden, so da sich die dreifach renormierte Elektronladung zu

$$e_R^{00} = Z_1{}^1 e_R^0 \tag{2.18}$$

ergibt mit

$$Z_1{}^1 = 1 + L \quad \text{oder} \quad Z_1 = 1 \quad L \tag{2.19}$$

(in niedrigster Ordnung in) und

$$e_R^0 = Z_2 \overline{{}^p Z_3} e \tag{2.20}$$

(Z_2-Renormierung aufgrund der Selbstenergie, Z_3-Renormierung aufgrund der Vakuumpolarisation). Mit der Ward-Identitat

$$(p;p) = \frac{@\ (p)}{@p} \tag{2.21}$$

wird unter Ausnutzung der Entwicklung von (p) in Potenzen von (6 m)

$$(p) = A + B\,(6 \quad m) + O\,((6 \quad m)^2)$$

die wichtige Beziehung

$$L = (p;p) = \frac{@\ (p)}{@p} = B + O\,(6 \quad m) \tag{2.22}$$

und somit

$$L = B \tag{2.23}$$

hergeleitet. Daraus folgt, da sich der bei der Z_2-Renormierung zur Elektronladung addierte Anteil und der bei der Vertexkorrektur-Renormierung addierte Term gerade herausheben:

$$e_R^{00} = (1 + L + B)\ \overline{{}^p Z_3} e = (1 + (L \quad L))e = \overline{{}^p Z_3} e: \tag{2.24}$$

Die nicht eichinvarianten Z_1- und Z_2-Renormierungen der Elektronladung heben sich gegenseitig auf.

2.5 Die Selbstenergie in einem gebundenen Zustand

Der aufgrund der Selbstenergie modizierte Feynman-Propagator ist

$$S_F^I = S_F + S_F \quad {}_{ren} S_F + S_F \quad {}_{ren} S_F \quad {}_{ren} S_F + ::: \tag{2.25}$$

(das Superskript I bei S_F^I soll andeuten, da hier die Interaktion mit dem eigenen Strahlungsfeld berucksichtigt wurde).

Der Feynman-Propagator für die Dirac-Gleichung lautet im Ortsraum, nach der Zeit fouriertransformiert:

$$S_F\,(\vec{r}_1;\vec{r}_2;E) = \underset{n}{S} \frac{{}_n(\vec{r}_1)\ {}_n(\vec{r}_2)}{E \quad E_n(1 \quad i)}: \tag{2.26}$$

Dabei erstreckt sich die verallgemeinerte Summe sowohl uber den diskreten Teil des Spektrums (normale Summation) wie auch uber den kontinuierlichen Teil des Spektrums (Integration). Fur diese verallgemeinerten Summen hat J. Schwinger das S-Symbol eingefuhrt.

Die Pole des Propagators liegen gerade bei den Energie-Eigenwerten E_n der Dirac Gleichung. Beruecksichtigt man die leichte Modikation des Propagators durch $_{ren}$, so verschieben sich die Pole geringfugig. Die neuen Positionen $\tilde{E}_n = E_n + _n(E_n)$ entsprechen dann den durch die Selbstenergie verschobenen Energieniveaus. Wir beobachten (uber n wird nicht summiert!)

$$h_n|{}^0S_F\ {}^0|_n i = \int d^3r_1 \int d^3r_2 \sum_m {}^+_n(\vec{r}_1)\ _m(\vec{r}_2)\ {}^+_m(\vec{r}_2)\ _n(\vec{r}_2) \tag{2.27}$$

$$= \sum_m {}_{nm}\ {}_{mn}\frac{1}{E - E_m}$$

$$= \frac{1}{E - E_n}$$

und

$$h_n|{}^0S_F\ {}_{ren}S_F\ {}^0|_n i = h_n|{}^0S_F\ {}^0\ {}^0\ {}_{ren}S_F\ {}^0|_n i \tag{2.28}$$

$$= \sum_{m\,l} h_n|{}^0S_F\ {}^0|_l ih_l|_{ren}|_m ih_m|S_F\ {}^0|_n i$$

$$= \sum_{m\,l} \frac{1}{E - E_n}\ {}_{nl}h_l|_{ren}|_m i\frac{1}{E - E_m}\ {}_{mn} =$$

$$= \frac{h_n|_{ren}|_n i}{(E - E_n)^2}:$$

Daher ist in erster Ordnung

$$h_n|S^I_F|_n i = \frac{1}{E - E_n} + \frac{h_n|_{ren}|_n i}{(E - E_n)^2} + \frac{1}{E - E_n}\ \frac{}{h_n|_{ren}|_n i}; \tag{2.29}$$

und man kann in erster Ordnung die Energieverschiebung aufgrund der Selbstenergie als

$$E_{SE} = h_n|_{ren}|_n i \tag{2.30}$$

ansetzen.

Aus dieser Gleichung fur die Energieverschiebung eines gebundenen Zustands und der Gleichung 2.2 fur die Selbstenergiefunktion ergibt sich der Selbstenergiebeitrag zur Lamb{Verschiebung im Zustand $|i$ als

$$E_{SE} = h|ie^2 \int \frac{d^4k}{(2)^4} D\ (k)\ S^V_F(p)\ \ Ren|i \tag{2.31}$$

$$= ie^2 \int \frac{d^4k}{(2)^4} D\ (k)h|\ S^V_F(p)\ |i\ \ h|Ren|i;$$

wobei

$$S^V_F = \frac{1}{\not{p} - \not{k} - m\ {}^0V} \tag{2.32}$$

den durch das Coulombpotential zusatzlich modizierten Feynman-Propagator darstellt. Dieser Propagator wird auch als Dirac-Coulomb-Propagator bezeichnet.

Ren steht in 2.31 fur alle diejenigen Ausdrucke, die bei der Renormierung abgezogen werden mussen.

2.6 Renormierung der Selbstenergie

Bei der Renormierung der Selbstenergiefunktion (p) traten sowohl die Elektron-Renormierung Z_2 als auch die Massenrenormierung m auf. Die Gleichungen 2.7 und 2.9 für die Elektron-Renormierung Z_2 und die Massenrenormierung m waren erhalten worden, indem zunächst das Integral für (p) vor der Integration regularisiert wurde. Das Ergebnis sind dann die logarithmisch divergenten Massenrenormierugs und Elektronrenormierungskonstanten. Es wurde dabei folgende Reihenfolge eingehalten: Regularisierung, Integration, Renormierung.

In praktischen Rechnungen ist es jedoch häufig günstiger, zunächst einen divergenten Ausdruck für einen Prozeß zu berechnen und dann vom Integranden Terme abzuziehen, die den Renormierungen entsprechen. Schließlich regularisiert man den Integranden und integriert. Reihenfolge hierbei: Renormierung, Regularisierung, Integration. Diese Reihenfolge wollen wir auch in dieser Arbeit einhalten und überlegen, welchen Ausdruck wir in diesem Fall vom Integranden abziehen müssen.

Eine Renormierung und Regularisierung der Selbstenergie des Elektrons in einem gebundenen Zustand

$$E_{SE} = h\, j\, (p) j\, i \tag{2.33}$$

ist nur für hohe Energien des ausgetauschten virtuellen Photons (im ultravioletten Limes) notwendig. Die Selbstenergiefunktion des gebundenen Elektrons wird durch das elektrostatische Zentralkraftfelds modifiziert, denn der freie Propagator für das Elektron muß durch

$$\frac{1}{\not p \quad \not k \quad m} \;!\; \frac{1}{\not p \quad \not k \quad m \quad {}^0V}$$

ersetzt werden. Für den Hochenergie-Anteil der Selbstenergie ("ultravioletter Anteil") wählen wir die Feynman-Eichung des Photonenpropagators. Wir schreiben diesen Anteil, den wir mit E_H bezeichnen wollen, folgendermaßen auf:

$$E_H = \quad ie^2 \int \frac{d^4k}{(2\ )^4}\, \frac{1}{k^2}\, \frac{1}{k^2 \quad M^2}\, h\, j\, \frac{1}{\not p \quad \not k \quad m \quad {}^0V}\, j\, i \quad h\, j R e n j\, i: \tag{2.34}$$

Wir legen uns hierbei nicht fest, über welchen Bereich sich die Integration erstreckt. Dieser Punkt wird im Abschnitt über den Hochenergie-Anteil in Kapitel 3.7 näher besprochen. In der Formel für E_H steht ren für diejenigen Ausdrücke, die bei der Renormierung der Selbstenergie abgezogen werden müssen.

Wir definieren das Matrixelement

$$P^{\nu} = h\, j\, \frac{1}{\not p \quad \not k \quad m \quad {}^0V}\, j\, i:$$

Außerdem führen wir für den Nenner im Feynman-Propagator die Abkürzung

$$D = \not p \quad \not k \quad m \tag{2.35}$$

ein.

Für hohe Energien $!$ des virtuellen Photons ist es möglich und sinnvoll, den Dirac-Coulomb-Propagator in Potenzen des Potentials V zu entwickeln. Dabei wird ausgenutzt, daß für gebundene Zustände im Coulombpotential $V = \frac{}{r}$ von der Ordnung ^{2} ist (r als Abstand vom Kern ist von der Ordnung $a_{Bohr} = 1=(\ m)$).

Die Entwicklung des Dirac-Coulomb-Propagators geschieht mit Hilfe der Formel

$$\frac{1}{X \quad Y} = \frac{1}{X} + \frac{1}{X} Y \frac{1}{X} + \frac{1}{X} Y \frac{1}{X} Y \frac{1}{X} + :::$$

Wir setzen $X = \not p \quad \not k \quad m = D$ und $Y = {}^0V$ und erhalten als Resultat der Entwicklung 4 Terme, den

0-Vertex, 1-Vertex, 2-Vertex und 3-Vertex-Anteil.

$$\frac{1}{\not{p} - \not{k} - {}^0V - m} = \frac{1}{D - {}^0V} \tag{2.36}$$

$$= \frac{1}{D} +$$

$$\frac{1}{D}\,{}^0V\,\frac{1}{D} +$$

$$\frac{1}{D}\,{}^0V\,\frac{1}{D}\,{}^0V\,\frac{1}{D} +$$

$$\frac{1}{D}\,{}^0V\,\frac{1}{D}\,{}^0V\,\frac{1}{D}\,{}^0V\,\frac{1}{D} +$$

$$O(V^4)$$

Hohere Terme tragen nicht bei, da V^3 bereits von der Ordnung ^{6} ist und wir nur bis zu dieser Ordnung rechnen wollen.

Diese Entwicklung entspricht einer Aufgliederung der Selbstenergie des gebundenen Elektrons in die Summe aus 4 einzelnen Feynman-Diagrammen gema der folgenden Abb. 2.4 Der erste dieser Graphen

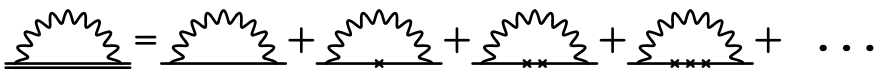

Abbildung 2.4: Entwicklung der Selbstenergie in Termen des Coulombfeldes

(der 0-Vertex-Anteil) entspricht gerade der Selbstenergie des freien Elektrons, der zweite dieser Graphen (der 1-Vertex-Anteil) gerade der Vertexkorrektur zur einfachen Interaktion des Elektrons am Coulombfeld. Die weiteren Graphen aus Abbildung 2.4 tragen keine Divergenzen, wie eine Abzahlung der k-Potenzen ergibt.

Daher mussen wir bei der Renormierung der Gesamt-Selbstenergie sowohl die Renormierungen aufgrund des 0-Vertex-Anteils wie auch aufgrund des 1-Vertex-Anteils miteinbeziehen.

Zunachst wird der 0-Vertex-Anteil behandelt, in welchem wir mit dem Propagator des freien Elektrons rechnen. Fur unsere Rechnungen benotigen wir eine Integraldarstellung des Massen-Gegenterms. Als Ansatz wahlen wir

$$m = \frac{ie^2}{(2\ )^4}\int d^4k\ \frac{1}{k^2}\ \frac{1}{k^2 - M^2}\ \frac{2(m + \ !)}{k^2 - 2m\ !}: \tag{2.37}$$

Die Gultigkeit dieser Darstellung sollte explizit nachgewiesen werden. Man kann den Ausdruck 2.37 explizit berechnen und erhalt als Ergebnis Gl. 2.7. Im folgenden soll ein Uberblick uber die wichtigsten Rechentricks gegeben werden, die zur direkten Berechnung des Ausdrucks 2.37 angewandt werden. In der Rechnung wird zweckmaig zu Hilfsvariablen $_1$ und $_2$ ubergegangen, die gema

$$\frac{1}{k^2 + i} = i\int_0^1 d\ _1 \exp(i\ _1(k^2 + i\ ))$$

und

$$\frac{1}{k^2 - 2m\ !} = i\int_0^1 d\ _1 \exp(i\ _1(k^2 - 2m\ k - t))$$

eingefuhrt werden mit dem zeitartigen Einheitsvektor t

$$t = (1;0;0;0):$$

Der Faktor ! kann als

$$! = \left.\frac{@}{@ z^0}\right|_{z=0} \exp(iz \quad k)$$

geschrieben werden. Mit der verallgemeinerten Gau schen Integralformel

$$\int \frac{d^4k}{(2 \ )^4} \exp(i(ak^2 + b \quad k)) = \frac{i}{(4 \ )^2 a^2} \exp(\quad ib^2=(4a))$$

kann dann die 4-dimensionale k-Integration ausgefuhrt werden. Dabei ist naturlich der Photonenpropagator gema Pauli-Villars zu regularisieren. Das Ergebnis der Integration ist

$$m = \frac{3m}{4} \ln \frac{M^2}{m^2} + \frac{1}{2} :$$

Der Abzug des Massen-Gegenterms nach der Integration ist also aquivalent der Subtraktion des Ausdrucks 2.37 vor der Integration.

Es ist eine Besonderheit fur gebundene Zustande, da der mit der Elektronrenormierung Z_2 verbundene Term nicht beitragt und auch nicht abgezogen zu werden braucht. Unter Vernachlassigung des Massen-Gegenterms ist der divergente Anteil des 0-Vertex-Diagramms

$$D_0 = h \ jB(\not{p} \quad m)j \ i \tag{2.38}$$

mit

$$B = Z_2 \quad 1:$$

Der divergente Beitrag aufgrund des 1-Vertex-Anteils ist, da zwischen den Feynman-Propagatoren gerade der Ausdruck ^0V steht, gegeben durch

$$D_1 = h \ j \ ^0(p;p)V j \ i \tag{2.39}$$

mit

$$^0(p;p) = L \ ^0 \tag{2.40}$$

und somit

$$D_1 = h \ j \ ^0LV j \ i \tag{2.41}$$

mit $L = Z_1 \ ^1 \quad 1$. Mit der Ward-Identitat

$$(p;p) = \frac{@}{@ p} \ (p)$$

la t sich nun (siehe Abschnitt 2.4) die Beziehung 2.23

$$L = \quad B$$

zeigen. Daher gilt:

$$D_0 + D_1 = h \ jB(\not{p} \quad m)j \ i + h \ j \ ^0LV j \ i = \tag{2.42}$$

$$= h \ j(Z_2 \quad 1)(\not{p} \quad m \quad ^0V)j \ i = 0;$$

weil $j \ i$ die Dirac-Gleichung mit Feld

$$(\not{p} \quad m \quad ^0V)j \ i = 0$$

erfullt. Es ist daher lediglich notig, den Massen-Gegenterm $\quad m$ abzuziehen, und es ergibt sich in Feynman-Eichung:

$$E_H = \quad ie^2 \int \frac{d^4k}{(2 \ )^4} \frac{1}{k^2} h \ j \ \frac{1}{\not{p} \quad \not{k} \quad m \quad ^0V} \ j \ i \quad h \ j m j \ i: \tag{2.43}$$

Kapitel 3

Die epsilon-fw-Methode

3.1 Allgemeines

Die Rechenmethode für die Selbstenergie ist eine modizierte Version der in [19] angewandten Rechenmethode (-Methode). Die Methode stutzt sich auf eine Trennung der Rechnung in einen Hoch- und einen Niedrigenergieanteil (in Bezug auf die Energie des virtuellen Photons). Diese Aufteilung war bereits Gegenstand der ursprunglichen Rechnungen zur Selbstenergie gebundener Zustande. H. Bethe berechnete in [8] den Niedrigenergie-Anteil für die Selbstenergie in der Ordnung $(Z\ )^4$. Die hier vorgestellte Rechnung geht zwei Ordnungen in Z hoher. Das bedeutet, da in der Wellenfunktion und im Propagator relativistische Korrekturen zu der Betheschen Rechnung mitgenommen werden mussen.

Die -Methode wird in dieser Arbeit modiziert. Im Niedrigenergie-Anteil wird eine Foldy-Wouthuysen- (FW)-Transformation eingefuhrt. Dadurch erfolgt eine klare Trennung des Hauptbeitrages von den relativistischen Korrekturen. Auerdem kann mit dem nichtrelativistischen Propagator für das gebundene Elektron gerechnet werden. Der nichtrelativistische Propagator ist in geschlossener Form sowohl im Ortsraum wie auch im Impulsraum bekannt. Die Rechnung lat sich aufgrund der FW-Transformation in Einzelschritte aufspalten, die nacheinander abgearbeitet werden konnen. Dadurch wird eine zusatzliche Vereinfachung erzielt (die Ausdrucke in den Zwischenschritten ubersteigen nur sehr selten die Grenze von 1000 Termen). Im Hochenergie-Anteil wird die Rechnung fast vollstandig computergestutzt ausgefuhrt. Zunachst wird in Potenzen des Potentials V und des Impulsoperators p (und damit in $(Z\ )$) entwickelt. Die dabei entstehenden Terme enthalten Matrixelemente mit der Diracschen Wellenfunktion $j\ i$. Die Matrixelemente werden mit symbolischen Programmen zur beschleunigten Berechnung von Integralen ausgewertet (wobei hier die Grenze von 1000 Termen im Integranden oft uberschritten wird). Als Name für diese computer-unterstutze Foldy-Wouthuysen- -Methode wird \ fw-Methode" vorgeschlagen.

3.2 Einige Denitionen

Zunachst sei an die 4 -Matrizen (= 0;1;2;3) mit ihren Kommutatorbeziehungen

$$f\ ;\ g = 2g \tag{3.1}$$

erinnert. Wir verwenden für diese 4 4-Matrizen die Dirac-Darstellung,

$$^0 = \begin{matrix} 1 & 0 \\ 0 & 1 \end{matrix} \quad \text{sowie} \quad \sim = \begin{matrix} 0 & \sim \\ \sim & 0 \end{matrix} : \tag{3.2}$$

Fur die ^{5}-Matrix verwenden wir die Konvention

$$^5 = \ ^0\ ^1\ ^2\ ^3 : \tag{3.3}$$

Wir wollen eine Matrix (einen Operator) als gerade denieren, wenn er von der Form

$$E = \begin{matrix} A & 0 \\ 0 & B \end{matrix} \tag{3.4}$$

ist (mit 2 2-Matrizen A und B), d.h. wenn er in einer Bispinor-Darstellung Diagonalgestalt hat. Wir wollen eine Matrix (den Operator) ungerade nennen, falls er von der Form

$$O = \begin{matrix} 0 & A \\ B & 0 \end{matrix} \tag{3.5}$$

ist. Es sind zum Beispiel die ^{i}-Matrizen mit

$$^{i} = {}^{0}\,{}^{i} = \begin{matrix} 0 & \sim \\ \sim & 0 \end{matrix} \tag{3.6}$$

ungerade (die -Matrizen sind nicht mit der Feinstrukturkonstanten zu verwechseln). Auch $\sim p = {}^{i}p^{i}$ ist ein ungerader Operator. Dem gegenuber ist zum Beispiel die ^{0}-Matrix gerade.

Nun zur Nomenklatur. Wir wollen den Schrodinger-Hamiltonian fur das Wasserstoffatom definieren als

$$H_S = \frac{p^2}{2m} + V: \tag{3.7}$$

Er wirkt auf dem Raum der komplexwertigen Wellenfunktionen. Der Dirac-Hamiltonian

$$H_D = \sim p + m + V \tag{3.8}$$

wirkt auf dem Raum der 4-komponentigen Dirac-Spinoren. Nun sei zur Klarheit darauf hingewiesen, da wir bezuglich der Entwicklung in fur gebundene Zustande

$$\sim = O( ) \tag{3.9}$$

$$p = O( ) \tag{3.10}$$

$$m = O(1) \tag{3.11}$$

$$V = O(^{2}) \tag{3.12}$$

$$\hat{k}j = O(^{2}) \tag{3.13}$$

ansehen konnen. Fur das Potential V zum Beispiel ergibt sich die Begrundung folgendermaen: r als Abstand vom Kern ist von der Ordnung $a_{Bohr} = 1=(m)$, und wir beziehen uns in dieser Arbeit auf die Massenskala des Elektrons m. Daher fuhren wir den Parameter mit

$$= \frac{r}{a_{Bohr}} = m r \tag{3.14}$$

ein und erhalten

$$V = \frac{}{r} = \frac{^{2}m}{}$$

(siehe das Buch Bethe und Salpeter, [9]).

3.3 Die gamma-Matrizen

In dieser Arbeit werden haufig die 16 -Matrizen verwendet, die eine Basis der 4 4-Matrizen bilden. Es sind dies (siehe zum Beispiel [2], Seite 54):

$$^{0} = I \tag{3.15}$$

$$^{1:::4} = \tag{3.16}$$

$$^{5:::7} = i\,^{0}\,^{i} = i\,^{i} \tag{3.17}$$

$$^{8:::10} = \frac{i}{2}\,^{ijk}\,^{j}\,^{k} = \,^{i} \tag{3.18}$$

$$^{11:::14} = \,^{5} \tag{3.19}$$

$$^{15} = \,^{5} \tag{3.20}$$

Diese 16 Matrizen werden als -Matrizen bezeichnet, wobei der Index von 0:::15 lauft. Die Matrizen ergeben sich durch Anwenden der Metrik g auf die -Matrizen, aus denen die -Matrix konstruiert ist. Zum Beispiel ist $_0 = \,^{0}$ und $_5 = \,^{5}$. Auf den 4 4-Matrizen kann mit Hilfe der Spur ein Skalarprodukt konstruiert werden,

$$hA;Bi = \sum \frac{1}{4}Tr(\,A)\,\frac{1}{4}Tr(\,B) : \tag{3.21}$$

Mit der Beziehung

$$Tr(\,) = 4 \tag{3.22}$$

rechnet man leicht nach, da die -Matrizen eine Orthonormalbasis bezuglich des oben de nierten Skalarprodukts bilden:

$$h\;;\;i = \;: \tag{3.23}$$

Das bedeutet aber, da jede 4 4 Matrix A in den -Matrizen entwickelt werden kann,

$$A = \sum h\;;Ai\, = \sum \frac{1}{4}Tr(\,A) : \tag{3.24}$$

Diese Beziehung ist zum Beispiel im Buch von Itzykson und Zuber (siehe [2]) zu nden. Die Entwicklung in die -Matrizen kann auf ein Skalarproukt vermittels der Spurbildung zuruckgefuhrt werden. Fur die Berechnung der Spuren $Tr(\,M_i)$ wird ein symbolisches Programm verwandt [26].

3.4 Die Foldy-Wouthuysen-Transformation

Wir wollen an das allgemeine Prinzip erinnern, auf dem die Foldy-Wouthuysen-(FW)-Transformation beruht. Gegeben sei ein Hamiltonian fur Spinoren ,

$$H = O + E + \,m; \tag{3.25}$$

mit O als ungeradem Operator und E als geradem Operator (so kann zum Beispiel im Dirac-Hamiltonian $O = \sim\,p$ und $E = V$ identi ziert werden). H ist hermitesch und somit auch O und E:

$$O^{+} = O \quad \text{und} \quad E^{+} = E: \tag{3.26}$$

Wir haben aufgrund der expliziten Gestalt der Matrix ^{0} die Eigenschaft

$$f\;;Og = 0 \quad \text{oder} \quad O = \,O\; : \tag{3.27}$$

Zusatzlich sei H nicht explizit zeitabhangig, d.h.

$$\frac{\partial H}{\partial t} = 0: \tag{3.28}$$

Da H nicht zeitabhangig ist, transformiert sich die "Schrodingergleichung"

$$i\frac{\partial |i\rangle}{\partial t} = H|i\rangle \tag{3.29}$$

unter unitaren Transformationen U wie

$$i\frac{\partial U|i\rangle}{\partial t} = UHU^{+}(U|i\rangle) \quad \text{falls} \quad \frac{\partial U}{\partial t} = 0: \tag{3.30}$$

Dies konnen wir auch so auffassen, als wurde der transformierte Hamiltonian $H^{0} = UHU^{+}$ auf die transformierte Wellenfunktion $^{0} = U$ wirken.

Es konnen folgende Aussagen gezeigt werden.

1. Der durch
$$U = e^{iS} \quad \text{mit} \quad S = \quad i\frac{O}{2m} \tag{3.31}$$
gegebene Operator ist unitar.

2. Im transformierten Hamiltonian
$$H^{0} = UHU^{+} \tag{3.32}$$
verschwinden ungerade Operatoren in niedrigster Ordnung in .

Fur die Unitaritat von U reicht es zu zeigen, da S hermitesch ist. Denn dann ist

$$U^{+}U = e^{\ iS^{+}}e^{iS} = 1: \tag{3.33}$$

Die Hermitezitat von S rechnet man leicht nach:

$$S^{+} = i\frac{O^{+}}{2m}^{+} = i\frac{O}{2m} \quad = \quad i\frac{O}{2m} = S: \tag{3.34}$$

Der transformierte Hamiltonian H^{0} schreibt sich unter Benutzung der Campbell-Baker-Haussdor -Identitat als

$$H^{0} = e^{iS}He^{\ iS} = \sum_{n=0}^{1}\frac{i^{n}}{n!}{}^{n}[S;H] \tag{3.35}$$

mit ${}^{n}[S;H]$ als n-Kommutator von S und H (${}^{0}[S;H] = H$). In erster Ordnung ist daher

$$H^{0} = H + i[S;H] + :::; \tag{3.36}$$

wobei wir den Kommutator $[S;H]$ wiederum in niedrigster Ordnung in als

$$[S;H] \quad = \quad [\ i\frac{O}{2m}\ ;O + E + \ m\ ] \tag{3.37}$$

$$\quad = \quad [\ i\frac{O}{2m}\ ;\ m\ ] + :::$$

$$\quad = \quad iO + ::: \tag{3.38}$$

schreiben konnen. Somit

$$H^{0} = H + i[S;H] = O + E + \ m + i(iO) + \qquad = E + \ m + ::: \tag{3.39}$$

Wie wir sehen, ist im transformierten Hamiltonian der ungerade Operator in niedrigster Ordnung O gerade verschwunden.

Um auch ungerade Operatoren hoherer Ordnung in verschwinden zu lassen, mussen zwei und mehr FW -Transformationen hintereinandergeschaltet werden. Der dann die Transformation vermittelnde Operator $UU^0U^{00}:::$ ist dann selbstverstandlich immer noch unitar. Dieses Verfahren wollen wir jetzt auf den Dirac-Hamiltonian anwenden. Wir identizieren

$$O = \tilde{\ } \quad p \quad \text{sowie} \quad E = V : \tag{3.40}$$

Es ist dann

$$S = \quad i\frac{O}{2m} = \quad i\frac{\tilde{\ }}{2m}p: \tag{3.41}$$

In unserem Beispiel reichen zwei FW -Transformationen aus, um auch in Ordnung ^{4} ungerade Operatoren zum Verschwinden zu bringen. Fur die erste der FW -Transformationen erhalt man nach einer langeren Rechnung bis zur Ordnung ^{4} (siehe etwa [3]):

$$\begin{aligned} H^0 &= \quad m + \frac{O^2}{2m} \quad \frac{O^4}{8m^3} + E \quad \frac{1}{8m^2}[O;[O;V]] + \frac{}{2m}[O;E] \quad \frac{O^3}{3m^2} \\ &= \quad m + \frac{p^2}{2m} \quad \frac{(p^2)^2}{8m^3} \quad ! \\ &\quad + V \\ &\quad \frac{1}{8m^2}[\tilde{\ } \quad p;[\tilde{\ } \quad p;V]] + \frac{}{2m}[\tilde{\ } \quad p;V] \quad \frac{(\tilde{\ } \quad p^3)}{3m^2}: \end{aligned} \tag{3.42}$$

Fur die zweite FW -Transformation ist daher

$$S^0 = \quad i\frac{O^0}{2m} = \quad \frac{i}{2m} \quad \frac{}{2m}[O;E] \quad \frac{O^3}{3m^2} = \quad \frac{i}{2m} \quad \frac{}{2m}[\tilde{\ } \quad p;V] \quad \frac{(\tilde{\ } \quad p^3)}{3m^2} \quad ; \tag{3.43}$$

und nach einer ebenfalls langeren Rechnung erhalt man fur den Foldy-Wouthuysen-transformierten Hamiltonian H_{FW} (siehe zum Beispiel [3])

$$H_{FW} = H^0 = \quad ^0 \quad m + \frac{p^2}{2m} \quad \frac{(p^2)^2}{8m^3} \quad ! \quad + V + \frac{}{2m^2} \quad (r) + \frac{}{4m^2r^3}\tilde{\ } \quad L: \tag{3.44}$$

Die Foldy-Wouthuysen-(FW)-Transformation ist also nichts weiter als die Hintereinanderausfuhrung zweier unitarer Transformationen U und U^0, die durch $\exp(iS)$ und $\exp(iS^0)$ vermittelt werden und die jeweils bis zur Ordnung ^{4} mitgenommen werden. Es ist

$$H_{FW} = U^0(UH_DU \quad ^1)U^{0\ 1} = (U^0U)H_D \quad (U^0U) \quad ^1: \tag{3.45}$$

An der Gleichung 3.44 ersieht man im ubrigen, wie sich die relativistischen Korrekturn zur Schrodingerschen Theorie (Spin-Bahn-Kopplung, Zitterbewegungsterm und Darwin-Term) aus der Diracschen Theorie ergeben.

Was konnen wir uber die transformierte Wellenfunktion $U\,j\,i$ aussagen? Die Funktion $j\tilde{\ }i = U^0U\,j\,i$ ist bis zur Ordnung ^{4} Eigenzustand des FW -Hamiltonians. Der FW -Hamiltonian ist in dieser Ordnung eine gerade Matrix, die obere und untere Komponenten nicht mischt. Der Hauptanteil zum Eigenwert ist durch den Beitrag

$$^0m = \begin{matrix} m & 0 \\ 0 & m \end{matrix}$$

gegeben. $j\tilde{\ }i$ ist Eigenzustand zu H_{FW} mit einem Eigenwert m. Daher mu $j\tilde{\ }i$ bis zu einer dem FW -Hamiltonian entsprechenden Ordnung frei von unteren Komponenten sein.

Diese Ordnung entspricht in unserem Fall der fuhrenden Ordnung der Dirac-Wellenfunktion und ihrer ersten relativistischen Korrektur. Wir konnen daher in den folgenden Rechnungen stets die unteren Komponenten des Spinors $j\,i$ vernachlassigen und $^0 \to 1, \tilde{\ } \to \ \sim$ setzen.

Auf $j\tilde{\ }i$ angewandt, ist der FW -Hamiltonian also gleichzusetzen mit der oberen Bispinor-Komponente dieses Operators, die wir mit H_{FW}^{up} bezeichnen wollen.

$$H_{FW}^{up} = m + \quad \frac{p^2}{2m} + V \quad + \quad \frac{(p^2)^2}{8m^3} + \frac{}{2m^2} \quad (r) + \frac{}{4m^2r^3}\tilde{\ } \quad L \quad ! \tag{3.46}$$

Im folgenden wollen wir nur noch mit der Anwendung des FW-Hamiltonians auf die oberen Komponenten eines Spinors beschaftigen und lassen daher das Superskript up wieder weg. Wenn wir uns an die Definition des Schrodinger-Hamiltonians $H_S = \frac{p^2}{2m} + V$ erinnern und als relativistische Korrektur dazu

$$H = \frac{(p^2)^2}{8m^3} + \frac{}{2m^2} \quad (r) + \frac{}{4m^2 r^3} \sim \quad L \tag{3.47}$$

definieren, so schreibt sich der FW-Hamiltonian sehr kompakt als

$$H_{FW} = m + H_S + \quad H : \tag{3.48}$$

Die Ruhmasse m kann aus dem obigen Hamiltonian wegtransformiert werden. In nullter Ordnung ist die nichtrelativistische Schrodinger-Wellenfunktion $j\ i$ Eigenzustand des FW-Hamiltonians. Durch die relativistischen Korrekturen H kommt eine Korrektur $j\ i$ hinzu. Die Normierung

$$h\ + \quad j\ + \quad i \overset{!}{=} 1 \quad \text{in 1. Ordnung} \tag{3.49}$$

fuhrt (wenn man $h\ j\ i$ als reell annimmt) auf

$$h\ j\ \ i \overset{!}{=} 0: \tag{3.50}$$

Die Korrektur E zum Energieeigenwert ergibt sich aus

$$E = h\ j\ H\ j\ i: \tag{3.51}$$

$j\ + \ i$ soll die transformierte Schrodingergleichung (mit relativistischen Korrekturen) approximativ losen, d.h.

$$(E_S + \ E)\ j\ + \quad i \overset{!}{=} (H_S + \ H)\ j\ + \quad i \quad \text{in 1. Ordnung} \tag{3.52}$$

Es ergibt sich die folgende Differentialgleichung fur $j\ i$,

$$(H \quad h\ j\ H\ j\ i)\ j\ i = (E_S \quad H_S)\ j\ \ i; \tag{3.53}$$

und nach weiterer Umformung

$$j\ \ i = \frac{1}{(E_S \quad H_S)^0} \ H\ j\ i \tag{3.54}$$

mit

$$G_{red}(E_S \quad H_S) = \frac{1}{(E_S \quad H_S)^0} \tag{3.55}$$

als reduzierter Greensfunktion.

Das Ergebnis der oben aufgefuhrten FW-Transformation des Dirac-Hamiltonians ist bekannt. Es soll nun die FW-Transformation der Ausdrucke

$$y^j = \ ^j \exp(i\tilde{k} \quad r) \tag{3.56}$$

berechnet werden (diese Ausdrucke sollen mit derselben unitaren Transformation transformiert werden wie der Hamiltonian). Wir erhalten

$$y^j_{FW} = U^0(U y^j U^{\ 1})U^{0\ 1} = (U^0 U)\, y^j\, (U^0 U)^{\ 1}; \tag{3.57}$$

wobei U und U^0 diejenigen unitaren Transformationen sind, mit denen auch der FW-Hamiltonian transformiert wurde. Da $\tilde{k}$ eine ^{2}-Potenz tragt und r von der Ordnung $^{\ 1}$ ist, konnen wir y^j in Potenzen von entwickeln.

$$y^j_0 = \ ^j; \tag{3.58}$$

$$y^j_1 = \ ^j(i\tilde{k} \quad r); \tag{3.59}$$

$$y^j_2 = \ ^j(\ \frac{1}{2}(\tilde{k} \quad r)^2): \tag{3.60}$$

Wir nehmen jeweils die um ^{2} höhere Korrektur zum y_0^j-Term noch mit. Nach einer längeren Rechnung, die hier nicht vorgeführt werden soll, erhält man als Ergebnis für die FW -Transformation von y_0^j:

$$y_{0;FW}^j = {}^j + {}^0 \frac{p^j}{m} \frac{1}{2m^3} p^j p^2 \tag{3.61}$$

$$\frac{1}{2m^2} p^j (\sim p) \frac{1}{2m^2} {}^j[\sim p; V] + \frac{1}{2m^2} [p^j; V]: \tag{3.62}$$

Für y_1^j erhält man nach der Transformation

$$y_{1;FW}^j = {}^j \; i\tilde{k} \; r + \frac{i}{2m} {}^0 \; {}^j[\sim p; \tilde{k} \; r] \; 2i\tilde{k} + 2(\tilde{k} \; r)^j p \tag{3.63}$$

und schließlich für y_2^j

$$y_{2;FW}^j = {}^j \frac{1}{2}(\tilde{k} \; r^2) \tag{3.64}$$

$$\frac{1}{4m} \; 2 \; {}^0((\tilde{k} \; r^2) p^j + [p^j; (\tilde{k} \; r^2)] \; {}^0 \; {}^j[\sim p; \tilde{k}(\; r^2))] \; :$$

Für die Berechnung der Lamb{Verschiebung können in den letzten drei Ergebnissen die ungeraden Operatoren weggelassen werden, d.h. die zu den -Matrizen proportionalen Terme werden vernachlässigt. Man erhält nach weiteren Umformungen als Beiträge der geraden Operatoren

$$y_{0;FW}^j = {}^0 \frac{p^j}{m} \frac{1}{2m^3} p^j p^2 \frac{1}{2m^2} \frac{}{r^3} \; r \; \sim {}^j \tag{3.65}$$

sowie

$$y_{1;FW}^j = \frac{i}{2m} {}^0 \; \tilde{k} \; \sim {}^j + \frac{i}{m} {}^0 \; \tilde{k} \; rp^j \tag{3.66}$$

und

$$y_{2;FW}^j = \frac{1}{2m} {}^0 \; \tilde{k} \; r^2 p^j + \frac{1}{2m} {}^0 \; \tilde{k} \; r \; \tilde{k} \; \sim {}^j : \tag{3.67}$$

Da wir uns wie oben nur mit den oberen Komponenten der Spinoren beschäftigen, können wir wie beim FW -Hamiltonian $^0 \; ! \; 1$ und $\sim \; ! \; \sim$ setzen (wir beschränken uns auf die linke obere $2 \; 2$-Submatrix). Wir erhalten dann

$$y_{0;FW}^j = \frac{p^j}{m} \frac{1}{2m^3} p^j p^2 \frac{1}{2m^2} \frac{}{r^3} (r \; \sim)^j \tag{3.68}$$

sowie

$$y_{1;FW}^j = \frac{i}{2m} \; \tilde{k} \; \sim {}^j + \frac{i}{m} \; \tilde{k} \; rp^j \tag{3.69}$$

und

$$y_{2;FW}^j = \frac{1}{2m} \; \tilde{k} \; r^2 p^j + \frac{1}{2m} \; \tilde{k} \; r \; \tilde{k} \; \sim {}^j : \tag{3.70}$$

Unter Vernachlässigung ungerader Operatoren und für die linke obere $2 \; 2$-Submatrix können wir daher

$$y_{FW}^j = U^{\,0}(U \; {}^j e^{i\tilde{k} \; r} U \; {}^1) U^{\,0 \; 1} = y_{0;FW}^j + y_{1;FW}^j + y_{2;FW}^j \tag{3.71}$$

setzen mit

$$\begin{aligned} y_{FW}^j = {} & \frac{p^j}{m} \; 1 + i \; \tilde{k} \; r \; \frac{1}{2} \; \tilde{k} \; r^2 \\ & \frac{1}{2m^3} p^j p^2 \frac{1}{2m^2} \frac{}{r^3} (r \; \sim)^j \\ & + \frac{1}{2m} \; \tilde{k} \; r \; \tilde{k} \; \sim {}^j \frac{i}{2m} \; \tilde{k} \; \sim {}^j : \end{aligned} \tag{3.72}$$

3.5 Der Photonen-Propagator in verschiedenen Eichungen

Der Photonen-Propagator ist definiert als Lösung der Gleichung

$$A_\mu(y) = \int d^4x D_{\mu\nu}(y-x) j^\nu(x): \tag{3.73}$$

Im Impulsraum gilt daher

$$A_\mu(k) = D_{\mu\nu}(k) j^\nu(k): \tag{3.74}$$

In Lorentz-Eichung lauten die Maxwell-Gleichungen gerade

$$\Box A_\mu(x) = j_\mu(x); \tag{3.75}$$

und im Impulsraum folgt daraus in Lorentz-Eichung

$$A_\mu(k) = -k^2 A_\mu(k) = j_\mu(x) \stackrel{!}{=} -k^2 D_{\mu\nu}(k) j^\nu(k); \tag{3.76}$$

so daß sich

$$D_{\mu\nu} = \frac{g_{\mu\nu}}{k^2} \quad \text{in Lorentz- oder Feynman-Eichung} \tag{3.77}$$

ergibt. Wir können zum Propagator beliebige Ausdrücke der Form

$$D_{\mu\nu} \to D_{\mu\nu} + \frac{1}{2k^2}(f_\mu k_\nu + f_\nu k_\mu)$$

addieren, ohne daß sich an den beobachtbaren Größen $F_{\mu\nu} = \partial_\mu A_\nu - \partial_\nu A_\mu$ etwas ändert. Bei der Rechnung muß man nur die Kontinuität des Stromes

$$k_\mu j^\mu(k) = 0$$

ausnutzen und bedenken, daß im Impulsraum

$$\partial_\mu \to -ik_\mu$$

zu ersetzen ist. In der Coulomb-Eichung

$$\partial_i A^i(x) = 0 \tag{3.78}$$

lauten die Maxwell-Gleichungen

$$\Box A_\mu(x) - \partial_\mu \partial_0 A_0(x) = j_\mu(x) \tag{3.79}$$

oder

$$-k^2 A_\mu(k) + k_\mu k_0 A_0(k) = j_0(k): \tag{3.80}$$

Es ergibt sich nach einer kurzen Rechnung für die Coulomb-Eichung

$$D_{00}(k) = \frac{1}{\vec{k}^2}; \tag{3.81}$$

$$D_{0i}(k) = D_{i0} = 0;$$

$$D_{ij}(k) = \frac{1}{k^2}\left(\delta_{ij} - \frac{k_i k_j}{\vec{k}^2}\right):$$

Die Transformation zwischen Feynman- und Coulomb-Eichung wird durch die Funktionen

$$f_0 = \frac{k_0}{\vec{k}^2} \quad \text{sowie} \quad f_i = -\frac{k_i}{\vec{k}^2} \tag{3.82}$$

vermittelt.

3.6 Die epsilon-Methode

Der ursprungliche Ausdruck fur den Selbstenergiebeitrag sieht einfach aus,

$$E_{SE} = ie^2 \int \frac{d^4k}{(2\ )^4} D\quad h\ j\ \frac{1}{\not p\quad \not k\quad m\quad {}^0V}\quad j\ i\quad h\ j\ m\ j\ i: \tag{3.83}$$

Bei einer vollkommen analytischen Rechnung entstehen jedoch sehr viele Terme. Dies erschwert die analytische Behandlung. Au erdem ergeben sich sowohl infrarote als auch ultraviolette Divergenzen, so da eine Teilung des Integrationsbereichs sinnvoll erscheint.

Ein weiterer Grund fur die Einfuhrung einer Trennung des Integrationsweges ist darin zu suchen, da im relativistischen Bereich ($!\quad m$) der Dirac-Coulomb Propagator in Potenzen des Coulombfeldes V entwickelt werden kann. Im nichtrelativistischen Bereich jedoch ($!\quad m$) tragen alle V Potenzen des Propagators bei.

Es wird daher in Bezug auf die Energie ! des virtuellen Photons eine Teilung des Integrationsweges vorgenommen. Man teilt die Rechnung in zwei Bereiche ein, die durch den Parameter $\quad m$ voneinander getrennt sind und wahlt fur die beiden Bereiche unterschiedliche Eichungen des Photonenpropagators. Das Ziel ist, fur beide Bereiche eine e ziente Berechnungsmethode zu w ahlen und dadurch die analytische Integration zu erleichtern.

Im Ausdruck fur die Selbstenergie ist der Dirac-Coulomb Propagator

$$S_F^V = \frac{1}{\not p\quad \not k\quad m\quad {}^0V}$$

enthalten. Wegen

$$\hat{E}\ j\ i = i\frac{@\ j\ i}{@\ t} = E\quad j\ i$$

(ist Eigenzustand des Hamiltonians), konnen wir im Ausdruck fur die Selbstenergie den Dirac-Coulomb-Propagator durch

$$S_F^V\ !\ \frac{1}{{}^0(E\quad !)\quad \sim\quad p\quad m\ {}^0V} = S_F^V\ (E\quad !)$$

ersetzen. Der Propagator $S_F^V\ (E\quad !)$ hat, wie man an der Darstellung 2.26

$$S_F^V\ (E\quad !) = \sum_n \frac{j\ _n i h\ j}{(E\quad !)\quad E_n(1\quad i\ )}$$

erkennt, Pole bei

$$(E\quad !)\quad E_n(1\quad i\ ) = 0\quad \text{oder}\quad ! = E\quad E_n(1\quad i\ ):$$

Unter Vernachlassigung des diskreten Spektrums, welches fur unsere Rechnung keine Rolle spielt, da die erzeugten Pole oberhalb der reellen Achse liegen, gibt es Energieeigenwerte E_n fur $E_n > m$ und $E_n <\quad m$. Fur unseren Fall ist au erdem $E\ < m ; E\quad m$. Daher gibt es Pole als Funktion von ! gerade bei

$$< (!) < 0; = (!) = i\quad E_n > 0$$

sowie

$$< (!) > 2m ; = (!) =\quad i\quad E_n < 0:$$

Da also im ursprunglichen Elektronen-Propagator die Pole fur die positiven Eigenwerte E_n leicht unter die reelle Achse gedruckt werden und die Pole fur negative Eigenwerte einen leicht positiven Imaginarteil besitzen, werden die Pole fur $! > 2m$ unter die reelle Achse gedruckt, und die Pole fur $! < 0$ bekommen einen leicht positiven Imaginarteil.

Es ergeben sich auch Pole des Integranden aus dem Photonenpropagator. Der Photonen-Propagator ist in Feynman-Eichung

$$D\quad (k) = \frac{g}{k^2 + i} = \frac{g}{!^2\quad \mathbf{k}^2 + i}:$$

Aus der Umformung

$$\frac{1}{\omega^2 - \vec{k}^2 + i\varepsilon} = \frac{1}{(\omega - |\vec{k}| + i\varepsilon)(\omega + |\vec{k}| - i\varepsilon)}$$

erhalten wir für die Positionen der Singularitäten:

$$\omega = |\vec{k}| - i\varepsilon \quad \text{sowie} \quad \omega = -|\vec{k}| + i\varepsilon :$$

Diese Pole liegen daher für $\mathrm{Im}(\omega) > 0$ leicht unterhalb der reellen Achse und für $\mathrm{Im}(\omega) < 0$ leicht darüber.

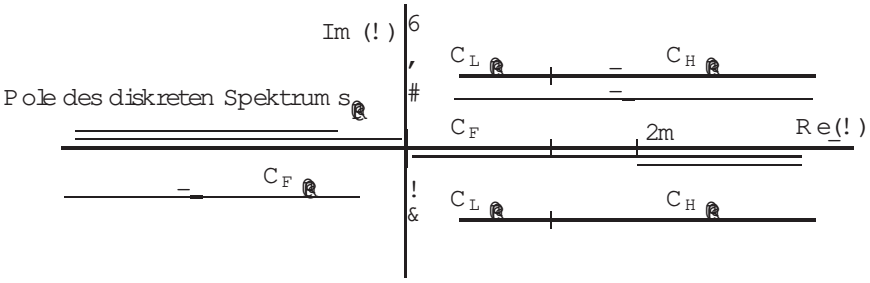

Abbildung 3.1: Integrationswege für die ω-Integration

Die ω-Integration erfolgt unter Berücksichtigung der Lage der Polstellen entlang des Feynman-Weges C_F (Abb. 3.1). Das Matrixelement $\bar{P}$ im Integranden geht für große k wie k^{-1}, der regularisierte Propagator wie k^{-4} und d^4k geht wie k^3 (zusammen k^{-2}). Daher können wir C_F durch einen unendlich großen Halbkreis in der unteren komplexen Halbebene schließen (Länge dieses Halbkreises wie k^1, daher geht das Halbkreis-Integral für große k wie k^{-1}).

Man verbiegt nun die Integrationskontour C_F zu der modifizierten Kontour $C_L + C_H$ (dabei werden keine Residuen ausgelassen). Die Integrationskontour $C = C_L + C_H$ wird wie in der Abbildung 3.1 angegeben in der vorliegenden Arbeit verwandt. Da C infinitesimal über bzw. unterhalb der reellen Achse verläuft, können wir sicherlich C_L durch Hinzunahme eines Verbindungsweges bei $\mathrm{Im}(\omega) = -\infty$ schließen.

Wir definieren als Hochenergie- und Niedrigenergie-Anteile

$$E_H = ie^2 \int_{C_H} \frac{d^4k}{(2\pi)^4} D_{\mu\nu} \langle j | \frac{1}{\not{p} - \not{k} - m + i\varepsilon^0 V} \gamma^\mu | j \rangle \langle j | \gamma^\nu | j \rangle$$

und

$$E_L = ie^2 \int_{C_L} \frac{d^4k}{(2\pi)^4} D_{\mu\nu} \langle j | \frac{1}{\not{p} - \not{k} - m + i\varepsilon^0 V} \gamma^\mu | j \rangle \gamma^\nu | j \rangle :$$

Regularisierung und Renormierung sind nur für den Hochenergie-Anteil nötig. Die Summe der beiden Anteile ist der gesuchte Selbstenergie-Beitrag zur Lamb-Shift,

$$E_{SE} = E_L + E_H :$$

E_{SE} hängt natürlich nicht von der Wahl des (kleinen) Trennungsparameters β ab, da durch diesen Parameter nur der Integrationsbereich getrennt wird. Wir haben es also mit zwei Funktionen E_L und E_H zu tun, die in Abhängigkeit von der Feinstrukturkonstanten α und dem Parameter β betrachtet werden, und deren Summe nicht von β abhängt:

$$E_{SE}(\alpha) = E_L(\alpha, \beta) + E_H(\alpha, \beta)$$

Die Entwicklungskoeffizienten von E_{SE} bezüglich α hängen nicht von β ab. Der Entwicklungskoeffizient von E bezüglich α ist aber gerade die Summe der entsprechenden Entwicklungskoeffizienten von E_L und E_H. Wir entwickeln daher E_L und E_H zuerst in β. Dann wird jeder Entwicklungskoeffizient von E_L und E_H bezüglich α nachträglich in β entwickelt. Die Summe dieser Entwicklung(en) bezüglich β darf aber nicht von β abhängen, es müssen sich alle β-Koeffizienten (bis auf den von β^0) herausheben. Die Koeffizienten von β^0 tragen daher zur Selbstenergie bei, höhere und niedrigere (divergente) Koeffizienten heben sich

gerade heraus. Daher genugt es, die Entwicklungskoe zienten von E_L und E_H bezuglich nachtraglich bis zur Ordnung ^{0} zu entwickeln. Terme, die fur $\to 0$ logarithmisch oder starker divergieren, heben sich gerade heraus.

Dies ist auch ein wichtiger Test fur die Rechnung: Denn jeder Rechenfehler bei E_L und E_H wirkt sich mit hoher Wahrscheinlichkeit auf den Koe zienten der $\ln(\ )$ oder $1=$ -Divergenz aus. Das Herausheben der Divergenz (in der Summe von E_L und E_H) ist somit ein wichtiger Test der Rechnung.

Es ist fur die Gultigkeit der Methode wichtig, da weder E_L noch E_H von der Eichung abhangen. Dazu reicht es aus, die Eichinvarianz von E_L zu zeigen. Da $E_{SE} = E_L + E_H$ nicht von der Eichung abhangt, ergibt sich daraus automatisch die Eichinvarianz von E_H. Es ist also zu zeigen, da durch Modi kationen am Propagator der Form (siehe Abschnitt 3.5)

$$D \to D + \frac{1}{2k^2}(f k + f k)$$

keine Veranderung des ^{0} Koe zienten von E_L eintritt. Unter Benutzung der Beziehung

$$\frac{1}{\not p - \not k - m - {}^0V}\not k\, ji = \frac{\not k\,(\not p + m + {}^0V)}{\not p - \not k - m - {}^0V} + \frac{\not p - m - {}^0V}{\not p - \not k - m - {}^0V}\, ji$$

$$= (\ 1 + 0)\, ji = \ ji \tag{3.84}$$

konnen wir den eichabhangigen Anteil E_L^{gauge} umformen:

$$E_L^{gauge} = ie^2 \int_{C_L} \frac{d^4k}{(2\ )^4}\frac{1}{2k^2}(f k + f k) \tag{3.85}$$

$$h j \frac{1}{\not p - \not k - m - {}^0V}\ j i$$

$$= ie^2 \int_{C_L} \frac{d^4k}{(2\ )^4}\frac{1}{k^2} h\ j f \not k \frac{1}{\not p - \not k - m - {}^0V}\not k\, j i$$

$$= + ie^2 \int_{C_L} \frac{d^4k}{(2\ )^4}\frac{1}{k^2} h\ j f \not k\, j i:$$

Dieser Ausdruck verschwindet fur $\to 0$ und tragt somit nicht zur Lamb-Shift bei. Daher ist der entscheidende ^{0} Koe zient in E_L eichinvariant.

Als Eichung wahlen wir fur den Hochenergie-Anteil den gema Pauli-Villars regularisierten Propagator in Feynman-Eichung (siehe Abschnitt 3.5)

$$D = g \frac{1}{k^2} \frac{1}{k^2 - M^2};$$

fur den Niedrigenergie-Anteil jedoch die Coulomb-Eichung (ebenfalls siehe 3.5).

3.7 Der Hochenergie-Anteil

Wir schreiben den Hochenergie-Anteil E_H mit der expliziten Form des regularisierten Photonen-Propagators (in Feynman-Eichung) und mit der Massenrenormierung m noch einmal auf,

$$E_H = ie^2 \int_{C_H} \frac{d^4k}{(2\ )^4}\frac{1}{k^2}\frac{1}{k^2 - M^2}\, h\ j \frac{1}{\not p - \not k - m - {}^0V}\ j i$$

$$h\ j m\ j i: \tag{3.86}$$

Um diesen Ausdruck bis zur Ordnung $(Z\alpha)^6$ zu berechnen, ist es notig, das Matrixelement

$$\tilde{P} = \langle j \left| \frac{1}{\not{p} - \not{k} - m - {}^0\!V} \right| j \rangle \tag{3.87}$$

bis Ordnung α^6 auszuwerten. Wir wollen fur die spateren Rechnungen $\langle j|$ explizit als $\langle j|^0$ schreiben. Damit ist

$$\tilde{P} = \langle j|^0 \left| \frac{1}{\not{p} - \not{k} - m - {}^0\!V} \right| j \rangle : \tag{3.88}$$

Wie bereits erwahnt, ist die Integrationskontour C_H nach unten durch α begrenzt (Infrarot-Regulator). Daher ist es moglich und sinnvoll, den Dirac-Coulomb-Propagator in Potenzen des Potentials V zu entwickeln. Fur gebundene Zustande im Coulombpotential ist $V = \frac{\alpha}{r}$ von der Ordnung α (siehe Abschnitt 3.2). Wir mussen daher das Matrixelement $\tilde{P}$ bis zur Ordnung V^3 entwickeln.

Um diese Entwicklung besonders ubersichtlich ausfuhren zu konnen, vereinbaren wir fur den Nenner im Feynman-Propagator die Abkurzung (siehe Abschnitt 2.4)

$$D = \not{p} - \not{k} - m : \tag{3.89}$$

Die Entwicklung des Dirac-Coulomb-Propagators geschieht mit Hilfe der Formel

$$\frac{1}{X - Y} = \frac{1}{X} + \frac{1}{X} Y \frac{1}{X} + \frac{1}{X} Y \frac{1}{X} Y \frac{1}{X} + \ldots$$

Wir setzen $X = \not{p} - \not{k} - m = D$ und $Y = {}^0\!V$ und erhalten als Resultat der Entwicklung 4 Terme, den 0-Vertex, 1-Vertex, 2-Vertex und 3-Vertex-Anteil.

$$\begin{aligned} \frac{1}{\not{p} - \not{k} - {}^0\!V - m} &= \frac{1}{D - {}^0\!V} \\ &= \frac{1}{D} + \\ &\quad \frac{1}{D}\, {}^0\!V \frac{1}{D} + \\ &\quad \frac{1}{D}\, {}^0\!V \frac{1}{D}\, {}^0\!V \frac{1}{D} + \\ &\quad \frac{1}{D}\, {}^0\!V \frac{1}{D}\, {}^0\!V \frac{1}{D}\, {}^0\!V \frac{1}{D} + O(V^4) \end{aligned} \tag{3.90}$$

Hohere Terme tragen nicht bei, da V^3 bereits von der Ordnung α^6 ist und wir nur bis zu dieser Ordnung rechnen wollen. Wir definieren dann als Matrizen

$$M_0 = {}^0\!\left\langle j \right| \frac{1}{D} \tag{3.91}$$

$$M_1 = {}^0\!\left\langle j \right| \frac{1}{D}\, {}^0\!V \frac{1}{D} \tag{3.92}$$

$$M_2 = {}^0\!\left\langle j \right| \frac{1}{D}\, {}^0\!V \frac{1}{D}\, {}^0\!V \frac{1}{D} \tag{3.93}$$

$$M_3 = {}^0\!\left\langle j \right| \frac{1}{D}\, {}^0\!V \frac{1}{D}\, {}^0\!V \frac{1}{D}\, {}^0\!V \frac{1}{D} \quad : \tag{3.94}$$

Wir konnen somit das Matrixelement $\tilde{P}$ entwickeln als

$$\tilde{P} = \tilde{P}_0 + \tilde{P}_1 + \tilde{P}_2 + \tilde{P}_3 \tag{3.95}$$

mit

$$\tilde{P}_0 = \langle j^0 \frac{1}{D} j i = \langle j M_0 j i \tag{3.96}$$

$$\tilde{P}_1 = \langle j^0 \frac{1}{D} {}^0V \frac{1}{D} j i = \langle j M_1 j i \tag{3.97}$$

$$\tilde{P}_2 = \langle j^0 \frac{1}{D} {}^0V \frac{1}{D} {}^0V \frac{1}{D} j i = \langle j M_2 j i \tag{3.98}$$

$$\tilde{P}_3 = \langle j^0 \frac{1}{D} {}^0V \frac{1}{D} {}^0V \frac{1}{D} {}^0V \frac{1}{D} j i = \langle j M_3 j i: \tag{3.99}$$

Diese Matrixelemente (0-Vertex, 1-Vertex, 2-Vertex und 3-Vertex-Anteile) sind auszuwerten. Diese Auswertung erfolgt, etwas vereinfacht beschrieben, in den folgenden Schritten:

1. Entwicklung der M_i-Matrizen in die 16 -Matrizen. Gemäß der Gl. 3.24 gilt:

$$M_i = \sum a \tag{3.100}$$

   mit

$$a = \frac{1}{4} \mathrm{Tr}(M_i):$$

   Die Entwicklung in die -Matrizen macht die Rechnung übersichtlich und systematisiert in gewisser Weise das Vorgehen, was sich besonders beim Einsatz des Computers positiv bemerkbar macht.

2. Entwicklung der a -Koeffizienten in Potenzen der Feinstrukturkonstanten . Die Entwicklungskoeffizienten a sind rationale Ausdrücke in den Impulsen des Elektrons, im Viererimpuls des virtuellen Photons und im Potential V und können daher in Potenzen von entwickelt werden (da jeder der Operatoren eine bestimmte Potenz von trägt). Es gilt:

$$a = \sum_{j=0}^{6} {}^j b_j(a): \tag{3.101}$$

   Es wird also jeder a -Koeffizient bis ^{6} entwickelt.

3. Mittelung über die räumlichen Anteile des Photonenimpulses. Über die räumlichen Komponenten in den $b_j(a)$-Koeffizienten von k kann gemittelt werden, da sich die Integration über den gesamten R^3 erstreckt.

$$b_j(a) = f(\tilde{k}; \text{andere Arg.:}) \to f(|\tilde{k}|; \text{andere Arg.:}) = b_j(a): \tag{3.102}$$

   Dabei entsteht der Ausdruck b(a), welcher nur noch von $|\tilde{k}|$, ! und natürlich von p und V abhängt.

4. Ersetzung der Matrixelemente. Es werden nun (für jede -Matrix einzeln) die $b_j(a)$-Koeffizienten durch die entsprechenden Matrixelemente mit j i ersetzt, gemäß

$$b_j(a) \to \langle j {}^0 b_j(a_0) j i; \tag{3.103}$$

   (keine Summation über , daher ^{0}, siehe Konventionen).

   Es entstehen aus den vorangegangenen Schritten Beiträge wie zum Beispiel (für die Matrix M_1, Entwicklungskoeffizient von ^{0}):

$$b_4(a_0) = (\not{p} V \not{p}) f(!; |\tilde{k}|) + \text{weitere Terme};$$

   wobei $f(!; |\tilde{k}|)$ eine rationale Funktion von ! und $|\tilde{k}|$ ist. Zwecks Berechnung von $\tilde{P}$ wird dann gemäß

$$(\not{p} V \not{p}) f(!; |\tilde{k}|) \to \langle j (\not{p} V \not{p}) j i f(!; |\tilde{k}|)$$

ersetzt. Die Auswertung der Matrixelemente wird von in Mathematica geschriebenen symbolischen Programmen erledigt (vom Autor entwickelt). Bis zur Ordnung ^{6} gilt in unserem Fall zum Beispiel

$$h\ j(pVp)\ j\ i = \frac{5}{48}\ ^4m^3 \quad \frac{283}{1152}\ ^6m^3:$$

Die Auswertung der Matrixelemente ist auch von Hand mit Hilfe von Kommutatorbeziehungen unter intensiver Ausnutzung der Algebra der Dirac-Gleichung mit Coulombfeld moglich. Dieser Weg wurde zur Verikation der Ergebnisse ebenfalls beschritten.

5. Zusammenfassung des Ergebnisses. Fur alle 's, deren Koezienten nicht Null sind, wird das oben beschriebene Verfahren angewandt. Das Ergebnis

$$\tilde{P}_i = \sum_{=0}^{15}\sum_{j=0}^{6} {}^j h\ j\ b_j(a\ )j\ i$$

wird aufaddiert, vereinfacht und in Potenzen der Feinstrukturkonstante geordnet.

Den letzten Schritt bei der Auswertung des Hochenergie-Anteils bilden die Integrationen bezuglich $|\vec{k}|$ und $!$. Die k-Integration kann mit Residuenintegration ausgefuhrt werden.

Fur die $!$-Integration werden ultraviolett divergente Ausdrucke regularisiert, es werden Feynman-Parameter eingefuhrt und die Integration kovariant ausgefuhrt.

Fur die ultraviolett konvergenten Ausdrucke wird zunachst die Integrationsvariable reskaliert und auf eine dimensionslose Groe zuruckgefuhrt. Bei der $!$-Integration beschrankt man sich auf den oberen Ast des C_H-Weges (das Gesamtergebnis ist gerade das Integral uber den oberen Ast, plus das komplex Konjugierte dieses Integrals).

3.8 Der Niedrigenergie-Anteil

Bei der Behandlung des Niedrigenergie-Anteils wird die $!$-Integration als erstes ausgefuhrt. Wir gehen aus vom allgemeinen Ausdruck fur den Niedrigenergieanteil zur Selbstenergie

$$E_L = ie^2 \int_{C_L} \frac{d^4k}{(2\ )^4} D\quad h\ j\ \frac{1}{\not{p}\quad \not{k}\quad m\quad {}^0V}\quad j\ i:$$

Zunachst formen wir das Matrixelement mit dem Propagator in einer fur den Niedrigenergieanteil gunstigen Weise um. Unter Ausnutzung der Beziehung

$$A\frac{1}{B}C = \frac{1}{C\ {}^1BA\ {}^1}; \tag{3.104}$$

und der Identitat

$$e^{i\vec{k}\ \vec{r}}\vec{p}^{\,i}e^{\ i\vec{k}\ \vec{r}} = p^i + [i\vec{k}\quad \vec{r};p^i] = p^i \quad k^i;$$

die man mit der Campbell-Baker-Hausdor-Formel oder durch explizites Dierenzieren nachweist, ergibt sich mit der Denition $^0 = \ ^0\ ^0 = I$ (diese Denition erfolgt hier rein aus Zweckmaigkeit und ist nicht "wortlich", im Sinne eines Lorentz-Index, zu verstehen),

$$\begin{aligned}
\tilde{P}^{\ } &= h\ j\ \frac{1}{\not{p}\quad \not{k}\quad m\quad {}^0V}\quad j\ i \qquad (3.105)\\
&= h\ j\ \frac{1}{e^{i\vec{k}\ \vec{r}}(\not{p}\quad {}^0!\quad {}^0V\quad m)e^{\ i\vec{k}\ \vec{r}}}\quad j\ i\\
&= h\ ^+j\ ^0\quad e^{i\vec{k}\ \vec{r}}\frac{1}{{}^0((E\quad !)\quad \sim\quad p\ {}^0V\quad m)}\quad e^{\ i\vec{k}\ \vec{r}}j\ i\\
&= h\ ^+j\quad e^{i\vec{k}\ \vec{r}}\frac{1}{(E\quad !)\quad \sim\quad p\quad V\ {}^0m}\quad e^{\ i\vec{k}\ \vec{r}}j\ i\\
&= h\ ^+j\quad e^{i\vec{k}\ \vec{r}}\frac{1}{(E\quad !)\quad H_D}\quad e^{\ i\vec{k}\ \vec{r}}j\ i:
\end{aligned}$$

Wir verwenden für den Niedrigenergieanteil die Coulomb-Eichung. In dieser Eichung ist wie bereits in Abschnitt 3.5 erwähnt

$$D_{00} = \frac{1}{\vec{k}^2};$$

$$D_{0i} = D_{i0} = 0;$$

$$D_{ij} = \frac{1}{k^2}\,\delta_{ij} - \frac{k_i k_j}{\vec{k}^2} = \frac{1}{k^2}\,{}^{T}_{ij}:$$

Zunächst wollen wir denjenigen Anteil behandeln, der vom D_{00}-Element herrührt. Es ist

$$E_{L;00} = ie^2 \int_{C_L} \frac{d^4k}{(2\pi)^4} D_{00}(k) \langle \psi^0 | \frac{1}{p\!\!\!/ - k\!\!\!/ - m - \gamma^0 V} \gamma^0 | \psi \rangle \tag{3.106}$$

$$= ie^2 \int_{C_L} \frac{d^4k}{(2\pi)^4} \frac{1}{\vec{k}^2} \langle \psi^+ | e^{i\vec{k}\vec{r}} \frac{1}{(E - \omega) - H_D} e^{-i\vec{k}\vec{r}} | \psi \rangle:$$

Mit

$$\langle \vec{r}_1 | \frac{1}{(E - \omega) - H_D} | \vec{r}_2 \rangle = \sum_n \frac{\psi_n(\vec{r}_1)\,\psi_n^+(\vec{r}_2)}{(E - \omega) - E_n(1 - i\eta)} \tag{3.107}$$

können wir den von D_{00} hervorgerufenen Teilbeitrag zur Selbstenergie wie folgt hinschreiben:

$$E_{L;00} = ie^2 \int \frac{d^3k}{(2\pi)^3} \int_{C_L} \frac{d\omega}{2\pi} \frac{1}{\vec{k}^2} \langle \psi | \frac{|\psi_n\rangle\langle\psi_n|}{(E - \omega) - E_n(1 - i\eta)} | \psi \rangle:$$

Da aufgrund der speziellen Wahl des C_L-Integrationsweges nur diejenigen Pole des Dirac-Coulomb-Propagators mit $E_n < 0$ entscheidend sind (der Pol mit $E_n = E > 0$ trägt somit nicht bei), ist der Integrand innerhalb des C_L-Weges analytisch. Damit ergeben sich aber bei der ω-Integration auf C_L (mit $\omega < \infty$) keine Residuen, die zur Lamb-Shift beitragen könnten. Geht man mit $\eta \to 0$, so verschwindet der von der von $E_{L;00}$ erzeugte Beitrag.

Wir schreiben daher E_L folgendermaßen unter Vernachlässigung von D_{00} auf:

$$E_L = ie^2 \int \frac{d^3k}{(2\pi)^3} \int_{C_L} \frac{d\omega}{2\pi} \frac{1}{\omega^2 - \vec{k}^2}\,{}^{T}_{ij}\,\tilde{P}^{ij}(\omega):$$

Dabei ergibt sich $\tilde{P}^{ij}(\omega)$ unter Ausnutzung von 3.105 wie folgt:

$$\tilde{P}^{ij}(\omega) = \langle \psi | \gamma^i e^{i\vec{k}\vec{r}} \frac{1}{H_D - (E - \omega)} \gamma^j e^{-i\vec{k}\vec{r}} | \psi \rangle: \tag{3.108}$$

$\tilde{P}^{ij}(\omega)$ stellt eine Funktion dar, die innerhalb der C_L-Kontour analytisch ist. Der $E - \omega$-Ausdruck im Nenner des Elektronpropagators steuert kein Residuum bei, da $\omega < \infty$ nach oben beschränkt ist (mit $\omega \to m - E$). Daher können wir die ω-Integration mit dem Residuensatz ausführen. Es ist

$$\frac{1}{\omega^2 - \vec{k}^2 + i\eta} = \frac{1}{(\omega - |\vec{k}| + i\eta)(\omega + |\vec{k}| - i\eta)}:$$

Der Pol bei $\omega = |\vec{k}| - i\eta$ trägt zum Integral bei, das Residuum ist

$$E_L = ie^2 \int_{|\vec{k}|<\infty} \frac{d^3k}{(2\pi)^3} \frac{1}{2} (-2\pi i) \frac{1}{2|\vec{k}|}\,{}^{T}_{ij}\,\tilde{P}^{ij}(|\vec{k}|) \tag{3.109}$$

$$= e^2 \int_{|\vec{k}|<\infty} \frac{d^3k}{(2\pi)^3} \frac{1}{2|\vec{k}|}\,{}^{T}_{ij}\,\tilde{P}^{ij}(|\vec{k}|)$$

$$= e^2 \int_{|\vec{k}|<\infty} \frac{d^3k}{(2\pi)^3 2|\vec{k}|}\,{}^{T}_{ij} \langle \psi^+ | \gamma^i e^{i\vec{k}\vec{r}} \frac{1}{H_D - (E - \omega)} \gamma^j e^{-i\vec{k}\vec{r}} | \psi \rangle$$

mit

$$! \quad \tilde{p}\tilde{j}: \tag{3.110}$$

Fur den Niedrigenergie-Anteil wird daher ! mit $\tilde{p}\tilde{j}$ identi ziert.

Jetzt wird im relevanten Matrixelement $\tilde{P}^{ij}$ eine unitare Foldy-Wouthuysen-Transformation (eigentlich zwei hintereinandergeschaltete unitare Transformationen U und U^0, siehe Abschnitt 3.4) eingefugt. Die Produkt-Transformation $U_{FW} = U U^0$ wird hier der Einfachheit halber wieder mit U bezeichnet. Es gilt

$$\begin{aligned}
\tilde{P}^{ij} &= h^+ j\, {}^i e^{i\tilde{K}}\, \frac{1}{H_D \quad (E \quad !)}\, {}^j e^{\,i\tilde{K}}\, j\, i \qquad (3.111)\\
&= h^+ j U^+ U\ {}^i e^{i\tilde{K}}\, U^+ U \frac{1}{H_D \quad (E \quad !)} U^+ U\ {}^j e^{\,i\tilde{K}}\, U^+ U j\, i\\
&= hU^+ j\, U\ {}^i e^{i\tilde{K}}\, U^+ \frac{1}{U\,(H_D \quad (E \quad !))U^+}\, U\ {}^j e^{\,i\tilde{K}}\, U^+ \quad jU\ i\\
&= h\tilde{} j\, U\ {}^i e^{i\tilde{K}}\, U^+ \frac{1}{U\,(H_D \quad (E \quad !))U^+})\ U\ {}^j e^{\,i\tilde{K}}\, U^+ \quad j\tilde{} i;
\end{aligned}$$

mit $j\tilde{} i = U j\, i$ (bei dieser Rechnung wurde wieder 3.104 benutzt).

Die Foldy-Wouthuysen-Transformation U hat zum Ziel, die ungeraden Anteile des Hamiltonians bis zur Ordnung ^{4}, d.h. bis zur ersten relativistischen Korrektur zum Schrodinger-Hamiltonian, zum Verschwinden zu bringen. Wir wollen noch einmal das Ergebnis der FW -Transformation aus dem Abschnitt 3.4 (Gl. 3.46) in Erinnerung rufen:

$$H_{FW} = U H_D U^+ = U (\tilde{} \quad p + \quad m + V) U^1 = m + H_S + \quad H \tag{3.112}$$

H_{FW} soll den Foldy-Wouthuysen-(FW)-Hamiltonian bezeichnen. Hierbei ist:

$$H_S = \frac{p^2}{2m} + V$$

und

$$H = \quad \frac{(p^2)^2}{8m^3} + \frac{}{2m^2}\ (r) + \frac{}{4m^2 r^3} \tilde{} \quad L:$$

Der Nenner in $\tilde{P}^{ij}$ kann folgendermaßen umgeformt werden (E_S = Schrodinger-Energie, $E = {}^4$-Korrektur zur Schrodinger-Energie):

$$\begin{aligned}
U\,(H_D \quad (E \quad !))U^+ &= H_{FW} \quad (E \quad !) = \qquad (3.113)\\
&= (m + H_S + \quad H) \quad (m + E_S + \quad E \quad !)\\
&= (H_S \quad (E_S \quad !)) + \quad H \quad E:
\end{aligned}$$

Weil

$$\frac{1}{H_S \quad (E_S \quad !)} = G_{nr}(E_S \quad !) \tag{3.114}$$

gerade dem nichtrelativistischen Propagator G_{nr} entspricht, sind wir in der Lage, mit dem (viel einfacheren) nichtrelativistischen Propagator zu rechnen und alle relativistischen Korrekturen dazu storungstheoretisch zu behandeln.

Dazu ist es notig, auch die erste relativistische Korrektur zur Schrodinger-Eigenfunktion mitzunehmen. Selbstverstandlich ist die ursprungliche Eigenfunktion j i des Schrodinger-Hamiltonians nicht mehr Eigenfunktion des FW -Hamiltonians. Mit der ersten relativistischen Korrektur ergibt sich aus Gl. 3.54

$$j\tilde{} i = j\, i + j\ \ i = j\, i + \frac{1}{(E_S \quad H_S)^0}\ H j\, i: \tag{3.115}$$

Das Ergebnis der FW-Transformation der Ausdrucke $y^j = {}^j \exp(i\tilde{k}\ \tilde{r})$ ist (siehe GB.72):

$$y^j_{FW} = \frac{p^j}{m}\ 1 + i\ \tilde{k}\ \tilde{r}\ \frac{1}{2}\ \tilde{k}\ \tilde{r}^2$$

$$\frac{1}{2m^3} p^j p^2\ \frac{1}{2m^2}\ \frac{}{r^3}\ (\tilde{r}\ \sim)^j$$

$$+ \frac{1}{2m}\ \tilde{k}\ \tilde{r}\ \tilde{k}\ \sim^j\ \frac{i}{2m}\ \tilde{k}\ \sim^j :$$

Wir konnen daher

$$U\ {}^j e^{i\tilde{k}\ \tilde{r}} U^+ = \frac{p^j}{m} + y^j \tag{3.116}$$

schreiben mit $p^j = m$ als Hauptbeitrag und y^j als den relativistischen Korrekturen dazu. Der Ausdruck $\tilde{P}^{ij}$ setzt sich somit unter Vernachlassigung hoherer Ordnungen folgendermaen zusammen,

$$\tilde{P}^{ij} = h\tilde{}^+ j\ U\ {}^i e^{i\tilde{k}\ \tilde{r}} U^+ {}^i\ \frac{1}{U\ (H_D\ (E\ !))U^+}\ U\ {}^j e^{i\tilde{k}\ \tilde{r}} U^+ {}^i\ j\tilde{}i \tag{3.117}$$

$$= h + j\frac{p^i}{m} + y^i\ \frac{1}{(H_S\ (E_S\ !)) + H\ E}\ \frac{p^j}{m} + y^j\ j + i$$

$$= h\ j\frac{p^i}{m}\ \frac{1}{H_S\ (E_S\ !)}\ \frac{p^j}{m}\ j\ i$$

$$+ 2\ h\ j\ y^i\ \frac{1}{H_S\ (E_S\ !)}\ \frac{p^j}{m}\ j\ i$$

$$+ h\ j\frac{p^i}{m}\ \frac{1}{H_S\ (E_S\ !)}\ E\ \frac{1}{H_S\ (E_S\ !)}\ \frac{p^j}{m}\ j\ i$$

$$h\ j\frac{p^i}{m}\ \frac{1}{H_S\ (E_S\ !)}\ H\ \frac{1}{H_S\ (E_S\ !)}\ \frac{p^j}{m}\ j\ i$$

$$+ 2\ h\ j\frac{p^i}{m}\ \frac{1}{H_S\ (E_S\ !)}\ \frac{p^j}{m}\ j\ i + O(\ ^4)$$

Fur die praktische Auswertung des Niedrigenergieanteils ist die Einfuhrung einer dimensionslosen Groe P zweckmaig, die sich aus $\tilde{P}$ gemaa

$$P = \frac{m}{2}\ {}^{T;ij}\tilde{P}^{ij} \tag{3.118}$$

ergibt. $\tilde{P}^{ij}$ hat aufgrund des Propagators die Dimension $_e$, m dagegen die Dimension $_e{}^1$ (in naturlichen Einheiten). Es ergeben sich somit bis zur Ordnung ^{2} folgende Beitrage zu $\tilde{P}^{ij}$. Zunachst lautet der Hauptbeitrag

$$P_{nd} = \frac{m}{2}\ {}^{T;ij} h\ j\frac{p^i}{m}\ \frac{1}{H_S\ (E_S\ !)}\ \frac{p^j}{m}\ j\ i \tag{3.119}$$

$$= \frac{1}{3m} h\ j p^i\ \frac{1}{H_S\ (E_S\ !)}\ p^i j\ i :$$

Die Indizes nd stehen hierbei fur den \nichtrelativistischen Dipol". P_{nd} ist der einzige Beitrag zu P in der Ordnung $^0 = 1$ und damit der einzige Beitrag zum Niedrigenergieanteil der Selbstenergie in der Ordnung $(Z\ )^4$. Alle anderen Beitrage tragen in der Ordnung ^{2} zu P und damit in der Ordnung $(Z\ )^6$ zur Lamb-Shift bei.

Diese weiteren Beitrage wollen wir jetzt der Reihe nach au isten. Zuerst wird der Beitrag P_y, der durch die FW-Transformation der ^{i}-Matrizen zustande kommt, aufgefuhrt,

$$P_y = 2\ \frac{m}{2}\ {}^{T;ij} h\ j\ y^i\ \frac{1}{H_S\ (E_S\ !)}\ \frac{p^j}{m}\ j\ i : \tag{3.120}$$

Weitere Beitrage ergeben sich aufgrund der relativistischen Korrektur zum Energieeigenwert,

$$P_E = \frac{m}{2}\,{}^{T;ij}h\,\frac{p^i}{m}\,\frac{1}{H_S - (E_S - \omega)}\,E\,\frac{1}{H_S - (E_S - \omega)}\,\frac{p^j}{m}\,i \tag{3.121}$$

$$= \frac{1}{3m}h\,p^i\,\frac{1}{H_S - (E_S - \omega)}\,E\,\frac{1}{H_S - (E_S - \omega)}\,p^i\,i;$$

aufgrund der relativistischen Korrekturen zum Schrodinger-Hamiltonian,

$$P_H = \frac{m}{2}\,{}^{T;ij}h\,\frac{p^i}{m}\,\frac{1}{H_S - (E_S - \omega)}\,H\,\frac{1}{H_S - (E_S - \omega)}\,\frac{p^j}{m}\,i \tag{3.122}$$

$$= \frac{1}{3m}h\,p^i\,\frac{1}{H_S - (E_S - \omega)}\,H\,\frac{1}{H_S - (E_S - \omega)}\,p^i\,i;$$

und aufgrund der relativistischen Korrektur zur Energie-Eigenfunktion,

$$P = 2\,\frac{m}{2}\,{}^{T;ij}h\,\frac{p^i}{m}\,\frac{1}{H_S - (E_S - \omega)}\,\frac{p^j}{m}\,j\,i \tag{3.123}$$

$$= \frac{2}{3m}h\,p^i\,\frac{1}{H_S - (E_S - \omega)}\,p^i\,j\,i:$$

Den letzten Punkt bei der Behandlung des Niedrigenergieanteils bildet die d^3k-Integration. Fur den Niedrigenergie-Anteil ist $|\vec{k}| < \omega$, daher gilt

$$E_L = e^2 \int_{|\vec{k}|<\omega} \frac{d^3k}{(2\pi)^3}\,\frac{1}{2|\vec{k}|}\,{}^{T;ij}\tilde{P}^{ij}(|\vec{k}|) \tag{3.124}$$

$$= e^2 \int_{|\vec{k}|<\omega} \frac{d^3k}{(2\pi)^3}\,\frac{1}{m\,|\vec{k}|}\,P(|\vec{k}|)$$

$$= (4\pi) \int_{|\vec{k}|<\omega} \frac{dk\,k^2\,4\pi}{(2\pi)^3}\,\frac{1}{m\,|\vec{k}|}\,P(|\vec{k}|)$$

$$= \frac{2}{m\pi} \int_0^{\omega} d\omega'\,\omega'\,P(\omega'): \tag{3.125}$$

Wir fuhren nun eine Variablentransformation gema

$$t \quad \sqrt{2m\,(E - \omega)} = \sqrt{2m\,(E - \omega')} \tag{3.126}$$

zur dimensionslosen Groe t durch. Wir verwenden die Abkurzung

$$= \frac{m}{2}: \tag{3.127}$$

Damit folgt

$$\int_0^{\omega} d\omega'\,\omega'\,P(t(\omega')) = \frac{4}{2m^2} \int_t^1 dt\,\frac{1 - t^2}{t^5}\,P(t) \tag{3.128}$$

mit

$$t = \sqrt{\omega'^2 + 2m} = \sqrt{\omega'^2 + 8\alpha m}: \tag{3.129}$$

F ergibt sich dann zu

$$F = \frac{1}{2} \int_t^1 dt\,\frac{1 - t^2}{t^5}\,P(t): \tag{3.130}$$

Wie wir in Abschnitt 4.2 sehen werden, ist der Ubergang zur dimensionslosen Variablen t auch dadurch gut motiviert, da die Propagatoren in der gebrauchlichen Darstellung die Energie gerade mit einer zu t direkt proportionalen Variablen parametrisieren. t ist also in gewissem Sinne eine \naturliche" Parametrisierung von E.

Kapitel 4

Die Selbstenergie des 2P-Zustands (j= 1/2) zur sechsten Ordnung in Z_alpha

4.1 Der Hochenergie-Anteil

4.1.1 Allgemeines zur Rechenmethode

Bereits im Abschnitt 3.7 war gezeigt worden, da man den Hochenergie-Anteil in Potenzen des bindenden Coulomb-Potentials aufspalten kann. Bis zur Ordnung ^{6} tragen zum Matrix-Element

$$\tilde{P} = \langle j \left| \frac{1}{\not{p} - \not{k} - m} \, {}^0V \right| j \rangle$$

gerade der 0-,1-,2- und 3-Vertex-Anteil bei. Wir wollen uns noch einmal die Form der Matrix-Elemente am Beispiel des 2-Vertex-Anteils in Erinnerung rufen.

$$\tilde{P}_2 = \langle j \left| {}^0 \frac{1}{D} \, {}^0V \frac{1}{D} \, {}^0V \frac{1}{D} \right| j \rangle \tag{4.1}$$

$$= \langle j | M_2 | j \rangle$$

mit der Matrix

$$M_2 = {}^0 \frac{1}{D} \, {}^0V \frac{1}{D} \, {}^0V \frac{1}{D} \; : \tag{4.2}$$

Hier soll auf die rechentechnischen Details der in Kapitel 3.7 beschriebenen Methode zur Auswertung eines Vertex-Anteils naher eingegangen werden.

1. Entwicklung der M_i-Matrizen in die 16 -Matrizen gem a der Gl. 3.24:

$$M_i = \sum \; a \; : \tag{4.3}$$

   Welche Matrizen hier beitragen, hangt vom Matrix-Element ab. Fur den 3-Vertex-Anteil bekommen wir Beitrage nur von der Id-Matrix und von der ^{0}-Matrix, fur den 2-Vertex tragen die Id-Matrix, die ^{0}-Matrix, die ^{i}-Matrizen und auch die -Matrizen bei.

2. Entwicklung der a -Koe zienten in Potenzen der Feinstrukturkonstanten . Diese Entwicklung beruht im wesentlichen auf folgender Beobachtung: Die Matrizen sind aus freien Feynman-Propagatoren

$$S_F = \frac{1}{\not{p} - \not{k} - m}$$

mit dazwischen liegenden Potentialtermen aufgebaut. Den freien Feynman-Propagator kann man auch schreiben als

$$S_F = \frac{(\not{p} - \not{k} + m)}{(p - k)^2 - m^2}.$$

Mit der Bindungsenergie E_b des Elektrons

$$E_b = E_S + \Delta E + \ldots$$

(E_S = Schrodinger-Energie und ΔE = erste relativistische Korrektur) hat sich der Nenner umformen zu

$$\begin{aligned}(p - k)^2 - m^2 &= (m + E_b - \omega)^2 - (p - \tilde{k})^2 - m^2 \\ &= m^2 + 2mE_b + E_b^2 + 2m\omega + 2E_b\omega + \omega^2 \\ &\quad - \not{p}^2 + 2\tilde{k}\cdot p - \tilde{k}^2 - m^2 \\ &= (\omega^2 - \tilde{k}^2 - 2m\omega) + (2mE_b + E_b^2 + 2E_b\omega - p^2 + 2\tilde{k}\cdot p).\end{aligned}$$

Wir erkennen an diesem Ausdruck den ^{0}-Hauptteil

$$\omega^2 - \tilde{k}^2 - 2m\omega$$

sowie hohere Terme

$$2mE_b + E_b^2 + 2E_b\omega - p^2 + 2\tilde{k}\cdot p.$$

In diesen hoheren Termen wird nun bis zur notwendigen Potenz in ω entwickelt. Dadurch "rutschen" die Impulsoperatoren des Elektrons p und Ausdrucke mit den Photonen-Impulsen $\tilde{k}\cdot p$ in den Zahler, und es entstehen neue Matrix-Elemente, die auszuwerten sind. Bei der Entwicklung mu man etwas Vorsicht walten lassen, denn die verschiedenen Impuls-Operatoren, die von den einzelnen Feynman-Propagatoren kommen, sind zu unterscheiden, da die von ihnen erzeugten Matrix-Elemente unterschiedliche Werte haben.

3. Mittelung uber die raumlichen Anteile des Photonenimpulses.

Wie wir im vorigen Abschnitt gesehen haben, kommen bei der Entwicklung des Nenners des Elektronenpropagators Terme der Gestalt $\tilde{k}\cdot p$ vor. Da wir jedoch spater uber den gesamten R^3 integrieren wollen, konnen wir an dieser Stelle bereits die Mittelung uber die raumlichen Winkel vornehmen und dadurch die Ausdrucke stark vereinfachen.

Die Mittelung uber die Winkel erfolgt durch die Ersetzungs-Vorschrift:

$$f(\tilde{k}) \to \frac{1}{4}\int d\Omega\, f(\tilde{k}). \tag{4.4}$$

Fur diese Mittelung werden unter anderem die folgenden Formeln benotigt:

$$\frac{1}{4}\int d\Omega\, (\tilde{k}\cdot p)(\tilde{k}\cdot q) = 1/3\,\tilde{k}^2\,(p\cdot q) \tag{4.5}$$

$$\frac{1}{4}\int d\Omega\, (\tilde{k}\cdot p)^3(\tilde{k}\cdot q) = 1/5\,(\tilde{k}^2)^2 p^2\,(p\cdot q) \tag{4.6}$$

$$\frac{1}{4}\int d\Omega\, (\tilde{k}\cdot p)^2(\tilde{k}\cdot q)^2 = 1/15\,(\tilde{k}^2)^2\,\{2(p\cdot q)^2 + p^2 q^2\} \tag{4.7}$$

$$\frac{1}{4}\int d\Omega\, (\tilde{k}\cdot p)^5(\tilde{k}\cdot q) = 1/7(\tilde{k}^2)^3\,(p\cdot p)(p\cdot q) \tag{4.8}$$

$$\frac{1}{4}\int d\Omega\, (\tilde{k}\cdot p)^4(\tilde{k}\cdot q)^2 = 1/35\,\tilde{k}^2{}^3\,(p\cdot p)\{4(p\cdot q)^2 + p^2 q^2\} \tag{4.9}$$

$$\frac{1}{4}\int d\Omega\, (\tilde{k}\cdot p)^3(\tilde{k}\cdot q)^3 = 1/35\,(\tilde{k}^2)^3\,\{2(p\cdot q)^2 + 3p^2 q^2\}\,. \tag{4.10}$$

Diese Formeln gelten für zwei beliebige Vektoren $\vec{p}$ und $\vec{q}$.

4. Ersetzung der Matrixelemente. In Abschnitt 3.7 war die Ersetzung der Matrix-Elemente am Beispiel

$$(\vec{p}V\vec{p})\, f(\omega;|\vec{k}|) \to \langle\psi|(\vec{p}V\vec{p})|\psi\rangle f(\omega;|\vec{k}|):$$

erläutert worden. Bis zur Ordnung α^6 ist das gesuchte Matrix-Element gegeben durch

$$\langle\psi|(\vec{p}V\vec{p})|\psi\rangle = -\frac{5}{48}\alpha^4 m^3 - \frac{283}{1152}\alpha^6 m^3:$$

Zur computergestützten Berechnung dieses Matrix-Elements wird die Wellenfunktion des $2P_{1/2}$-Zustandes explizit eingegeben und bis zur Ordnung α^6 entwickelt. Die Impuls- und andere Operatoren werden im Ortsraum explizit auf die Wellenfunktionen angewandt. Das Resultat wird in Potenzen von α geordnet. Dabei entstehen Ausdrücke mit mehreren tausend Termen. Alle diese Terme haben allerdings eine Standard-Struktur, so daß die Integration (bis auf einige Ausnahmen) mit wenigen Integrationsregeln durchgeführt werden kann. Dadurch wird die Rechnung um Größenordnungen beschleunigt. Würde man die in Mathematica eingebauten Integrations-Routinen benutzen, so würden die Rechnungen auch auf den schnellsten Maschinen bei weitem zu lange dauern.

Die Auswertung der Matrixelemente ist auch von Hand mit Hilfe von Kommutatorbeziehungen unter intensiver Ausnutzung der Algebra der Dirac-Gleichung mit Coulombfeld möglich. Bei Matrix-Elementen, die nur in der α^6-Potenz beitragen, ist übrigens die Verwendung der nichtrelativistischen Approximation an die Dirac-Wellenfunktion $|\psi\rangle$, das heißt der Schrödinger-Wellenfunktion $|\phi\rangle$, möglich. Hier wollen wir nur einige sehr häufig verwendete Beziehungen unter den Operatoren vorstellen, die zur Auswertung der Matrix-Elemente von Hand nützlich sind. Es sind dies die für $|\psi\rangle$ geltende Dirac-Gleichung

$$\vec{\gamma}\cdot\vec{p} = E\gamma^0 - m - \gamma^0 V;$$

die für $|\phi\rangle$ geltende Schrödinger-Gleichung

$$\vec{p}^{\,2} = 2m(E - V)$$

sowie die Kommutatorbeziehung

$$ABA = 1/2([A;[B;A]] + A^2B + BA^2):$$

Diese Kommutatorbeziehung kann man zum Beispiel anwenden, um das Matrix-Element $\langle\phi|(\vec{p}V\vec{p})|\phi\rangle$ folgendermaßen umzuformen:

$$\langle\phi|(\vec{p}V\vec{p})|\phi\rangle = \langle\phi|\,\Delta(V) + 2\vec{p}^{\,2}V\,|\phi\rangle:$$

Dabei ergibt $\Delta(V)$ einen der δ-Funktion proportionalen Term. In erster Ordnung trägt dieser Term nicht bei, da die P-Wellenfunktion am Ursprung verschwindet. Die erste relativistische Korrektur indes verschwindet nicht, so daß sich in Ordnung α^6 ein weiterer Beitrag ergibt.

5. Zusammenfassung des Ergebnisses: Nach der Ersetzung aller Matrix-Elemente wird das Ergebnis in Potenzen von α zusammengefaßt und geordnet. Alle Vertex-Anteile tragen zur Ordnung α^6 bei, da wir einen gebundenen Zustand behandeln.

Zuletzt eine Bemerkung zu den angegebenen Teilergebnissen: In allen Zwischenergebnissen für die Matrix-Elemente und auch für die Resultate zu den einzelnen Vertex-Termen ersetzen wir der Einfachheit halber den Faktor $Z\alpha$ durch α, um ihn dann im Endergebnis voll auszuschreiben.

4.1.2 Der 3-Vertex Anteil

Der 3-Vertex-Anteil (3 Vertizes des Coulomb-Feldes zwischen den Photonen-Vertizes) wird durch das Feynman-Diagramm 4.1 wiedergegeben. Da dieser Beitrag am einfachsten auszuwerten ist, wollen wir uns ihm zuerst zuwenden. Es ist für den 3-Vertex-Anteil das Matrixelement

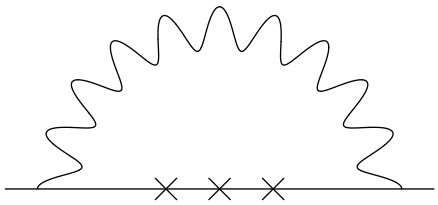

Abbildung 4.1: 3-Vertex-Anteil

$$\tilde{P}_3 = \langle j^0 \frac{1}{D} {}^0V \frac{1}{D} {}^0V \frac{1}{D} {}^0V \frac{1}{D} j \rangle \tag{4.11}$$

$$= \langle \tilde{j} M_3 j \rangle$$

mit der Matrix

$$M_3 = {}^0 \frac{1}{D} {}^0V \frac{1}{D} {}^0V \frac{1}{D} {}^0V \frac{1}{D} \tag{4.12}$$

auszuwerten. Zunachst zur Entwicklung von M_3 in die 16 -Matrizen. Bis zur Ordnung ^{6} sind nur die Entwicklungs-Koe zienten von Id und ^{0} von Null verschieden. Der Entwicklungskoe zient von Id lautet

$$a_{Id} = V^3 \; 2 \quad \tilde{k}^2)^2 \quad 8\tilde{k}^2 m^2 \quad 8m^4 + 12\tilde{k}^2 m \; ! + 16m^3 \; ! \tag{4.13}$$

$$6\tilde{k}^2 \; !^2 \quad 12m^2 \; !^2 + 4m \; !^3 \quad !^4 \quad \tilde{k}^2 + 2m \; ! \quad !^2 \; ^4 :$$

Fur den Entwicklungskoe zienten von ^{0} ergibt sich:

$$a_{\;0} = V^3 \frac{16 \;\; \tilde{k}^2 m^2 + 2m^4 \quad \tilde{k}^2 m \; ! \quad 4m^3 \; ! + 3m^2 \; !^2 \quad m \; !^3}{\tilde{k}^2 + 2m \; ! \quad !^2 \; ^4} :$$

Sowohl a_{Id} wie auch $a_{\;0}$ enthalten aufgrund des V^3-Terms ausschlie lich Anteile in ^{6}. Da keine Entwicklung des Nenners des Elektronenpropagators in den Koe zienten notig ist, enthalten die Koe zienten keine Skalarprodukte von $\tilde{k}$ mit anderen Vektoren, und wir brauchen keine Mittelung uber die Winkel vorzunehmen. Die Koe zienten liegen bereits in der Form

$$V^3 f(!; j\tilde{k}j)$$

vor. Wir konnen also die Ersetzung bezuglich der Matrixelemente gema

$$a_{Id} = V^3 f(!; j\tilde{k}j) \; ! \; \langle \tilde{j} V^3 j \rangle \, if(!; j\tilde{k}j)$$

und

$$a_{\;0} = V^3 f(!; j\tilde{k}j) \; ! \; \langle j \, {}^0V^3 j \rangle \, if(!; j\tilde{k}j)$$

vornehmen. Die Matrixelemente lauten explizit (bis zur Ordnung ^{6}):

$$\langle \tilde{j} V^3 j \rangle = \langle j \, {}^0V^3 j \rangle = \frac{1}{24} \; {}^6 m^3 :$$

Die besondere Form der P-Zustand-Wellenfunktion bedingt, da die obigen Matrixelemente in ^{6} konvergieren und somit die Auswertung durch eine Entwicklung des Ausdrucks 3.88 in Potenzen des Coulomb-Feldes moglich ist. Damit ist das Endergebnis fur den 3-Vertex-Anteil

$$\tilde{P}_3 = {}^6 \quad \tilde{k}^2)^2 m^3 \quad 8m^7 \quad 4\tilde{k}^2 m^4 \; ! + 16m^6 \; ! + 6\tilde{k}^2 m^3 \; !^2 \tag{4.14}$$

$$12m^5 \; !^2 + 4m^4 \; !^3 + m^3 \; !^4 \quad 12 \;\; \tilde{k}^2 + 2m \; ! \quad !^2 \; ^4 :$$

Somit ist der einfachste der Vertex-Anteile berechnet. Es gibt fur den 3-Vertex-Anteil nur einen ^{6}-Koe zienten, da hier bereits 3 Coulomb-Vertizes enthalten sind, die einen Faktor $(Z \;\;)^6$ beitragen.

4.1.3 Der 2-Vertex Anteil

Der 2-Vertex-Anteil ist durch das Feynman-Diagramm 4.2 gegeben. Zwischen den Vertizes der virtuellen

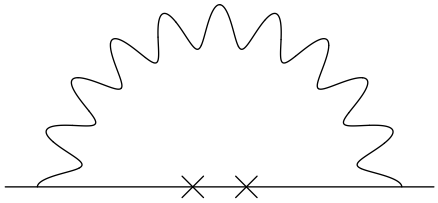

Abbildung 4.2: 2-Vertex-Anteil

Photonen wirkt das Coulomb-Feld zweimal auf das Elektron. Es ist somit das Matrixelement

$$\tilde{F}_2 = \langle j^0 \frac{1}{D} {}^0V \frac{1}{D} {}^0V \frac{1}{D} j \rangle \tag{4.15}$$

$$= \langle j M_2 j \rangle$$

mit der Matrix

$$M_2 = {}^0 \frac{1}{D} {}^0V \frac{1}{D} {}^0V \frac{1}{D} \tag{4.16}$$

auszuwerten. Bei der Entwicklung von M_2 in die -Matrizen erhalten wir weit gro ere Terme als beim 3-Vertex-Anteil. Dafur sind zwei Grunde verantwortlich. Zum einen erhalten wir nichtverschwindende Koe zienten sowohl fur die Id-Matrix, die ^{0}-Matrix, die ^{i}-Matrizen wie auch fur die -Matrizen (alle anderen Projektionen verschwinden in der Ordnung $(Z)^6$). Zum anderen mu der Nenner im Elektronenpropagator in entwickelt werden, was zu gro eren Termen fuhrt.

Aufgrund der Lange der auftretenden Terme verzichten wir auf eine Darstellung der Rechnung und gehen gleich zu den Matrix-Elementen uber. Fur die Ersetzung durch Matrix-Elemente in den Koe zienten werden folgende Ausdrucke benotigt:

$$\langle j V^2 j \rangle = \frac{{}^4m^2}{12} + \frac{47 \ {}^6m^2}{288}; \tag{4.17}$$

$$\langle j V^2 p^2 j \rangle = \frac{{}^6m^4}{16}; \tag{4.18}$$

$$\langle j V p V p j \rangle = \frac{{}^6m^4}{12}; \tag{4.19}$$

$$\langle j V p^2 V j \rangle = \frac{5 \ {}^6m^4}{48}; \tag{4.20}$$

$$\langle j p V^2 p j \rangle = \frac{5 \ {}^6m^4}{48}: \tag{4.21}$$

Zur Auswertung der Matrix-Elemente werden im Abschnitt 4.1.1 einige Erklarungen gegeben. Fur den ^{0}-Beitrag benotigen wir das folgende Matrix-Element

$$\langle j {}^0V^2 j \rangle = \frac{{}^4m^2}{12} + \frac{{}^6m^2}{36}: \tag{4.22}$$

Alle anderen Matrix-Elemente fur den ^{0}-Koe zienten stimmen bis zur Ordnung ^{6} mit den entsprechenden Matrix-Elementen fur den Koe zienten von Id uberein. Fur den Koe zienten der -Matrizen benotigen wir folgende Matrixelemente,

$$\langle j V^2 (\tilde{} \ p) j \rangle = \frac{{}^6m^3}{6}; \tag{4.23}$$

$$\langle j V (\tilde{} \ p) V j \rangle = \frac{{}^6m^3}{6}: \tag{4.24}$$

Schließlich benötigen wir für den Koeffizienten der γ-Matrizen noch folgende Matrix-Elemente:

$$\langle\phi|\vec{\gamma}\cdot\vec{V}\,(\vec{p}V)\,\vec{\gamma}\cdot\vec{p}|\phi\rangle = \frac{i}{12}\alpha^6 m^4; \tag{4.25}$$

$$\langle\phi|\vec{\gamma}\cdot\vec{p}V^2\,\vec{\gamma}\cdot\vec{p}|\phi\rangle = -\frac{i}{6}\alpha^6 m^4: \tag{4.26}$$

Das Endresultat für den 2-Vertex-Anteil lautet:

$$\begin{aligned}\tilde{P}_2 = {} & \alpha^4\Big(\tilde{k}^2 m^3 - 4m^5 - 3\tilde{k}^2 m^2\omega + 6m^4\omega \\ & - 3m^3\omega^2 - m^2\omega^3\Big)\Big/\Big(6\left(\tilde{k}^2 + 2m\omega - \omega^2\right)^3\Big) + \\ & \alpha^6\Big(132(\tilde{k}^2)^3 m^3 + 492(\tilde{k}^2)^2 m^5 - 432\tilde{k}^2 m^7 - 141(\tilde{k}^2)^3 m^2\omega \\ & - 340(\tilde{k}^2)^2 m^4\omega + 968\tilde{k}^2 m^6\omega + 672 m^8\omega - 558(\tilde{k}^2)^2 m^3\omega^2 \\ & - 264\tilde{k}^2 m^5\omega^2 - 1904 m^7\omega^2 + 235(\tilde{k}^2)^2 m^2\omega^3 \\ & - 644\tilde{k}^2 m^4\omega^3 + 2120 m^6\omega^3 + 280\tilde{k}^2 m^3\omega^4 - 1052 m^5\omega^4 \\ & - 47\tilde{k}^2 m^2\omega^5 + 88 m^4\omega^5 + 146 m^3\omega^6 - 47 m^2\omega^7\Big) \\ & \Big/\Big(144\left(\tilde{k}^2 + 2m\omega - \omega^2\right)^5\Big):\end{aligned} \tag{4.27}$$

4.1.4 Der 1-Vertex Anteil

Dem 1-Vertex-Anteil (1 Vertex des Coulomb-Feldes zwischen den Photonen-Vertizes) entspricht dem Feynman-Diagramm 4.3. Zwischen den Photonen-Vertizes wirkt das bindende Coulomb-Feld einmal auf

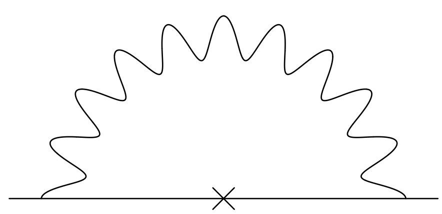

Abbildung 4.3: 1-Vertex-Anteil

das Elektron. Es ist somit das Matrixelement

$$\begin{aligned}\tilde{P}_1 &= \langle\phi|\gamma^0\frac{1}{D}\gamma^0 V\frac{1}{D}\ldots|\phi\rangle \\ &= \langle\phi|M_1|\phi\rangle\end{aligned} \tag{4.28}$$

auszuwerten, wobei für die Matrix M_1 gilt:

$$M_1 = \gamma^0\frac{1}{D}\gamma^0 V\frac{1}{D}\ldots: \tag{4.29}$$

Wie beim 2-Vertex-Anteil verzichten wir wegen der Lange der Terme auf eine Auuhrung der Entwicklungskoe zienten. In der Ordnung ^{6} erhalten wir Beitrage fur die Id-Matrix, die ^{0}-Matrix, die ^{i}-Matrizen wie auch fur die -Matrizen (alle anderen Projektionen verschwinden in der Ordnung ^{6}). Anbei eine Liste der fur diesen 1-Vertex Anteil berechneten Matrixelemente:

$$h\,jVj\,i = \frac{^2m}{4} \quad \frac{5\ ^4m}{32} \quad \frac{63\ ^6m}{512}; \tag{4.30}$$

$$h\,jVp^2j\,i = \frac{5\ ^4m^3}{48} \quad \frac{337\ ^6m^3}{1152}; \tag{4.31}$$

$$h\,jpVpj\,i = \frac{5\ ^4m^3}{48} \quad \frac{283\ ^6m^3}{1152}; \tag{4.32}$$

$$h\,jV\ \ p^2\ \ ^2j\,i = \frac{35\ ^6m^5}{192}; \tag{4.33}$$

$$h\,jp^2Vp^2j\,i = \frac{19\ ^6m^5}{192}; \tag{4.34}$$

$$h\,j(pVp)p^2j\,i = \frac{9\ ^6m^5}{64}; \tag{4.35}$$

$$h\,j(p(pVp)p)j\,i = \frac{5\ ^6m^5}{64:} \tag{4.36}$$

Fur den ^{0}-Koe zienten ben otigen wir zusatzlich weitere Matrix-Elemente,

$$h\,j^0Vj\,i = \frac{^2m}{4} \quad \frac{^4m}{16} \quad \frac{^6m}{32}; \tag{4.37}$$

$$h\,j^0Vp^2j\,i = \frac{5\ ^4m^3}{48} \quad \frac{43\ ^6m^3}{288}; \tag{4.38}$$

$$h\,j^0(pVp)j\,i = \frac{5\ ^4m^3}{48} \quad \frac{113\ ^6m^3}{576}; \tag{4.39}$$

$$h\,j^0V\ \ p^2\ \ ^2j\,i = \frac{35\ ^6m^5}{192}; \tag{4.40}$$

$$h\,j^0p^2Vp^2j\,i = \frac{19\ ^6m^5}{192}; \tag{4.41}$$

$$h\,j^0(pVp)p^2j\,i = \frac{9\ ^6m^5}{64}; \tag{4.42}$$

$$h\,j^0(p\ (pVp)p)j\,i = \frac{5\ ^6m^5}{64}; \tag{4.43}$$

Fur den Koe zienten der ^{i}-Matrizen erhalten w ir die folgenden M atrixelem ente:

$$h\ jV\ (\sim\quad p)j\ i\ =\ \frac{7\ ^4m^2}{48}\quad\frac{65\ ^6m^2}{288};\tag{4.44}$$

$$h\ jV\ (\sim\quad p)V\ j\ i\ =\ \frac{37\ ^6m^4}{192};\tag{4.45}$$

$$h\ jVp^2\ (\sim\quad p)j\ i\ =\ \frac{15\ ^6m^4}{64};\tag{4.46}$$

$$h\ j(\sim\quad p)\ (pVp)j\ i\ =\ \frac{23\ ^6m^4}{192}:\tag{4.47}$$

Schlie lich benotigen w ir fur den Koe zienten der -Matrizen noch folgende M atrixelem ente:

$$h\ j\tilde{}\quad (pV)\quad pj\ i\ =\ \frac{i}{12}\ ^4m^3+\frac{121i}{576}\ ^6m^3;\tag{4.48}$$

$$h\ j\ \sim\quad (pV)\quad pp^2j\ i\ =\ \frac{7i}{48}\ ^6m^5;$$

$$h\ jp\ \sim\quad pV^2\quad p\ pj\ i\ =\ \frac{i}{48}\ ^6m^5:\tag{4.49}$$

Das Ergebnis für den 1-Vertex-Anteil lautet:

$$\tilde{\Gamma}_1 = \frac{^2\ \tilde{k}^2 m \quad 2m^3 + 2m^2 ! + m !^2}{2\ \tilde{k}^2 + 2m ! \quad !^2\ ^2} + \tag{4.50}$$

$$+\ ^4\ \ 45\,(\tilde{k}^2)^3 m + 46\,(\tilde{k}^2)^2 m^3 \quad 48\tilde{k}^2 m^5 + 188\,(\tilde{k}^2)^2 m^2 !$$

$$256\tilde{k}^2 m^4 ! + 384 m^6 ! \quad 45\,\tilde{k}^2)^2 m\ !^2 +$$

$$+ 576\tilde{k}^2 m^3 !^2 \quad 888 m^5 !^2 \quad 56\tilde{k}^2 m^2 !^3 + 720 m^4 !^3$$

$$45\tilde{k}^2 m\ !^4 \quad 102 m^3 !^4 \quad 132 m^2 !^5 + 45 m\ !^6 \quad 144\ \tilde{k}^2 + 2m ! \quad !^2\ ^4 +$$

$$^6\ \ 8505\,(\tilde{k}^2)^5 m + 19790\,(\tilde{k}^2)^4 m^3 \quad 43296\,\tilde{k}^2)^3 m^5 \quad 16128\,\tilde{k}^2)^2 m^7 +$$

$$+ 61420\,(\tilde{k}^2)^4 m^2 ! \quad 22104\,\tilde{k}^2)^3 m^4 ! \quad 477312\,\tilde{k}^2)^2 m^6 ! +$$

$$+ 430080\tilde{k}^2 m^8 ! \quad 25515\,\tilde{k}^2)^4 m\ !^2 + 279240\,(\tilde{k}^2)^3 m^3 !^2 \quad 34224\,\tilde{k}^2)^2 m^5 !^2$$

$$474240\tilde{k}^2 m^7 !^2 \quad 368640 m^9 !^2 \quad 135000\,\tilde{k}^2)^3 m^2 !^3 + 1011864\,(\tilde{k}^2)^2 m^4 !^3$$

$$1040480\tilde{k}^2 m^6 !^3 + 1413120 m^8 !^3 + 17010\,(\tilde{k}^2)^3 m\ !^4 \quad 561180\,\tilde{k}^2)^2 m^3 !^4 +$$

$$+ 2020400\tilde{k}^2 m^5 !^4 \quad 2366880 m^7 !^4 + 36480\,(\tilde{k}^2)^2 m^2 !^5 \quad 1269960\tilde{k}^2 m^4 !^5 +$$

$$+ 2243040 m^6 !^5 + 17010\,(\tilde{k}^2)^2 m\ !^6 + 205480\tilde{k}^2 m^3 !^6 \quad 1212480 m^5 !^6 +$$

$$+ 86360\tilde{k}^2 m^2 !^7 + 280200 m^4 !^7 \quad 25515\tilde{k}^2 m\ !^8 + 56670 m^3 !^8$$

$$49260 m^2 !^9 + 8505 m\ !^{10} \quad 34560\ \tilde{k}^2 + 2m ! \quad !^2\ ^6 : \tag{4.51}$$

4.1.5 Der 0-Vertex Anteil

Im 0-Vertex-Anteil rechnen wir mit der Selbstenergiefunktion des freien Elektrons, das heißt, wir werten das Diagramm 4.4 aus (die äußeren Spinoren sind wie in jeder Berechnung der gebundenen Selbstenergie die Dirac–Coulomb–Wellenfunktionen, nicht die freien Spinoren). Es ist somit das Matrixelement

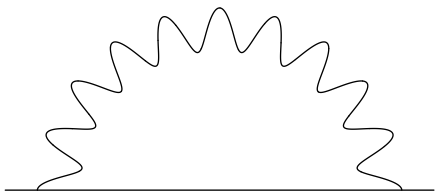

Abbildung 4.4: 0-Vertex-Anteil

$$\tilde{P}_0 = \langle j \, {}^0 \, \frac{1}{D} \, j \rangle \tag{4.52}$$

$$= \langle j M_3 j \rangle; \tag{4.53}$$

auszuwerten, wobei fur die Matrix M_0 gilt:

$$M_0 = {}^0 \, \frac{1}{D} \; : \tag{4.54}$$

Wie ublich beschranken wir uns auf die Angabe der relevanten Matrix-Elemente. Wir erhalten Beitrage fur die Id-Matrix, die ^{0}-Matrix und die ^{i}-Matrizen (alle anderen Projektionen verschwinden in der Ordnung ^{6}). Fur den Beitrag der Id-Matrix benotigen wir die folgenden Matrix-Elemente

$$\langle j \, j \rangle = 1 \quad \text{(Normierung)}; \tag{4.55}$$

$$\langle j \not{p}^2 j \rangle = \frac{{}^2 m^2}{4} + \frac{13 \; {}^4 m^2}{48} + \frac{23 \; {}^6 m^2}{72}; \tag{4.56}$$

$$\langle j \, \not{p}^2 \, {}^2 \, j \rangle = \frac{7 \; {}^4 m^4}{48} + \frac{167 \; {}^6 m^4}{288}; \tag{4.57}$$

$$\langle j \, \not{p}^2 \, {}^3 \, j \rangle = \frac{21 \; {}^6 m^6}{64}: \tag{4.58}$$

Fur die ^{0}-Matrix werden die nachfolgenden Elemente gebraucht:

$$\langle j \, {}^0 j \rangle = 1 \quad \frac{{}^2}{8} \quad \frac{5 \; {}^4}{128} \quad \frac{21 \; {}^6}{1024}; \tag{4.59}$$

$$\langle j \, {}^0 \not{p}^2 j \rangle = \frac{{}^2 m^2}{4} + \frac{19 \; {}^4 m^2}{96} + \frac{943 \; {}^6 m^2}{4608}; \tag{4.60}$$

$$\langle j \, {}^0 \, \not{p}^2 \, {}^2 \, j \rangle = \frac{7 \; {}^4 m^4}{48} + \frac{479 \; {}^6 m^4}{1152}: \tag{4.61}$$

Fur die Matrix-Elemente mit den -Matrizen gilt:

$$\langle j (\tilde{\quad} \quad \not{p}) j \rangle = \frac{{}^2 m}{4} + \frac{5 \; {}^4 m}{32} + \frac{63 \; {}^6 m}{512}; \tag{4.62}$$

$$\langle j (\tilde{\quad} \quad \not{p}) \not{p} j \rangle = \frac{7 \; {}^4 m^3}{48} + \frac{419 \; {}^6 m^3}{1152}; \tag{4.63}$$

$$\langle j (\tilde{\quad} \quad \not{p}) \not{p}^2 \, {}^2 \, j \rangle = \frac{21 \; {}^6 m^5}{64}: \tag{4.64}$$

Auf eine Angabe des Endergebnisses fur den 0-Vertex-Anteil wird hier aufgrund der Lange des Ausdrucks verzichtet. Der Ausdruck wurde mehr als eine Seite fullen, ist jedoch von seiner Struktur her dem Ergebnis fur den 1-Vertex-Anteil sehr ahnlich. Er ist von der Gestalt:

$$\tilde{P}_0 = \frac{2 \; (m + \; !)}{\tilde{k}^2 + 2m \; ! \quad !^2} + \tag{4.65}$$

$$+ \; {}^2(:::) + \; {}^4(:::) + \; {}^6(:::)$$

Den ^{0}-Koe zient kennen wir bereits. Er entspricht gerade dem Integranden der parametrischen Darstellung des Massen-Gegenterms, die wir in Abschnitt 2.37 kennengelernt hatten. Somit hebt sich dieser (bei Integration uber $\tilde{k}$ und $!$ divergente) Ausdruck gerade heraus, und das Integral konvergiert.

4.1.6 Der Massen-Gegenterm

Wie leicht zu erkennen, wurde der erste Term im Matrix-Element $\tilde{P}_0$ auch bei bei Integration bzgl. des 4-Impulses des virtuellen Photons auch nach Regularisierung des Photonenpropagators noch divergieren.

Der Massen-Gegenterm (die Massen-Renormierung) gleicht, wie bereits im Kapitel uber die Theorie des Selbstenergie-Beitrages, diese Divergenz gerade aus. Wir erhalten mit der parametrischen Darstellung des Massen-Gegenterms 2.37

$$m = ie^2 \int \frac{d^4k}{(2\pi)^4} \frac{1}{k^2} \frac{1}{k^2 - M^2} \frac{2(m\not{k} + \not{!})}{k^2 - 2mk! + !^2}$$

den Integranden des Massen-Gegenterms als

$$\frac{2(m\not{k} + \not{!})}{k^2 - 2mk! + !^2}$$

mit $k^2 = !^2 - \vec{k}^2$. Wenn man dann noch das Matrix-Element

$$\langle j|i\rangle = \langle j|^0|i\rangle = 1 - \frac{e^2}{8} - \frac{5e^4}{128} - \frac{21e^6}{1024}$$

einsetzt, so ergibt sich der Integrand des Massen-Gegenterms, $\langle j|m|i\rangle$, als Matrix-Element mit $|i\rangle$ geschrieben, zu

$$\langle j|^0 m|i\rangle = \frac{2(m\not{k} + \not{!})}{\vec{k}^2 + 2mk! - !^2} + \frac{e^2(m\not{k} + \not{!})}{4(\vec{k}^2 + 2mk! - !^2)} +$$

$$+ \frac{5e^4(m\not{k} + \not{!})}{64(\vec{k}^2 + 2mk! - !^2)} + \frac{21e^6(m\not{k} + \not{!})}{512(\vec{k}^2 + 2mk! - !^2)}: \tag{4.66}$$

4.1.7 Die k- und omega-Integration

Den letzten Schritt bei der Berechnung des Hochenergie-Anteils bilden die $\vec{k}$und die $!$-Integrationen. Die Ergebnisse fur den 0-,1-,2- und 3-Vertex-Anteil werden aufaddiert (siehe Gl. 3.95)

$$\tilde{P} = \tilde{P}_0 + \tilde{P}_1 + \tilde{P}_2 + \tilde{P}_3$$

und ergeben das Matrixelement $\tilde{P}$ bis zur Ordnung e^6. Dieses Matrix-Element wird durch Abzug des Massen-Gegenterms renormiert und bezuglich $\vec{k}$und $!$ integriert.

Den ersten Schritt bildet die $\vec{k}$-Integration. Wir definieren die Abkurzung

$$X \equiv \sqrt{2mk! - !^2}; \tag{4.67}$$

um die Ausdrucke in der Rechnung in ihrer Lange zu kontrollieren. Nach gewissen Umformungen des Integranden ist die einzige Formel, die zur Integration bzgl. $\vec{k}$benotigt wird

$$\frac{1}{2\pi i}\int_{-1}^{1} \frac{1}{k^2 - !^2} \frac{1}{(X^2 + k^2)^n} = \tag{4.68}$$

$$= \frac{1}{2|!|} \frac{1}{|!|^2 + X^2} + \frac{(-1)^n}{(n-1)!} \frac{\partial^{n-1}}{\partial(X^2)^{n-1}} \frac{i}{2X} \frac{1}{!^2 + X^2}; \tag{4.69}$$

wobei die Betragsfunktion fur komplexes Argument $!$ wie folgt erklart ist,

$$|!| = \mathrm{sgn}(\Re(!))\, !; \tag{4.70}$$

d.h.

$$|\omega| = +\omega \quad \text{falls} \quad \Re(\omega) > 0, \tag{4.71}$$

$$|\omega| = -\omega \quad \text{falls} \quad \Re(\omega) < 0.$$

Die Formel 4.68 kann man durch Vorziehen der Differentiation nach X^2 vor das Integral und mit Anwendung des Residuensatzes leicht nachrechnen.

Für die ω-Integration werden ultraviolett divergente Ausdrücke regularisiert, es werden Feynman-Parameter eingeführt und die Integration kovariant ausgeführt. Für die ultraviolett konvergenten Ausdrücke wird zunächst die Integrationsvariable reskaliert und auf eine dimensionslose Größe zurückgeführt. Es wird definiert

$$u = \frac{X + i\omega}{X - i\omega} \tag{4.72}$$

(mit $X = \sqrt{2m\omega - \omega^2}$). Die ω-Integration wird durch folgende Überlegung erleichtert: Der Integrand hat eine Verzweigung auf der positiven reellen Achse, d.h. der Realteil des Integranden leicht unterhalb der reellen Achse ist gerade das Negative des Realteils oberhalb dieser Achse, wie man an der Formel 4.68 erkennt, und der Imaginärteil behält gerade sein Vorzeichen bei. Da auf dem Integrationsweg C_H unterhalb der reellen Achse in negativer Richtung integriert wird, ergibt sich daraus, daß der Wert des Integrals auf dem unteren Ast das konjugiert-Komplexe des Integrals auf dem oberen Ast ist. Die Integration nach u und Entwicklung im Infrarot-Regulator λ erfolgt mit Formeln, die zum Beispiel in [9] zu finden sind.

4.1.8 Ergebnis des Hochenergie-Anteils

Nach der Ausführung der $|k|$- und ω-Integration und Ersetzung von λ durch $Z\lambda$ lautet das Ergebnis für den F-Faktor des Hochenergie-Anteils

$$F_H = \frac{1}{6} + \frac{4177}{21600} - \frac{103}{180}\ln(2) - (Z\lambda)^2 - \frac{2(Z\lambda)^2}{9} - \frac{103}{180}(Z\lambda)^2\ln(\lambda) \tag{4.73}$$

Die Divergenzen in Termen des Abschneideparameters λ werden sich durch entsprechende Terme im Niedrigenergie-Anteil gerade herausheben.

4.2 Der Niedrigenergie-Anteil

4.2.1 Allgemeines zur Rechenmethode

In dem gesamten Abschnitt über den Niedrigenergie-Anteil wird es darum gehen, ein allgemeines Matrix-Element der Form

$$P_{allg.}(\omega) = \langle j|O_1 p^i \frac{1}{H_S - (E_S - \omega)} p^j O_2|j\rangle \tag{4.74}$$

zu berechnen. Dabei ist $E_S = E_j$ die Schrödinger-Energie des Zustands $|j\rangle$, und wir führen eine Variablen-Transformation zum Parameter t mit

$$t = \frac{\omega}{X}$$

durch, wobei

$$\lambda = \frac{m}{2} \quad \text{sowie} \quad X = \sqrt{2m(E_j - \omega)} \tag{4.75}$$

(siehe Abschnitt 3.8, insbesonders Gl. 3.126). O_1 und O_2 sind Operatoren, die den Drehimpuls nicht ändern, also beispielsweise skalare Funktionen von r.

Haben wir $P(\omega)$ bzw. $P(t)$ erst einmal berechnet, so ergibt sich der gesuchte Beitrag zu F durch

$$F = \frac{1}{2}\int_{-t_j}^{1} dt \frac{1 - t^2}{t^5} P(t)$$

(siehe Gl. 3.130). Wie ein solches Matrix-Element, welches den Propagator beinhaltet, im einzelnen berechnet wird, wollen wir hier skizzieren.

Wir beschranken uns in dieser allgemeinen Diskussion auch auf den Fall der Darstellung des Propagators im Ortsraum und mit Laguerre-Polynomen. Wie wir im Abschnitt 4.2.2 noch sehen werden, wird fur manche Matrix-Elemente eine andere Darstellung des Photonenpropagators gewahlt. Bis auf ein einziges Matrix-Element wird jedoch im Ortsraum gerechnet, und wir haben als Ansatz fur den Photonenpropagator

$$G(r_1;r_2;E) = \sum_{lm} g_l(r_1;r_2;\ )\,Y_{lm}(\ _1;\ _1)\,Y_{lm}(\ _2;\ _2) \tag{4.76}$$

mit noch zu bestimmenden Funktionen $g_l(r_1;r_2;\ )$. Die Ausdrucke fur $g_l(r_1;r_2;\ )$ beinhalten noch eine Summation uber Laguerre-Polynome k-ter Stufe von $k = 0$ bis 1 (siehe Abschnitt 4.2.2). Die Berechnung von $P_{allg.}$ erfolgt nun in folgenden Schritten:

1. Ausfuhren der Winkelintegration. Da die P-Wellenfunktionen den Drehimpuls $l = 1$ haben und durch die Wirkung von p^i in Komponenten fur $l = 0$ und $l = 2$ aufgespalten werden, ist die Winkelintegration bezuglich der Kugelfunktionen relativ einfach durchzufuhren. Einzelheiten dazu nden sich im Abschnitt 4.2.2, in dem auf die mathematischen Grundlagen der Auswertung von P-Matrix-Elementen eingegangen wird.

2. Ausfuhren der Integration des Radialteils. Die verbleibende Integration bezuglich r_1 und r_2 wird mit Formeln erledigt, die ebenfalls in Abschnitt 4.2.2 diskutiert werden.

3. Summation uber k. Diese Summation wird mit Formeln erledigt, die zum Teil durch computergesttzte Rechnungen hergeleitet worden sind. Alle so nicht in der Literatur verzeichneten und eigens hergeleiteten Summenformeln wurden intensiv an Beispielen geprut.

4. Zusammenhangsformeln zur Vereinfachung der hypergeometrischen Funktionen. Durch die Anwendung von Gau schen Zusammenhangsformeln der hypergeometrischen Funktionen werden diese vereinfacht, und das Ergebnis wird in eine \lesbare" Form gebracht.

   Durch Integration nach t gema Formel 3.130 ergibt sich dann der gesuchte F-Faktor. Diese Integration erfolgt in folgenden Schritten:

   (a) Die hypergeometrischen Funktionen werden um die Stelle $! = 0$ ($t = 1$) entwickelt, um einen bei $t = 1$ konvergenten Ausdruck zu erhalten. Der entstehende Ausdruck (der \divergente Anteil") enthalt alle Divergenzen fur $t \to 0$ ($! \to 1$). Der verbleibende (\nicht-divergente") Ausdruck ist bei $t = 1$ und $t = 0$ konvergent und liefert einen weiteren Beitrag zum F-Faktor. Da dieser Ausdruck hypergeometrische Funktionen enthalt, wird er numerisch integriert (es handelt sich um eine einfache eindimensionale Integration).

   (b) Integration des divergenten Anteils mit Mathematica-eigenen Routinen von $t = t$ bis $t = 1$ (mit t gegeben durch 3.129).

   (c) Symbolische Entwicklung des Resulats der Integration des divergenten Anteils in $\ $ bis ^{2}, danach in $\ $ bis ^{0}.

   (d) Berechnung des nicht-divergenten numerischen Anteils als einfache eindimensionale numerische Integration (Gau sche Quadratur).

   (e) Addition des divergenten und des nicht-divergenten Anteils ergibt F.

Da die letztgenannten Schritte zur Berechnung von F mathematisch nicht besonders anspruchsvoll sind, werden sie in dieser Arbeit nicht naher erlautert. Wie bereits im Hochenergie-Anteil ersetzen wir in den Zwischenergebnissen der Einfachheit halber den Faktor $Z\ $ durch $\ $, um ihn dann im Endergebnis voll auszuschreiben.

4.2.2 Mathematische Vorbereitungen

Verschiedene Darstellungen des Propagators

Fur unsere Rechnungen brauchen wir hau g den Propagator

$$G(E) = \frac{1}{H_S\ \ E}$$

der Schrodinger-Gleichung. Im Ortsraum lautet die Gl. 4.2.2 gerade

$$(H_S \quad E)G(\mathbf{r}_1;\mathbf{r}_2;E) = \quad (\mathbf{r}_1 \quad \mathbf{r}_2): \tag{4.77}$$

Man kann diese Gleichung losen mit dem Ansatz (siehe [16])

$$G(\mathbf{r}_1;\mathbf{r}_2;E) = \sum_{lm} g_l(r_1;r_2; \ )Y_{lm}(\ _1;\ _1)Y_{lm}(\ _2;\ _2) \tag{4.78}$$

mit als "Energie-Parameter" gemaß

$$^2a^2 = \quad \frac{1}{2m\ E};$$

wobei $a = a_{Bohr} = 1=(\ m\ )$ der Bohrsche Radius ist. Setzt man nun fur unsere Arbeit

$$E = E \quad !;$$

so folgt nach einer kurzen Rechnung

$$= 2\pi\frac{m=2}{2m\ (E \quad !)} = 2t; \tag{4.79}$$

wobei der t-Parameter gerade der in Abschnitt 4.2.1 eingefuhrte Integrationsparameter ist

Fur die Funktion $g_l(r_1;r_2;E\ )$ (den Radialteil des Schrodinger-Coulomb-Propagators) werden in dieser Arbeit zwei Darstellungen benutzt. Zunachst wollen wir uns der Darstellung

$$g_l(r_1;r_2; \ ) = 2m \quad \frac{2}{a} \quad ^{2l+1}(r_1r_2)^l \exp \quad \frac{r_1+r_2}{a} \tag{4.80}$$

$$\sum_{k=0}^{i} \frac{k!}{(2l+1+k)!(l+1+k \quad)} L_k^{2l+1}\left(\frac{2r_1}{a}\right) \quad L_k^{2l+1}\left(\frac{2r_2}{a}\right)$$

mit L_a^b als dem assoziierten Laguerre-Polynom der Stufe $(a;b)$ zuwenden.

Den Radialteil des Schrodinger-Coulomb-Propagators kann man auch vermittels Whittaker-Funktionen darstellen.

$$g_l(r_1;r_2; \ ) = m\ a \quad \frac{(l+1 \quad \ )}{(2l+1)!}\frac{1}{r_1r_2}M_{\ ;l+1=2}\left(\frac{2r}{a}\right) \quad W_{\ ;l+1=2}\left(\frac{2r}{a}\right) \tag{4.81}$$

Fur zwei der Matrix-Elemente benotigen wir noch die Schwingersche Darstellung des Propagators im Impulsraum

$$G(\mathbf{p};\mathbf{p}^0;E \quad !) = 4\ m\ X^3 \quad \frac{ie^i}{2\sin} \quad \int_{1}^{0^+} d \quad \frac{@}{@} \tag{4.82}$$

$$\frac{1 \quad ^2}{\hbar\ X^2(\mathbf{p} \quad \mathbf{p}^0)^2 + (p^2+X^2)(p'^2+X^2)\frac{(1 \quad)^2}{4}}^{i}{}_2$$

mit $X = \sqrt{2m\ (E \quad !)}$ und $= m \ =X = 2t$.

Winkelintegration

Da die drei P-Wellenfunktion die Drehimpuls-Quantenzahl $l = 1$ haben, transformieren sie sich unter Drehungen wie ein Vektor (siehe zum Beispiel [4], Seite 425 ff.). Man kann daher P_x-, P_y und P_z Orbitale identifizieren mit

$$^1(\mathbf{r}) = r^1\tilde{\ }(r) \tag{4.83}$$

wobei $r^1 = x$, $r^2 = y$ und $r^3 = z$ (siehe Konventionen). Es ist

$$\tilde{\ }(r) = \frac{\frac{5}{2}m^{\frac{5}{2}}}{4\pi\sqrt{2}}e^{\ \frac{m\ r}{2}} \tag{4.84}$$

eine Funktion, die nur von r abhangt. Die zu berechnenden Matrix-Elemente ergeben sich dann aus der Mittelung uber die drei verschiedenen P-Orbitale.

Nun folgt eine generelle Eigenschaft von Funktionen des Typs $p^i r^j f(r)$. Aus dem Additionsgesetz fur Drehimpulse bzw. ganz explizit aus der Formel

$$p^i r^j f(r) = \quad \frac{1}{3}\,{}^{ij}\,[(3f(r) + rf^0(r))] \quad i\,\hat{r}^i\hat{r}^j \quad \frac{1}{3}\,{}^{ij} \quad (rf^0(r)) \tag{4.85}$$

erkennt man, da die Funktionen $p^i r^j f(r)$ aufspalten in einen Anteil mit $l = 0$ und einen Anteil mit $l = 2$. Der $l = 0$-Anteil ist gerade

$$\frac{1}{3}\,{}^{ij}\,[(3f(r) + rf^0(r))];$$

und der $l = 2$-Anteil ergibt sich aus

$$i\,\hat{r}^i\hat{r}^j \quad \frac{1}{3}\,{}^{ij} \quad (rf^0(r)):$$

Au erdem haben wir folgende generelle Eigenschaft der Kugelfunktionen. Fur zwei Funktionen $h_1(\ ;\ )$ und $h_2(\ ;\ )$ mit

$$h_i(r;\ ;\ ) = \sum_{l;m} c_{l;m}\ (r)\, Y_{l;m}\ (\ ;\ ) \tag{4.86}$$

mit der $l = l^0$-Komponente

$$h_{i;l=l^0}(\ ;\ ) = \sum_{m} c_{l^0;m}\ (r)\, Y_{l^0;m}\ (\ ;\ ) \tag{4.87}$$

(keine Summation uber l^0) gilt

$$\int d\ _1 \int d\ _2\, h_1(r_1;\ _1;\ _1) \sum_{m} Y_{l^0;m}\ (\ _1;\ _1)\, Y_{l^0;m}\ (\ _2;\ _2)\, h_2(r;\ _2;\ _2) = \tag{4.88}$$

$$\int d\ h_{1;l=l^0}(r_1;\ ;\ )\, h_{2;l=l^0}(r_2;\ ;\ ):$$

Daher gilt mit

$$f_1(r) = O_1\,\tilde{}\,(r) \tag{4.89}$$

und

$$f_2(r) = O_2\,\tilde{}\,(r) \tag{4.90}$$

die folgende Umformung:

$$P_{allg.}(!) = \langle \; | O_1 p^i \frac{1}{H_S \quad (E_S \quad !)} p^i O_2 | \; \rangle \tag{4.91}$$

$$= \frac{1}{3} \langle \; {}^1 | O_1 p^i \frac{1}{H_S \quad (E_S \quad !)} p^i O_2 | \; {}^1 \rangle$$

$$= \frac{1}{3} \int dr_1 \, dr_2 \, r_1^2 \, r_2^2 \, d \; _1 \, d \; _2 \quad (p^i r^l f_1)(r_1; \; _1; \; _1) \sum_{lm} g_l(r_1; r_2; \;) \; Y_{lm}(\; _1; \; _1) Y_{lm}(\; _2; \; _2) \quad (p^i r^l f_2)(r_2; \; _2; \; _2)$$

$$= \frac{1}{3} \int dr_1 \, dr_2 \, r_1^2 \, r_2^2 \, d \quad (p^i r^l f_1)(r_1; \; ; \;)_{l=0} \, g_0(r_1; r_2; \;) \quad (p^i r^l f_2)(r_2; \; ; \;)_{l=0}$$

$$+ \quad (p^i r^l f_1)(r_1; \; ; \;)_{l=2} \, g_2(r_1; r_2; \;) \quad (p^i r^l f_2)(r_2; \; ; \;)_{l=2}$$

$$= \int dr_1 \, dr_2 \, r_1^2 \, r_2^2 \quad \frac{4}{9} \, (3f_1(r_1) + r_1 f_1^0(r_1)) \, g_0(r_1; r_2; \;) \, (3f_2(r_2) + r_2 f_2^0(r_2)) +$$

$$\frac{8}{9} \, (r_1 f_1^0(r_1)) \, g_2(r_1; r_2; \;) \, (r_2 f_2^0(r_2)) \; :$$

Die Winkelintegration ist somit ausgefuhrt, und es verbleibt die Integration bezuglich r_1 und r_2.

r_1 und r_2-Integration

Wir wollen uns hier nur mit den Matrix-Elementen beschaftigen, die mit der Darstellung des Schrodigner-Coulomb Propagators durch Laguerre-Polynome gerechnet sind. Nach der Winkelintegration sind folgende Formeln fur die Berechnung der verbleibenden Integrale bezuglich r_1 und r_2 hilfreich. Zunachst ist

$$\int_0^1 dr \, r \, \ln(r) \exp(\quad r) = \quad ^1 \quad (\; + 1) \, (\; (\; + 1) \quad \ln(\;)) \tag{4.92}$$

mit der logarithmischen Ableitung der -Funktion

$$(x) = \frac{^0(x)}{(x)} : \tag{4.93}$$

Eine weitere wichtige Formel ist

$$\int_0^1 dr \exp(\quad r) \, r \, L_n(r) = \tag{4.94}$$

$$\frac{^1 \quad {}_2F_1(\quad n; \; + 1; \; + 1; \frac{1}{}) \quad (\; + 1) \quad (\; + n + 1)}{n! \quad (\; + 1)} :$$

Fur die Ausfuhrung der r_1 und r_2-Integrationen bei Verwendung der Whittaker-Funktionen existieren ebenfalls Formeln [18].

Summation uber k

Im Schrodinger-Coulomb-Propagator tritt bei Darstellung im Ortsraum mit Laguerre-Polynomen (siehe Gl. 4.80) die Summe uber den Summationsindex k auf. Es treten dabei zum Beispiel folgende Summen

auf:

$$\sum_{k=0}^{\infty} {}^{k} = 1/(1 \quad); \tag{4.95}$$

$$\sum_{k=0}^{\infty} k^{n} {}^{k} = ({}^{k}; \quad n;0); \tag{4.96}$$

$$\sum_{k=0}^{\infty} \frac{{}^{k}}{a+k} = \frac{1}{a} {}_2F_1(1;a;a+1; \quad): \tag{4.97}$$

Die Lerchsche -Funktion ist de niert als

$$(z; \quad ;a) = \sum_{k=0}^{\infty} \frac{z^k}{(a+k)}: \tag{4.98}$$

Die hypergeometrische Funktion ${}_2F_1$ ist erklart als

$${}_2F_1(a;b;c;z) = \sum_{j=0}^{\infty} \frac{(a)_j (b)_j}{(c)_j} \frac{z^k}{k!} \tag{4.99}$$

mit dem Pochhammer-Symbol

$$(a)_j = \frac{(a+j)}{(a)}:$$

Neben diesen recht einfachen Summationen treten in den Berechnungen auch kompliziertere Summen auf. Wir haben zum Beispiel die folgende Formel

$$\sum_{k=0}^{\infty} \frac{1}{k!} \quad (k+ \quad) \quad {}^{k} {}_2F_1(\quad k;b;c;z) = \frac{1}{(1 \quad)} \quad ( ) {}_2F_1(\quad ;b;c; \quad \frac{z}{1}) \tag{4.100}$$

Diese und alle anderen Formeln, die mit der Theorie der hypergeometrischen Funktionen zusammenhangen, nden sich in [17] und [18]. Mit = 1 folgt aus der Formel 4.100

$$\sum_{k=0}^{\infty} {}^{k} {}_2F_1(\quad k;b;c;z) = \frac{{}_2F_1(1;b;c; \quad \frac{z}{1})}{1}: \tag{4.101}$$

Mit der Beziehung

$$k^{n+1} {}^{k} = \frac{@}{@} \quad k^{n} {}^{k} \tag{4.102}$$

lassen sich aus der Formel 4.101 auch Formeln fur Summen der Form

$$\sum_{k=0}^{\infty} k^{n} {}^{k} {}_2F_1(\quad k;b;c;z) \tag{4.103}$$

aufstellen. Bei der Anwendung von Gl. 4.102 auf Gl. 4.101 treten auf der rechten Seite Ableitungen nach dem Argument der hypergeometrischen Funktion auf. Diese Ableitungen lassen sich mit der Formel

$${}_2F_1(1+a;b;c;z) = {}_2F_1(a;b;c;z) + \frac{z@_4 ({}_2F_1)(a;b;c;z)}{a^2} \tag{4.104}$$

beseitigen. Durch computergestutzte Rechnungen wurden so Formeln fur die Summen der Gestalt (4.103) fur $n = 1:::4$ hergeleitet, da diese Summen in den spateren Rechnungen vorkommen. Es erfolgt hier nur

eine Angabe des Ergebnisses für $n = 4$:

$$\sum_{k=0}^{\infty} k^4 \, {}^k \, {}_2F_1(\;k;b;c;z) \;=\; \frac{{}_2F_1(1;b;c;\;\frac{z}{1\;})}{1} \quad \frac{15\,{}_2F_1(2;b;c;\;\frac{z}{1\;})}{(\;1+\;)^2}$$

$$+\frac{50\,{}_2F_1(3;b;c;\;\frac{z}{1\;})}{(1\quad)^3} \quad \frac{60\,{}_2F_1(4;b;c;\;\frac{z}{1\;})}{(\;1+\;)^4}$$

$$+\frac{24\,{}_2F_1(5;b;c;\;\frac{z}{1\;})}{(1\quad)^5} \tag{4.105}$$

mit der Eulerschen Konstanten $= 0{:}577216\ldots$. Mit Hilfe dieser Formeln ist es möglich, Summen wie

$$\sum_{k=0}^{\infty} k^n \, {}^k \, \partial_2 \, ({}_2F_1)(\;k;b;c;z)$$

auszuwerten. Es wird dabei zunächst die Ableitung nach dem zweiten Parameter der hypergeometrischen Funktion durch den Ausdruck für den entsprechenden Differenzen-Quotienten ersetzt,

$$\partial_2 \, ({}_2F_1)(\;k;b;c;z) \;!\; \frac{{}_2F_1(\;k;b+\;;c;z) \;\; {}_2F_1(\;k;b;c;z)}{\;};$$

mit einem , welches wir später wieder gegen Null schicken. Nach der obigen Ersetzung lassen sich die hergeleiteten Summations-Formeln anwenden, und im Ergebnis können, wie im nächsten Abschnitt besprochen wird, die Parameter der hypergeometrischen Funktion durch Zusammenhangsformeln geeignet verändert werden. Zuletzt werden Regeln für die explizite Form von hypergeometrischen Funktionen, die bereits im Programm Mathematica implementiert sind, verwandt, um die Differentiation (Übergang zum Differentialquotienten) ausführen zu können.

Für die folgenden Summen konnte keine geschlossenen Ausdrücke in Termen hypergeometrische Funktionen gefunden werden:

$$\sum_{k=0}^{\infty} \frac{\quad^k}{a+k} \, \partial_2 \, ({}_2F_1)(\;k;b;c;z):$$

Diese Summen werden numerisch behandelt. Um Singularitäten bei $t = 1$ und $t = 0$ auszuschließen, summieren wir nicht von $k = 0$ aufwärts und multiplizieren mit t^2. Wir definieren die "spezielle Funktion"

$$\tilde{F}_{abc}(t) = t^2 \sum_{k=2}^{\infty} \frac{\left(\frac{t\;\;1}{t+1}\right)^k}{a \quad 2t+k} \, \partial_2 \, ({}_2F_1)(\;k;b;c;\frac{2}{1+t}): \tag{4.106}$$

In unserer Rechnung kommt diese Funktion in der Gestalt

$$\tilde{F}_{122}(t) = t^2 \sum_{k=0}^{\infty} \frac{\left(\frac{t\;\;1}{t+1}\right)^k}{1 \quad 2t+k} \, \partial_2 \, ({}_2F_1)(\;k;2;2;\frac{2}{1+t}) \tag{4.107}$$

und

$$\tilde{F}_{366}(t) = t^2 \sum_{k=0}^{\infty} \frac{\left(\frac{t\;\;1}{t+1}\right)^k}{3 \quad 2t+k} \, \partial_2 \, ({}_2F_1)(\;k;6;6;\frac{2}{1+t}) \tag{4.108}$$

vor. Man kann zeigen, daß $\tilde{F}_{122}(t)$ und $\tilde{F}_{366}(t)$ für $t \;!\; 0$ gegen Null und für $t \;!\; 1$ schneller als $(1\;\;t)^2$ gegen Null gehen. Da Integrale mit diesen Funktionen numerisch behandelt werden und dafür eine Gaußsche Quadratur verwandt wird, die bei glatten Funktionen ohne Singularitäten schnell konvergiert, ist dieses Verhalten sehr hilfreich.

Weitere Summationen, die bei der Berechnung der P-Matrixelemente auftreten, involvieren die logarithmische Ableitung der -Funktion,

$$(x) = \frac{{}^0(x)}{(x)} \tag{4.109}$$

Durch zum Teil computergestutze Rechnungen lassen sich auch fur diese Summationen Formeln angeben. Zwei Beispiele seien hier erwahnt:

$$\sum_{k=0}^{\infty} {}^{m} (2+k) = \frac{+\ln(1 \quad)}{(\ 1+\ )} \tag{4.110}$$

wiederum mit als der Eulerschen Konstanten und

$$\sum_{k=0}^{\infty} k^{4\ m} (2+k) = \frac{1 \quad 6 \quad 13^2 \quad 32^{\ 3}}{(\ 1+\ )^5} + \tag{4.111}$$

$$+ \frac{(1+\ )\ 1+10\ +\ ^2}{(\ 1+\ )^5} +$$

$$+ \frac{1 \quad 5 \ + 11^{\ 2} + \ ^3 + 16^{\ 4} \ \ln(1 \quad)}{(\ 1+\ )^5}:$$

Es gibt jedoch auch fur diejenigen Summen, welche die -Funktion beinhalten, bestimmte Falle, fur die keine Losung in geschlossener Form gefunden werden konnte. Es sind Funktionen des Typs:

$$\tilde{}_{ab}(t) = t^2 \sum_{k=2}^{\infty} \frac{\left(\frac{1\ t}{1+t}\right)^{2k}}{b \quad 2t+k} (a+k): \tag{4.112}$$

Diese Funktionen kommen in unserer Rechnung in der Gestalt

$$\tilde{}_{21}(t) = t^2 \sum_{k=2}^{\infty} \frac{\left(\frac{1\ t}{1+t}\right)^{2k}}{1 \quad 2t+k} (2+k) \tag{4.113}$$

und

$$\tilde{}_{63}(t) = t^2 \sum_{k=2}^{\infty} \frac{\left(\frac{1\ t}{1+t}\right)^{2k}}{3 \quad 2t+k} (6+k) \tag{4.114}$$

vor. Auch diese Summen werden numerisch behandelt. Zum Schlu de nieren wir noch die folgenden \spezielle Funktionen", die mit der Lerchschen -Funktion zusammenhangen,

$$\tilde{}_{ab}(t) = t^2 \sum_{k=2}^{\infty} \frac{\left(\frac{1\ t}{1+t}\right)^{2k}}{(b \quad 2t+k)^a}; \tag{4.115}$$

die in dieser Arbeit als

$$\tilde{}_{21}(t) = t^2 \sum_{k=2}^{\infty} \frac{\left(\frac{1\ t}{1+t}\right)^{2k}}{(1 \quad 2t+k)^2} \tag{4.116}$$

und

$$\tilde{}_{23}(t) = t^2 \sum_{k=2}^{\infty} \frac{\left(\frac{1\ t}{1+t}\right)^{2k}}{(3 \quad 2t+k)^2} \tag{4.117}$$

vorkommen. Auch diese Funktionen werden numerisch behandelt.

Zusammenhangsformeln

Die hypergeometrischen Funktionen im Ergebnis 4.105 haben hohe Werte fur den ersten Parameter. Daher erscheint es ratsam, diesen Parmeter durch die bekannten Gausschen Zusammenhangsformeln zu

verkleinern (siehe zum Beispiel [17]). Auch durch die Anwendung der letzten Formel aus den Standard-Summationen 4.95 treten hypergeometrische Funktionen mit unangenehmen Werten für die Parameter auf (in diesem Fall sind die b- und c-Parameter zu hoch). Um die Parameter geeignet zu verändern, verwenden wir einige Zusammenhangsformeln in einer Gestalt, die das Herabsetzen der Parameter ermöglicht. Es sind dies:

zum Herabsetzten des zweiten und dritten Parameters mit besonderem Augenmerk auf den dritten Parameter

$$ {}_2F_1(a;b;c;z) = \frac{(-1+c)\,{}_2F_1(a;-1+b;-1+c;z)}{1+b} + \frac{(b-c)\,{}_2F_1(a;-1+b;c;z)}{1+b}: \tag{4.118} $$

zum Herabsetzten des zweiten und dritten Parameters mit besonderem Augenmerk auf den zweiten Parameter

$$ {}_2F_1(a;b;c;z) = \frac{(1-c)\,{}_2F_1(a;-1+b;-1+c;z)}{(1+a-c)\,z} + \frac{(-1+c+z-cz)\,{}_2F_1(a;b;-1+c;z)}{(1+a-c)\,z}: \tag{4.119} $$

Diese und die vorige Regel müssen bei der Vereinfachung der Ausdrücke so eingesetzt werden, daß nicht einer der Parameter zu schnell sinkt, da dann eine Vereinfachung im Sinne möglichst kleiner Werte für beide Parameter nicht mehr möglich ist.

zum Herabsetzten des ersten Parameters

$$ {}_2F_1(a;b;c;z) = \frac{(-1+a-c)\,{}_2F_1(-2+a;b;c;z)}{(-1+a)(-1+z)} + \frac{(2-2a+c-z+az-bz)\,{}_2F_1(-1+a;b;c;z)}{(-1+a)(-1+z)}: \tag{4.120} $$

zum Herabsetzten des zweiten Parameters

$$ {}_2F_1(a;b;c;z) = \frac{(-1+b-c)\,{}_2F_1(a;-2+b;c;z)}{(-1+b)(-1+z)} + \frac{(2-2b+c-z-az+bz)\,{}_2F_1(a;-1+b;c;z)}{(-1+b)(-1+z)}: \tag{4.121} $$

zum Herabsetzten des dritten Parameters

$$ {}_2F_1(a;b;c;z) = \frac{(-2+c)(-1+c)(-1+z)\,{}_2F_1(a;b;-2+c;z)}{(1+a-c)(-1-b+c)\,z} + \frac{(-1+c)(-2+c+3z+az+bz-2cz)\,{}_2F_1(a;b;-1+c;z)}{(1+a-c)(-1-b+c)\,z}: \tag{4.122} $$

Abkürzungen

Da die folgenden Ausdrücke in dieser Arbeit sehr häufig vorkommen, wollen wir folgende Abkürzungen vereinbaren:

$$ s = \frac{1-t}{t+1} \tag{4.123} $$

sowie

$$F(t) = {}_2F_1(1;\ 2t;1\ 2t;s) \tag{4.124}$$

und

$$F_2(t) = {}_2F_1(1;\ 2t;1\ 2t;\ s): \tag{4.125}$$

Bei diesen Funktionen ist zur Verbesserung der Konvergenz der dritte Parameter groer als der zweite.

4.2.3 Der nichtrelativistische Dipol-Anteil

Der nichtrelativistische Dipol-Anteil ist durch Gleichung 3.119 gegeben:

$$P_{nd} = \frac{1}{3m}\langle p^i \frac{1}{H_S\ (E_S\ !)} p^i \rangle i:$$

Zur Kontrolle wurde die Rechnung sowohl im Impuls- als auch im Ortsraum ausgefuhrt. Fur die Rechnung im Impulsraum wird die Fourier-Transformation der 2P-Wellenfunktion benotigt, und es wird die Schwingersche Integraldarstellung des Schrodinger-Coulomb-Propagators im Impulsraum verwandt.

Fur die Rechnung im Ortsraum wird die \ubliche" Darstellung des Propagators im Ortsraum mit Laguerre-Polynomen verwendet (siehe Abschnitt 4.2.2). Die Summation bezuglich k wird ausgefuhrt, und die entstehenden hypergeometrischen Funktionen werden mit Hilfe der Zusammenhangsformeln vereinfacht.

Au erdem wird zum dimensionslosen Parameter t [siehe Gl. (3.126)] ubergegangen. Das Ergebnis fur $P_{nd}(t)$ lautet folgendermaen:

$$P_{nd}(t) = \frac{256F(t)t^7\ \ 3+11t^2}{9(1\ \ t)^5(1+t)^5} + \tag{4.126}$$

$$\frac{2t^2\ \ 3+6t+3t^2\ \ 12t^3\ \ 29t^4\ \ 122t^5+413t^6}{9(\ 1+t)^5(1+t)^3}:$$

Die Integration bezuglich t mit der Formel 3.130 liefert

$$F_{nd} = 0{:}0400223 + \frac{2}{9}^2: \tag{4.127}$$

4.2.4 Korrekturen zum Strom

Der nichtrelativistische Quadrupol F_{nq}

Im nichtrelativistischen Quadrupol werden diejenigen Korrekturen zum Strom zusammengefat, die sich aus den

$$y^j_{1;FW} = \frac{p^j}{m}(i\tilde{k}\ \ r) + :::$$

und

$$y^j_{2;FW} = \ \frac{1}{2}\frac{p^i}{m}(\tilde{k}\ \ \tilde{r}^2) + :::$$

ergeben. Die Rechnung erfolgt im Impulsraum (eine vergleichbare Rechnung im Impulsraum fur S-Zustande ndet sich zum Beispiel in [19], und die Rechnung wird daher hier nicht naher beschrieben). Das Ergebnis fur $P_{nq}(t)$ lautet:

$$P_{nq}(t) = \frac{64\ \ ^2F(t)t^5\ \ 25\ \ 106t^2+29t^4}{45(1\ \ t)^5(1+t)^5} + \tag{4.128}$$

$$^2\ \ 15\ \ 30t\ \ 58t^2+146t^3+812t^4+4630t^5\ \ 15174t^6$$

$$1418t^7+4421t^8\ \ \ 360(\ 1+t)^5(1+t)^3\ :$$

Nach der Integration bezuglich t ergibt sich folgender Ausdruck fur F_{nq}:

$$F_{nq} = \quad 1{:}20115\ ^2 \quad \frac{49\ ^2 \ln(\ )}{45} + \frac{49\ ^2 \ln(\ )}{90}: \tag{4.129}$$

Korrektur aufgrund des $p^i p^2$-Terms

Die $p^i p^2$-Korrektur kommt aufgrund des entsprechenden Terms (siehe Gl. 3.68),

$$y^j_{0;FW} = \quad \frac{1}{2m^3} p^j p^2 + :::;$$

der bei der FW-Transformation der reinen ^{i}-Matrix entsteht, zustande. Der Ausdruck fur den P-Term lautet:

$$P_{p^i p^2} = 2 \quad \frac{m}{2}\ ^{T;ij} h\ j \quad \frac{1}{2m^3} p^i p^2 \quad \frac{1}{H_S \quad (E_S \quad !)m} p^j\ j\ i \tag{4.130}$$

$$= \quad \frac{2}{3m^3} h\ j \quad \frac{1}{2} p^i p^2 \quad \frac{1}{H_S \quad (E_S \quad !)} p^i\ j\ i:$$

Die Rechnung erfolgt im Ortsraum. Das Ergebnis fur $P_{p^i p^2}(t)$ lautet:

$$P_{p^i p^2}(t) = \quad \frac{64\ ^2 F_2(t) t^5}{9(\ 1+t)^3 (1+t)^3} \tag{4.131}$$

$$+ \frac{64\ ^2 F(t) t^5 \quad 1 \quad 11t + 36t^4}{9(1 \quad t)^5 (1+t)^5}$$

$$+ \frac{^2 t^2 \quad 7 \quad 14t \quad 23t^2 \quad 68t^3 \quad 103t^4 \quad 302t^5 + 1271t^6}{18(\ 1+t)^5 (1+t)^3}$$

Fur den F-Faktor wird schlie lich erhalten:

$$F_{p^i p^2} = 0{:}618148\ ^2 + \frac{4\ ^2 \ln(\ )}{9} \quad \frac{2\ ^2 \ln(\ )}{9} \tag{4.132}$$

Korrektur aufgrund des $r\ \sim$-Terms

Diese Korrektur kommt durch den Term

$$y^j_{0;FW} = \quad \frac{1}{2m^2 r^3}\ r\ \sim^j + :::;$$

welcher bei der FW-Transformation der reinen ^{i}-Matrix entsteht, zustande. Es ist das Matrix-Element

$$P_r \quad = 2 \quad \frac{m}{2}\ ^{T;ij} h\ j \quad \frac{1}{2m^2 r^3} \quad r\ \sim^i \quad \frac{1}{H_S \quad (E_S \quad !)m} p^j\ j\ i \tag{4.133}$$

$$= \quad \frac{2}{3m^2} h\ j \quad \frac{1}{2r^3} \quad r\ \sim^i \quad \frac{1}{H_S \quad (E_S \quad !)} p^i\ j\ i$$

auszuwerten. Mit einer Rechnung im Ortsraum erhalt man fur $P_r(t)$:

$$P_r \quad = \quad \frac{64\ ^2 F(t) t^5 \quad 1+5t^2}{9(\ 1+t)^4 (1+t)^4} + \tag{4.134}$$

$$\frac{2\ ^2 t^2 \quad 1+2t+14t^3 \quad 47t^4}{9(\ 1+t)^4 (1+t)^2}:$$

Das Ergebnis fur den F-Faktor lautet:

$$F_r \quad = 0{:}346690\ ^2: \tag{4.135}$$

Korrektur aufgrund des $\tilde{k}\cdot r$-Terms

Dieser Beitrag wiederum kommt durch den Term

$$y^{j}_{1;FW} = \frac{1}{2m}(\tilde{k}\cdot r)\tilde{k}\cdot\sim^{j} + :::;$$

welcher bei der FW-Transformation des Ausdrucks $^{i}(i\tilde{k}\cdot r)^{2}$-Matrix entsteht, zustande. Es ist das Matrix-Element

$$P_{k\cdot r} = 2\left(\frac{m}{2}\right)^{T;ij}\langle j\ \frac{1}{2m}(\tilde{k}\cdot r)\tilde{k}\cdot\sim^{i}\ \frac{1}{H_S-(E_S-!)}\frac{p^{j}}{m}j\ i\rangle$$

$$= \frac{2}{3m}\langle j\ \frac{1}{2}(\tilde{k}\cdot r)\tilde{k}\cdot\sim^{i}\ \frac{1}{H_S-(E_S-!)}p^{i}j\ i\rangle \qquad (4.136)$$

auszuwerten. Eine langere Rechnung ergibt, da dieser Beitrag gerade dem $\frac{1}{2}$-fachen von $F_r(t)$ entspricht. Daher gilt

$$F_{k\cdot r} = 0:173345\ ^{2}: \qquad (4.137)$$

4.2.5 Korrektur zur Energie

Bei der Korrektur zur Energie ist lediglich ein Matrix-Element zu berechnen,

$$P_E = \frac{1}{3m}\langle p^{i}\frac{1}{H_S-(E_S-!)}\ E\ \frac{1}{H_S-(E_S-!)}p^{i}j\ i\rangle \qquad (4.138)$$

Fur den $2P_{1=2}$-Zustand ist

$$E = \frac{5}{128}\ ^{4}m: \qquad (4.139)$$

Fur die Berechnung konnen wir die folgende Beziehung ausnutzen:

$$\frac{1}{H_S-(E_S-!)}^{2} = \frac{@}{@!}\frac{1}{H_S-(E_S-!)} \qquad (4.140)$$

Mit der Beobachtung, da sich der Selbstenergie-Beitrag E_L aus dem P-Term durch Integration gem a Gl. 3.124

$$E_L = \frac{2}{m}\int_0 d!\ !P(!)$$

und der Beobachtung, da der F-Term direkt proportional zu E_L ist, la t sich somit der F-Term vermittels einer partiellen Integration berechnen. Es entsteht ein Randterm und ein weiterer Term, der mit den ublichen Methoden im Ortsraum berechnet wird. Das Endergebnis fur den F-Faktor lautet:

$$F = 0:0400946\ ^{2}\ \frac{5\ ^{2}\ln(\ )}{48} + \frac{5\ ^{2}\ln(\ )}{96}: \qquad (4.141)$$

4.2.6 Korrektur zur Wellenfunktion

Der Beitrag aufgrund der relativistischen Korrektur zur Wellenfunktion ist gem a Gl. 3.123 gegeben durch

$$P\ = \frac{2}{3m}\langle p^{i}\frac{1}{H_S-(E_S-!)}p^{i}j\ i\rangle: \qquad (4.142)$$

Es ist die Dierentialgleichung 3.53,

$$(H-\langle j\,H\,j\,i\rangle)j\ i\rangle = (E_S-H_S)j\ i\rangle;$$

zu losen. Deren Losung ist durch die zusatzlichen Bedingung

$$\langle j\ i\rangle \stackrel{!}{=} 0$$

eindeutig bestimmt. Wir erhalten folgenden Ausdruck für j_i:

$$\begin{aligned}(r) &= \frac{53\ ^{\frac{9}{2}} m^{\frac{5}{2}} r}{96\sqrt{6}} \exp\left(-\frac{m r}{2}\right) \quad \frac{^{\frac{9}{2}} m^{\frac{5}{2}} r}{4\sqrt{6}} \exp\left(-\frac{m r}{2}\right) \\ &\quad \frac{^{\frac{7}{2}} m^{\frac{3}{2}}}{2\sqrt{6}} \exp\left(-\frac{m r}{2}\right) + \frac{^{\frac{11}{2}} m^{\frac{7}{2}} r^2}{32\sqrt{6}} \exp\left(-\frac{m r}{2}\right) \\ &\quad \frac{^{\frac{9}{2}} m^{\frac{5}{2}} r \ln(m r)}{4\sqrt{6}} \exp\left(-\frac{m r}{2}\right) \\ &= {}_1 + {}_2 + {}_3 + {}_4 + {}_5 : \end{aligned} \tag{4.143}$$

Um die Rechnung bei der praktischen Ausführung übersichtlich zu halten, behandeln wir P für jeden der 5 Anteile von j_i getrennt. Es entstehen also 5 einzelne Terme, $P_{;1}$ bis $P_{;5}$.

$F_{;1}$ bis $P_{;4}$ können im Ortsraum berechnet werden. Die jeweiligen P-Terme enthalten die Funktionen $F_1(t)$ und $F_2(t)$ und sind in ihrer Struktur den bereits aufgelisteten Ergebnissen für die vorherigen Terme ähnlich. Daher verzichten wir hier auf eine Darstellung dieser Ergebnisse und gehen gleich zu den F-Faktoren über. Es gilt:

$$F_{;1} = 0{:}0883825\ ^2 \tag{4.144}$$

$$F_{;2} = 0{:}0231015\ ^2 \tag{4.145}$$

$$F_{;3} = 0{:}608142\ ^2 \quad \frac{4\ ^2 \ln(\ )}{9} + \frac{2\ ^2 \ln(\ )}{9} \tag{4.146}$$

$$F_{;4} = 0{:}0261919\ ^2 \quad \frac{^2 \ln(\ )}{18} + \frac{^2 \ln(\ )}{36} \tag{4.147}$$

Aufgrund des Logarithmus im letzten Term, der zu j_i beiträgt, wird die Rechnung für diesen Term sehr viel komplexer. Es müssen andere Summenformeln für die Summation über k bemüht werden, und bereits das Ergebnis für den P-Term wird um einiges länger:

$$\begin{aligned} P_{;5} &= \frac{512\ ^2 \tilde{F}_{122}(t) t^6}{27(\ 1+t)^2 (1+t)^6} + \\ &\quad \frac{4096\ ^2 \tilde{F}_{366}(t) (1\ \ 2t)(\ 1+t) t^6 (1+2t)}{27(1+t)^{11}} + \\ &\quad \frac{16\ ^2 F_2(t) t^5}{3(1\ \ t)^3 (1+t)^3} + \\ &\quad \frac{2\ ^2\ t^2\ \ 3+6t+3t^2\ \ 12t^3\ \ 29t^4\ \ 122t^5+413t^6}{9(\ 1+t)^5 (1+t)^3} + \\ &\quad \frac{^2 t^2 p(t)}{810(2\ \ t)(\ 1+t)^5 (1+t)^{13}} + \\ &\quad \frac{128\ ^2 t^7\ \ 3+2t+9t^2\ \ \ln\left(\frac{2t}{1+t}\right)}{9(1\ \ t)^5 (1+t)^4} + \frac{16\ ^2 F_1(t) t^5 q(t)}{405(\ 1+t)^5 (1+t)^5} : \end{aligned} \tag{4.148}$$

Die Funktionen p(t) und q(t) sind gegeben durch

$$p(t) = 1710 + 12825t + 34920t^2 + 25920t^3 - 38160t^4 + 391876t^5 \quad (4.149)$$
$$+ 2892232t^6 + 6664816t^7 + 4416444t^8 - 15374274t^9 - 44242888t^{10}$$
$$- 51115488t^{11} - 37744768t^{12} - 6464172t^{13} + 4472472t^{14}$$
$$+ 4920240t^{15} + 1591846t^{16} + 186385t^{17}$$

sowie

$$q(t) = 135 - 7594t^2 + 2160t^2 + 23251t^4 - 7920t^4 \quad (4.150)$$
$$- 2160t^2 \ln(\frac{2t}{1+t}) + 7920t^4 \ln(\frac{2t}{1+t}):$$

Diejenigen Terme, welche die speziellen Funktionen $\tilde{F}_{122}(t)$ und $\tilde{F}_{366}(t)$ nicht enthalten, konnen mit den ublichen Methoden nach t integriert werden. Die restlichen Terme, welche die speziellen Funktionen enthalten, werden als numerischer Anteil $N_{;5}$ zusammengefat und spater mit anderen numerischen Termen gemeinsam ausgewertet (siehe Abschnitt 4.2.8). Da es sich dabei um eine einfache numerische Integration handelt, kann das Ergebnis mit hoher Genauigkeit angegeben werden. Als Endergebnis fur $F_{;5}$ erhalten wir:

$$F_{;5} = 0:182817\ ^2 - \frac{2\ ^2 \ln(\ )}{9} + \frac{^2 \ln(\ )}{9} + N_{;5}: \quad (4.151)$$

Zahlt man alle Einzelbeitrage zu F zusammen, so wird

$$F = 0:751870\ ^2 - \frac{13\ ^2 \ln(\ )}{18} + \frac{13\ ^2 \ln(\ )}{36} + N_{;5}: \quad (4.152)$$

4.2.7 Korrekturen zum Hamiltonian

Aufgrund der Form der relativistischen Korrektur zum Hamiltonian,

$$H = -\frac{(p^2)^2}{8m^3} + \frac{}{2m^2}(r) + \frac{}{4m^2r^3}\tilde{L}$$

konnen wir den Beitrag aufgrund von H (siehe Gl. 3.122),

$$P_H = \frac{1}{3m}\langle p^i | p^i \frac{1}{H_S - (E_S - !)} H \frac{1}{H_S - (E_S - !)} p^i | i \rangle \quad (4.153)$$

aufspalten in einen P, P_{p^4} und $P_{L\ S}$-Term, wobei die Namen den charakteristischen Elementen in den den 3 Summanden in H entsprechen, das heit, es gilt:

$$P = \frac{1}{3m}\langle p^i | p^i \frac{1}{H_S - (E_S - !)} \frac{}{2m^2}(r) \frac{1}{H_S - (E_S - !)} p^i | i \rangle \quad (4.154)$$

$$P_{p^4} = \frac{1}{3m}\langle p^i | p^i \frac{1}{H_S - (E_S - !)} \left(-\frac{(p^2)^2}{8m^3}\right)^{!} \frac{1}{H_S - (E_S - !)} p^i | i \rangle \quad (4.155)$$

$$P_{L\ S} = \frac{1}{3m}\langle p^i | p^i \frac{1}{H_S - (E_S - !)} \frac{}{4m^2r^3}\tilde{L} \frac{1}{H_S - (E_S - !)} p^i | i \rangle \quad (4.156)$$

Die Rechnungen zu diesen 3 Beitragen werden durch die Anwesenheit von 2 Propagatoren in den Matrix-Elementen erheblich erschwert. Fur P nutzt man die Eigenschaft der -Distribution aus und geht zur Darstellung des Schrodinger-Coulomb-Propagators vermittels der Whittaker-Funktionen uber. Fur P_{p^4} und $P_{L\ S}$ benutzt man folgenden Trick: Man schreibt die Operatoren in den Beitragen zu H als Kommutatoren anderer Operatoren mit $H_S - (E_S - !)$. Dadurch kurzt sich einer der Propagatoren heraus.

Beitrag aufgrund des (r)-Terms in H

Das Matrix-Element

$$P = \frac{1}{3m}\langle p^i | \frac{1}{H_S - (E_S - i\eta)} \frac{}{2m^2}(r) \frac{1}{H_S - (E_S - i\eta)} p^i | i\rangle \tag{4.157}$$

wird im Ortsraum unter Verwendung der Darstellung des Schrodinger-Coulomb-Propagators mit Whittaker-Funktionen berechnet. Das Ergebnis in Termen von t ist:

$$P(t) = \frac{{}^2 t^4 \quad 3 + 4t \quad 8E_2(t)t + 7t^2}{27(-1+t)^4(1+t)^4}{}^2 \tag{4.158}$$

Nach der Integration bezuglich t ergibt sich als Endergebnis fur F

$$F = 0{:}00165032\,{}^2 \quad \frac{{}^2 \ln(\,)}{6} + \frac{{}^2 \ln(\,)}{12} \tag{4.159}$$

Beitrag aufgrund des p^4-Terms in H

Dieser Beitrag

$$P_{p^4} = \frac{1}{3m}\langle p^i | \frac{1}{H_S - (E_S - i\eta)} \quad \frac{(p^2)^2}{8m^3} \quad \frac{1}{H_S - (E_S - i\eta)} p^i | i\rangle$$

oder

$$P_{p^4} = \frac{1}{24m^4}\langle p^i | \frac{1}{H_S - (E_S - i\eta)} \; p^2{}^2 \; \frac{1}{H_S - (E_S - i\eta)} p^i | i\rangle$$

wird unter Zuhilfenahme der zunachst trivialen Beziehung

$$p^2 = 2m\,((H_S - (E_S - i\eta)) - V + (E_S - i\eta)))$$

berechnet. Diese Beziehung ergibt quadriert:

$$p^2{}^2 = 4m^2((H_S - (E_S - i\eta))^2 + 2(E_S - i\eta)(H_S - (E_S - i\eta)) \tag{4.160}$$

$$V(H_S - (E_S - i\eta)) \quad (H_S - (E_S - i\eta))V + ((E_S - i\eta) \quad V)^2).$$

Setzt man diesen Ausdruck fur p^4 in das Matrix-Element ein, so ergeben sich auf naturliche Weise 3 Terme, die zum ^{0}-Koeffizienten beitragen (der durch $(H_S - (E_S - i\eta))^2$ erzeugte Beitrag ist zu vernachlassigen, da er als Integral $\int_0^R d\omega\, \omega P(\omega) \to 0$ geht fur $\to 0$). Man erhalt

1. durch den Term $2(E_S - i\eta)(H_S - (E_S - i\eta))$

$$P_{p^4;1} = \frac{1}{6m^2} 2(E_S - i\eta)\langle p^i | \frac{1}{H_S - (E_S - i\eta)} p^i | i\rangle; \tag{4.161}$$

2. durch den Term $V(H_S - (E_S - i\eta)) + (H_S - (E_S - i\eta))V$

$$P_{p^4;2} = -2\frac{1}{6m^2}\langle p^i | \frac{1}{H_S - (E_S - i\eta)} V p^i | i\rangle; \tag{4.162}$$

3. durch den Term $((E_S - i\eta) \quad V)^2$

$$P_{p^4;3} = -2\frac{1}{6m^2}\langle p^i | \frac{1}{H_S - (E_S - i\eta)}((E_S - i\eta) \quad V)^2 \frac{1}{H_S - (E_S - i\eta)} p^i | i\rangle: \tag{4.163}$$

Der Term $P_{p^4;3}$ mu nun noch weiter behandelt werden. Fur die zwei Propagatoren gilt, da $((E_S \quad !) \quad V)^2$ ein Ausdruck der Ordnung ^{4} ist, in erster Naherung

$$\frac{1}{H_S \quad (E_S \quad !)}((E_S \quad !) \quad V)^2 \frac{1}{H_S \quad (E_S \quad !)} = \tag{4.164}$$

$$= \frac{1}{H_S \quad (E_S \quad !) \quad ((E_S \quad !) \quad V)^2} \quad \frac{1}{H_S \quad (E_S \quad !)}$$

Wenn wir die temporare Abkurzung $= E_S \quad !$ einfuhren, so entspricht die Ersetzung

$$H_S(l; \ ) \quad = H_S \quad (E_S \quad !) \tag{4.165}$$

$$! \ H_S \quad (E_S \quad !) \quad ((E_S \quad !) \quad V)^2 = H_S(l^0; \ ^0) \quad ^0$$

im Schrodinger-Hamiltonian und damit im Schrodinger-Coulomb-Propagator einer Verschiebung der Energie um $! \quad ^0$, der Drehimpuls-Quantenzahlen $l ! l^0$ und des $! \ ^0$ im Potential. Damit konnen alle diese Korrekturen storungstheoretisch behandelt werden, und es ergeben sich drei Beitrage $P_{p^4;3a}$, $P_{p^4;3b}$ und $P_{p^4;3c}$, die respektive $! \ ^0$, $! \ ^0$ und $l ! l^0$ entsprechen.

Die Beitrage $P_{p^4;1}$ und $P_{p^4;2}$ enthalten nur einen Propagator und sind von ihrer Struktur her einfach. Wir nehmen daher gleich das Endergebnis fur die F-Faktoren vorweg:

$$F_{p^4;1} \quad = \quad 0{:}302463 \ ^2 \quad \frac{4 \ ^2 \ln(\ )}{9} + \frac{2 \ ^2 \ln(\ )}{9}; \tag{4.166}$$

$$F_{p^4;2} \quad = \quad 0{:}00661108 \ ^2 + \frac{2 \ ^2 \ln(\ )}{9} \quad \frac{^2 \ln(\ )}{9}: \tag{4.167}$$

Im Matrix-Element $P_{p^4;3a}$ sind zwei Propagatoren vorhanden, der zwischen den Propagatoren stehende Ausdruck ist jedoch nur eine skalare Gro e (eine Zahl) und kommutiert mit den Propagatoren. Daher konnen wir diesen Beitrag nach dem Muster von P_E berechnen (partielle Integration, Randterm, dann Integration des verbleibenden Beitrags). Das Ergebnis ist:

$$F_{p^4;3a} = 0{:}559288 \ ^2 + \frac{11 \ ^2 \ln(\ )}{16} \quad \frac{11 \ ^2 \ln(\ )}{32} \tag{4.168}$$

Schwieriger wird die Auswertung der verbleibenden Terme $P_{p^4;3b}$ und $P_{p^4;3c}$. Zunachst zu $P_{p^4;3b}$. Bei der Summation bezuglich k treten Terme auf, die der Lerchschen Funktion entsprechen. Das Ergebnis fur $P_{p^4;3b}$ ist:

$$P_{p^4;3b} \quad = \quad \frac{128 \ ^2 \ \tilde{}(s^2;2; \quad 2t)t^7 \quad 3 + 11t^2}{9(1 \quad t)^5(1+t)^5} \tag{4.169}$$

$$+ \frac{32 \ ^2 F(t)t^5 \quad 5 \quad 46t^2 + 57t^4}{9(\ 1+t)^6(1+t)^6} +$$

$$+ \frac{^2 t^2 \quad 5 + 10t \quad 11t^2 \quad 52t^3 + 453t^4 + 170t^5 \quad 821t^6}{18(\ 1+t)^6(1+t)^4}:$$

Die Integration bezuglich t liefert fur $P_{p^4;3b}$:

$$F_{p^4;3b} = \quad 0{:}0376386 \ ^2 \quad \frac{7 \ ^2 \ln(\ )}{12} + \frac{7 \ ^2 \ln(\ )}{24} \tag{4.170}$$

Den verbleibenden Term $P_{p^4;3c}$ berechnet man mit Hilfe einer Variation des -Faktors im Schrodinger-Coulomb-Propagator. Das Ergebnis fur den P-Term ist recht komplex, in seiner Struktur jedoch dem

Resultat fur $P_{;5}$ ahnlich und kann hier in verkurzter Form angegeben werden.

$$P_{p^4;3c} = \frac{1024\ ^2\tilde{F}_{122}(t)\,t^6}{27(\ 1+t)^2(1+t)^6} \tag{4.171}$$

$$+\frac{8192\ ^2\tilde{F}_{366}(t)\,(\ 1+t)\,t^6\,(\ 1+2t)\,(1+2t)}{135\,(1+t)^{11}}$$

$$+\frac{512\ ^2\tilde{}_{21}(t)\,t^6}{27(\ 1+t)^2(1+t)^6}$$

$$\frac{4096\ ^2\tilde{}_{23}(t)\,(\ 1+t)\,t^6\,(\ 1+2t)\,(1+2t)}{135\,(1+t)^{11}}$$

$$+\frac{1024\ ^2\tilde{}_{21}(t)\,t^6}{27(\ 1+t)^2(1+t)^6}$$

$$+\frac{8192\ ^2\tilde{}_{63}(t)\,(1\quad 2t)\,(\ 1+t)\,t^6\,(1+2t)}{135\,(1+t)^{11}}$$

$$+f(\ ;F_2(t);F(t);\ln(t));$$

wobei $f(\ F_2(t);F(t);\ln(t))$ eine Funktion der aufgefuhrten Gro en ist, deren Struktur den ensprechenden Termen aus $P_{;5}$ ahnelt und die aufgrund ihrer Lange hier nicht weiter aufgefuhrt wird. Wichtig ist, da im Ergebnis einige spezielle Funktionen enthalten sind, die einer getrennten numerischen Auswertung zugefuhrt werden (siehe Abschnitt 4.2.8).

Als Ergebnis fur $F_{p^4;3c}$ erhalten wir

$$F_{p^4;3c} = 0{:}0895706\ ^2 + \frac{5\ ^2\ln(\ )}{9}\quad\frac{5\ ^2\ln(\ )}{18} + N_{p^4;3c}: \tag{4.172}$$

mit $N_{p^4;3c}$ als dem noch auszuwertenden numerischen Anteil, der die speziellen Funktionen enthalt. Somit ergibt sich als Endergebnis fur F_{p^4}

$$F_{p^4} = 0{:}302146\ ^2 + \frac{7\ ^2\ln(\ )}{16}\quad\frac{7\ ^2\ln(\ )}{32} + N_{p^4;3c}: \tag{4.173}$$

Beitrag aufgrund des $\tilde{L}\ S$-Terms in H

Der Beitrag

$$P_{L\ S} = \frac{1}{3m}h\ jp^i\frac{1}{H_S\quad(E_S\quad!)}\ \frac{}{4m^2r^3}\sim\ \tilde{L}\ \frac{1}{H_S\quad(E_S\quad!)}p^ij\ i \tag{4.174}$$

wird mit der Definition

$$D_r = \frac{1}{r}\frac{@}{@r}r \tag{4.175}$$

unter Ausnutzung der Kommutatorbeziehung

$$[H\ ;D_r] = \frac{\tilde{L}^2}{m\,r^3}\quad\frac{}{r^2} \tag{4.176}$$

berechnet. Mit dieser Kommutatorbeziehung ergeben sich drei Beitrage,

$$P_{L\ S;1} = \frac{}{72m^2}h\ jp^iD_r\frac{1}{H_S\quad(E_S\quad!)}\ \sim\ \tilde{L}\ \ p^ij\ i \tag{4.177}$$

sowie

$$P_{L\ s;2} = \frac{}{72m^2} h\ j p^i \frac{1}{H_S\ (E_S\ !)} D_r \sim \tilde{L}\ p^i j\ i \tag{4.178}$$

und

$$P_{L\ s;3} = \frac{1}{72m} h\ j p^i \frac{1}{H_S\ (E_S\ !)} \frac{1}{m} V^2 \frac{1}{H_S\ (E_S\ !)} p^i j\ i: \tag{4.179}$$

Aufgrund der Anti-Hermitezitat von D_r folgt, da $P_{L\ s;1}$ und $P_{L\ s;2}$ gleich sind, und man erhalt als Ergebnis fur den $P_{L\ s;1}$-Term:

$$P_{L\ s;1} = \frac{8\ ^2 F_2(t)\, t^5}{9\,(\ 1+t)^3\,(1+t)^3} \tag{4.180}$$

$$+ \frac{8\ ^2 F(t)\, t^5\ \ 3\ \ 74t^2 + 167t^4}{27\,(1\ \ t)^5\,(1+t)^5}$$

$$+ \frac{^2 t^4\ \ 1+2t\ \ 88t^2\ \ 98t^3 + 377t^4}{27\,(\ 1+t)^5\,(1+t)^3}:$$

Nach Integration bezuglich t erhalt man den F-Faktor

$$F_{L\ s;1} = F_{L\ s;2} = 0{:}0103947\ ^2 + \frac{^2 \ln(\ )}{54}\ \ \frac{^2 \ln(\ )}{108}: \tag{4.181}$$

Den verbleibenden $F_{L\ s}$-Term rechnet man mit einer Variation des Drehimpulses im Schrodinger-Hamiltonian (wie bei $P_{p^4;3c}$) und erhalt wieder ein recht komplexes Ergebnis, das sehr verkurzt folgendermaen lautet:

$$P_{L\ s;3} = \frac{2048\ ^2 \tilde{}_{63}(t)\ (1\ \ 2t)\ (\ 1+t)^6 t\ (1+2t)}{135\,(1+t)^{11}} \tag{4.182}$$

$$+ \frac{2048\ ^2 \tilde{F}_{366}(t)\ (\ 1+t)^6 t\ (\ 1+2t)\ (1+2t)}{135\,(1+t)^{11}}$$

$$+ \frac{1024\ ^2 \tilde{}_{23}(t)\ (\ 1+t)^6 t\ (\ 1+2t)\ (1+2t)}{135\,(1+t)^{11}}$$

$$+ f(\ ;F_2(t);F(t);\ln(t)):$$

Daraus ist ersichtlich, da auch $P_{L\ s;3}$ wieder einen Beitrag zum numerischen Anteil beisteuert. Fur $F_{L\ s;3}$ erhalten wir

$$F_{L\ s;3} = 0{:}0018158\ ^2 + \frac{^2 \ln(\ )}{54}\ \ \frac{^2 \ln(\ )}{108} + N_{L\ s;3}: \tag{4.183}$$

Als Ergebnis fur $F_{L\ s}$ (Summe von $F_{L\ s;1}$, $F_{L\ s;2}$ und $F_{L\ s;3}$) erhalten wir

$$F_{L\ s} = 0{:}0189735\ ^2 + \frac{^2 \ln(\ )}{18}\ \ \frac{^2 \ln(\ )}{36} + N_{L\ s;3}: \tag{4.184}$$

4.2.8 Der numerisch auszuwertende Anteil

Der verbleibende numerische Anteil aus $N_{;5}$, $N_{L\ S;3}$ und $N_{p^4;3c}$ ergibt sich zu

$$N = N_{;5} + N_{L\ S;3} + N_{p^4;3c} \tag{4.185}$$

$$= \int_0^1 dt\ \frac{512\ ^2\tilde{}_{21}(t)\,t}{27\ (1\ \ t)\ (1+t)^5} + \frac{256\ ^2\tilde{F}_{122}(t)\,t}{27\ (\ 1+t)\ (1+t)^5}$$

$$\frac{256\ ^2\tilde{}_{21}(t)\,t}{27\ (\ 1+t)\ (1+t)^5} + \frac{1024\ ^2\tilde{F}_{366}(t)\ (1\ \ 2t)\ (\ 1+t^2)\,t\,(1+2t)}{27\,(1+t)^{10}}$$

$$+\frac{1024\ ^2\tilde{}_{63}(t)\ (1\ \ 2t)\ (\ 1+t^2)\,t\,(1+2t)}{27\,(1+t)^{10}}$$

$$+\frac{512\ ^2\tilde{}_{23}(t)\ (\ 1+t^2\,t\ (\ 1+2t)\ (1+2t)}{27\,(1+t)^{10}}\ :$$

Die numerische Integration wird mit der Gaussschen Quadratur ausgefuhrt. Dabei erweist es sich als sehr hilfreich, da der Integrand fur $t \to 0$ und $t \to 1$ verschwindet. Dies wurde durch das Herausnehmen der $k = 0$– und $k = 1$–Terme in den speziellen Funktionen erreicht. Das Endergebnis fur N lautet:

$$N = 0{:}0030113\ ^2: \tag{4.186}$$

4.2.9 Ergebnis des Niedrigenergie–Anteils

In allen Teilergebnissen zum Niedrigenergie–Anteil hatten wir der Einfachheit halber Z durch $$ ersetzt. Wenn wir nun alle Teilergebisse aufaddieren und im Endergebnis $$ durch Z ersetzen, so ergibt sich:

$$F_L = F_{nd} + F_{nq} + F_{p^ip^2} + F_r\ + F_{k\ r} \tag{4.187}$$

$$+F_{\ E} + F\ \ + F\ \ + F_{p^4} + F_{L\ S} + N$$

$$= 0{:}0400223\,(1)\ \ 0{:}79565\,(1)\ (Z\ \ )^2 + \frac{103}{180}\,(Z\ \ )^2\,\ln((Z\ \ )^{\ 2})$$

$$+\frac{2\,(Z\ \ )^2}{9} + \frac{103}{180}\,(Z\ \ )^2\,\ln(\ ):$$

Der A_{61}–Koe zient des $\ln((Z\ \ )^{\ 2})$–Terms stimmt gerade mit dem bekannten Ergebnis von $103/180$ uberein [6]. Wir erinnern uns an das Ergebnis (4.73) fur den Hochenergie{Anteil

$$F_H\ (2P_{1=2}) = \ \frac{1}{6} + (Z\ \ )^2\ \ \frac{4177}{21600}\ \ \frac{103}{180}\ln(2)\ \ \frac{103}{180}\ln(\ )\ \ \frac{2}{9}$$

und geben noch einmal die Formel fur den Niedrigenergie{Anteil an,

$$F_L\,(2P_{1=2}) = 0{:}0400223\,(1)\ \ 0{:}79565\,(1)\ (Z\ \ )^2 + \frac{103}{180}\,(Z\ \ )^2\,\ln((Z\ \ )^{\ 2})$$

$$+\frac{2\,(Z\ \ )^2}{9} + \frac{103}{180}\,(Z\ \ )^2\,\ln(\ ):$$

In der Summe heben sich die Divergenzen in $$ heraus, und wir erhalten als Summe der Hoch– und Niedrigenergie–Anteile

$$F\,(2P_{1=2}) = \ 0{:}126644\,(1) + (Z\ \ )^2\ \ 0{:}99891\,(1) + \frac{103}{180}\,\ln\ (Z\ \ )^{\ 2}\ : \tag{4.188}$$

Die Koeffizienten sind somit bestimmt zu

$$A_{40} = A_{40}(2P_{1/2}) = \frac{1}{6} - \frac{4}{3}\ln k_0(2P) = -0.126644(1); \tag{4.189}$$

$$A_{60} = -0.99891(1);$$

$$A_{61} = \frac{103}{180}.$$

Die Werte für A_{40} und A_{61} stimmen mit den bekannten Resultaten überein (siehe [6]). Der Wert des Bethe-Logarithmus $\ln k_0$ für 2P-Zustände ist $\ln k_0(2P) = -0.0300167089(3)$.

Die numerischen Integrationen erfolgen jeweils mit einer Unsicherheit von 1 in der letzten Dezimalstelle (d.h. in der 6. Nachkommastelle). Im ganzen werden 10 numerische Integrationen ausgeführt. Wir geben daher die Genauigkeit des A_{60}-Koeffizienten mit $A_{60} = -0.99891(1)$ an (d.h. mit einer Unsicherheit von 1 in der 5. Nachkommastelle).

Anmerkung: Es wird vermutet, daß die Integration sehr viel besser konvergiert als hier angegeben. Zum Beispiel wurden bei der Integration des nichtrelativistischen Dipol-Anteils alle 9 bekannten Nachkommastellen des Bethe-Logarithmus in Übereinstimmung mit dem bekannten Resultat erhalten. Da aber beim A_{60}-Koeffizienten die 5. Nachkommastelle bereits einer Genauigkeit von unter 1 Hz entspricht, geben wir uns mit einer sehr vorsichtigen Abschätzung zufrieden.

Kapitel 5

Die Selbstenergie des 2P-Zustands (j= 3/2) zur sechsten Ordnung in Z_alpha

5.1 Der Hoch- und Niedrigenergie-Anteil

Die Rechnungen des vorangegangenen Kapitels konnen fur das $2P_{3=2}$-Niveau in ahnlicher Weise wiederholt werden. Fur den Hochenergie-Anteil wird erhalten

$$F_H(2P_{3=2}) = \frac{1}{12} + (Z\ )^2\ \frac{6577}{21600}\ \ \frac{29}{90}\ln(2)\ \ \frac{29}{90}\ln(\ )\ \ \frac{2}{9}\ : \tag{5.1}$$

Weil beim $2P_{3=2}$-Niveau der Spin des Elektrons mit seinem Bahndrehimpuls zum Gesamtdrehimpuls $j = 3=2$ koppelt, andern sich die Beitrage $F_{L\ S}$, F_r und $F_{k\ r}$. Weil die relativistische Korrektur zur Energie fur $2P_{3=2}$ anders ist als fur $2P_{1=2}$, andert sich F_{E}. Da der relativistische Hamiltonian H die $\tilde{L}$-Kopplung enthalt, andert sich auch die relativistische Korrektur zur Wellenfunktion . Damit erhalt auch F einen anderen Wert. Die anderen Beitrage andern sich nicht.

Es soll hier nicht auf die Rechnungen eingegangen werden. Im wesentlichen wird dem bereits besprochenen $2P_{1=2}$-Zustand gefolgt. Der Niedrigenergie-Anteil ergibt sich zu

$$F_L(2P_{3=2}) = \ \frac{4}{3}\ln k_0 + (Z\ )^2\ \ \ 0{:}58451(1) + \frac{29}{90}\ln\ (Z\ )^{\ 2} + \frac{29}{90}\ln(\ ) + \frac{2}{9}\ : \tag{5.2}$$

5.2 Endergebnis fur den 2P-Zustand (j= 3/2)

In der Addition der Hoch- und Niedrigenergie-Anteile heben sich die $1=\ -$ und $\ln(\ )$-Divergenzen gerade heraus, und wir erhalten als Ergebnis fur F

$$F(2P_{3=2}) = 0{:}123356(1) + (Z\ )^2\ \ \ 0{:}50337(1) + \frac{29}{90}\ln\ (Z\ )^{\ 2}\ : \tag{5.3}$$

mit $A_{40} = 0{:}123356(1) = 1=12\ \ 4=3\ln k_0(2P\ )$ ($\ln k_0$ ist der Bethe-Logarithmus). Durch die Rechnung ist der A_{60}-Koe zient bestimmt zu

$$A_{60}(2P_{3=2}) = \ \ 0{:}50337(1): \tag{5.4}$$

Kapitel 6

Ergebnisse und Diskussion

6.1 Zusammenfassung der Ergebnisse

Es wurde in dieser Arbeit die fw-Methode entwickelt, welche zur Berechnung der (Ein-Schleifen-) Selbstenergie eines gebundenen Elektrons in hoherer Ordnung dient. Diese Methode wurde auf die $2P_{1=2}$- und $2P_{3=2}$-Zustande angewandt.

Fur die F-Faktoren der Selbstenergie (zur Definition von F siehe Kapitel 1.3) erhalten wir

$$F(2P_{1=2}) = \frac{1}{6}\left(\frac{4}{3}\ln k_0(2P) + (Z\alpha)^2\right)\left(0{:}99891(1) + \frac{103}{180}\ln(Z\alpha)^2\right) \tag{6.1}$$

und

$$F(2P_{3=2}) = \frac{1}{12}\left(\frac{4}{3}\ln k_0(2P) + (Z\alpha)^2\right)\left(0{:}50337(1) + \frac{29}{90}\ln(Z\alpha)^2\right); \tag{6.2}$$

wobei der Bethe-Logarithmus gegeben ist durch $\ln k_0(2P) = -0{:}0300167089(3)$. Die A_{40}- und A_{61}-Koeffizienten stimmen mit den bekannten Resultaten uberein (diese Koeffizienten sind in [6] fur P und S Zustande aufgefuhrt, fur die P Zustande siehe Kapitel 1.3). Die A_{60}-Koeffizienten sind bestimmt zu

$$A_{60}(2P_{1=2}) = 0{:}99891(1) \tag{6.3}$$

und

$$A_{60}(2P_{3=2}) = 0{:}50337(1): \tag{6.4}$$

Diese Resultate sind konsistent mit den aus der Extrapolation von numerischen Resultaten gewonnenen Werte fur die A_{60}-Koeffizienten [14],

$$A_{60}(2P_{1=2}) = 0{:}8(3) \tag{6.5}$$

und

$$A_{60}(2P_{3=2}) = 0{:}5(3): \tag{6.6}$$

Die Bestimmung der A_{60}-Koeffizienten mit verbesserter Genauigkeit war neben der Entwicklung der fw-Methode das Hauptziel dieser Arbeit. Mit der genauen Kenntnis der Koeffizienten wird es moglich, neue (genauere) Werte fur die Lamb-Shift der beiden 2P Zustande anzugeben (Kapitel 6.4).

6.2 Uberprufung der Rechnung

Lamb-Shift-Rechnungen allgemein sind sehr umfangreich und die Ausdrucke in den Zwischenschritten recht gro. In dieser Arbeit uberstiegen die Integranden im Hochenergie-Anteil bei den Matrix-Elemente eine Lange von 1000 Termen, im Niedrigenergie-Anteil traten Ausdrucke vergleichbarer Lange auf, die dann vermittels der Zusammenhangsformeln vereinfacht wurden. Ein einziger Rechenfehler kann das Ergebnis verfalschen. Daher stellt sich die Frage nach den Uberprufungsmoglichkeiten. Bei der vorliegenden Arbeit wurden folgende Prufungen vorgenommen:

1. Die Matrix-Elemente für den Hochenergie-Anteil wurden auf zwei verschiedene Arten (computergestützt und von Hand) ausgewertet.

2. Im Hochenergie-Anteil sind der Koeffizient der $\ln(\ )$-Divergenz und der $1/\ $-Divergenz bekannt und können überprüft werden.

3. Im Niedrigenergie-Anteil kann man für jeden einzelnen Beitrag die $\ln(\ )$-Divergenz berechnen und überprüfen. Dies wurde für jeden einzelnen Beitrag getan. Die Summe der Divergenzen muß sich gerade mit dem Hochenergie-Anteil herausheben.

4. Man kann zeigen, daß das Matrix-Element

$$P(!) = \frac{m}{2}\ ^{T;ij}P^{ij}(!)$$

mit

$$P^{ij}(!) = h\ j\ ^{i}e^{ik\ r}\frac{1}{H_D\quad (E\quad !)}\ ^{j}e^{\ ik\ r}j\ i$$

für $! \ ! \ 0$ verschwindet. Daher muß auch die Summe der einzelnen Beiträge des Niedrigenergie-Anteils für $! \ ! \ 0$ ($t \ ! \ 1$) verschwinden. Nach der FW-Transformation treten jedoch noch versteckte Beiträge auf, da die ^{i}-Matrizen obere und untere Komponente der Spinoren miteinander verbinden. Wenn man die versteckten Beiträge jedoch miteinbezieht, so muß sich der konsistente Wert Null für die Summe ergeben. Man kann den Wert der Beiträge für $t \ ! \ 1$ sogar einzeln berechnen, wodurch eine zusätzliche Überprüfung des Resultats möglich ist. Diese Prüfungsmöglichkeit wurd ebenfalls in die Tat umgesetzt.

5. Alle im Niedrigenergie-Anteil verwandten Summations-Regeln wurden an geeigneten Beispielen geprüft.

6. Der nichtrelativistische Dipol-Anteil wurde auf zwei verschiedene Arten (im Impuls- und Ortsraum) berechnet.

Diese Prüfungen beziehen sich auf die Korrektheit der Rechenschritte. Es ergibt sich noch ein weiteres Problem, denn auch die verwandten Computer-Algebra-Systeme sind (wahrscheinlich) nicht frei von Inkonsistenzen. Die Überprüfungsmöglichkeiten in Bezug auf diese Systeme sind eingeschränkt. Man kann allenfalls die eigenen Programme so gestalten, daß die einzelnen Rechenschritte sehr gut kontrolliert werden.

6.3 Abschätzung höherer Koeffizienten

P. Mohr hat F für große Z aus numerischen Rechnungen gewonnen [14]. Für $Z = 5$ ist die Konvergenz bereits sehr langsam, für $Z < 5$ werden dort keine Resultate angegeben. Aufgrund der nichtanalytischen Terme in $\ $ ist eine Extrapolation der Ergebnisse in den Bereich für kleine Z nur eingeschränkt möglich. Kennt man aber die Koeffizienten von F bis zu einer bestimmten Ordnung in $\ $, so lassen sich durch Angleichen einer Funktion, die die nächsthöheren Koeffizienten enthält, Abschätzungen für diese Koeffizienten gewinnen. Wir gleichen dazu die Funktion

$$G(Z) = \frac{F(Z) \quad A_{40} \quad (Z\ )^2\ A_{60} + A_{61}\ln\ (Z\ )^{\ 2}}{(Z\ )^3} = \tag{6.7}$$

$$A_{71} + (Z\ )\ A_{80} + A_{81}\ln\ (Z\ )^{\ 2} + A_{82}\ \ln\ (Z\ )^{\ 2}\ ^{2} + O((Z\ )^2)$$

an die numerischen Ergebnisse an (mit den in dieser Arbeit bestimmten, neuen Werten von A_{60}). Daraus ergeben sich die folgenden Abschätzungen für die nächsthöheren Koeffizienten.

$$A_{70}(2P_{1=2}) \quad \frac{49}{50}\ ; \tag{6.8}$$

Die Angabe dieses Koeffizienten erfolgt in dieser Form, da gezeigt werden kann, daß $A_{ungerade;0}$ gleich einer rationalen Zahl mal $\ln(2)$ ist.

$$A_{80}(2P_{1=2}) \quad 0{:}1; \tag{6.9}$$

$$A_{81}(2P_{1=2}) \quad 1{:}5; \tag{6.10}$$

$$A_{82}(2P_{1=2}) \quad 0{:}2: \tag{6.11}$$

Für den $2P_{3=2}$-Zustand ist

$$A_{70}(2P_{3=2}) \quad \frac{39}{50}; \tag{6.12}$$

$$A_{80}(2P_{3=2}) \quad 1{:}7; \tag{6.13}$$

$$A_{81}(2P_{3=2}) \quad 0{:}6; \tag{6.14}$$

$$A_{82}(2P_{3=2}) \quad 0{:}2: \tag{6.15}$$

Den Fehler dieser Abschätzungen sollte man aufgrund der systematischen Unsicherheit des Verfahrens mit mindestens der Hälfte des Absolutwertes in jedem einzelnen Fall ansetzen.

Für die Werte von $G_1 = G(Z = 1)$ ergeben sich die folgenden Abschätzungen:

$$G_1(2P_{1=2}) = 3 \quad 2; \tag{6.16}$$

und

$$G_1(2P_{3=2}) = 2 \quad 1: \tag{6.17}$$

Diese Werte von G werden für die Angabe des theoretischen Fehlers des Selbstenergiebeitrages bei der Berechnung der Lamb-Verschiebung benötigt.

6.4 Neue Werte für die Lamb-Verschiebung

Für die Lamb-Shift E_{Lamb} verwenden wir die Definition

$$E = M + m_r[f(n;j) \quad 1] \quad \frac{m_r^2}{2M}[f(n;j) \quad 1]^2 + E_{Lamb} + E_{hfs}: \tag{6.18}$$

E ist die Energie des Zweikörpersystems und $f(n;j)$ die dimensionslose Dirac Energie. Für die in dieser Arbeit behandelte Ein-Schleifen-Selbstenergie muß zur Bestimmung der Lamb-Verschiebung die Abhängigkeit der einzelnen Koeffizienten von der reduzierten Masse des Systems miteinbezogen werden. Diese Abhängigkeit ist bekannt [6]. Außer der Ein-Schleifen-Selbstenergie tragen folgende Effekte zur Lamb-Verschiebung bei:

1. Zwei-Schleifen-Korrekturen zur Selbstenergie. Der Hauptbeitrag ist von der Ordnung $(Z)^4$. Es ist auch ein logarithmischer Beitrag der Ordnung $^2(Z)^6\ln((Z)^{-2})$ bekannt [5].

2. Drei-Schleifen-Beitrag zur Selbstenergie. Der Hauptbeitrag dieser Korrektur ergibt sich durch die Drei-Schleifen-Beiträge zum anomalen magnetischen Moment des Elektrons [5]. Der Effekt skaliert mit $^3(Z)^4$.

3. Vakuumpolarisation. Die Vakuumpolarisation geht für P-Zustände nur in höherer Ordnung ($(Z)^6$) ein [6].

4. Eine mit $(m_r=M)^2(Z)^4$ skalierende Rückstoßkorrektur, die aus dem Breit-Hamiltonian folgt und eine leichte l-Abhängigkeit der Energieniveaus bedingt [6].

5. Die Salpeter Korrektur (relativistische Rückstoßkorrektur) in $(Z)^5$ [6].

6. Relativistische Rucksto korrekturen hoherer Ordnung $((Z\ )^6 m_r=M\ )$ [24].

Durch Abschatzen hoherer Terme in kann fur die einzelnen Beitrage ein \theoretischer Fehler" angegeben werden. Fur den $2P_{1=2}$-Zustand ergibt sich folgende Tabelle,

Lamb-Verschiebung des $2P_{1=2}$-Zustands		
Beitrag	Wert in kHz	Fehler in kHz
Ein-Schleifen-Selbstenergie	12846:9	0:1
Zwei-Schleifen-Selbstenergie	26:0	0:1
Drei-Schleifen-Selbstenergie	0:2	vernachlassigbar
Vakuumpolarisation	0:3	vernachlassigbar
$(Z\ )^4$ Rucksto	2:2	vernachlassigbar
$(Z\ )^5$ Rucksto (Salpeter)	17:1	0:1
$(Z\ )^6$ Rucksto	0:4	vernachlassigbar
Summe fur $2P_{1=2}$	12836:0	0:3

und fur $2P_{3=2}$ haben wir

Lamb-Verschiebung des $2P_{3=2}$-Zustands		
Beitrag	Wert in kHz	Fehler in kHz
Ein-Schleifen-Selbstenergie	12548:0	0:1
Zwei-Schleifen-Selbstenergie	12:8	0:1
Drei-Schleifen-Selbstenergie	0:1	vernachlassigbar
Vakuumpolarisation	0:1	vernachlassigbar
$(Z\ )^4$ Rucksto	1:1	vernachlassigbar
$(Z\ )^5$ Rucksto (Salpeter)	17:1	0:1
$(Z\ )^6$ Rucksto	0:4	vernachlassigbar
Summe fur $2P_{3=2}$	12517:5	0:3

Bei den theoretischen Unsicherheiten addieren wir die Absolutwerte der Fehler, da sich theoretische Unsicherheiten nicht wie statistisch verteilte Mewerte verhalten. Die neuen Werte fur die Lamb-Verschiebungen der $2P$-Zustande sind

$$E_{Lamb}(2P_{1=2}) = \quad 12836:0(3)\,kHz \tag{6.19}$$

sowie

$$E_{Lamb}(2P_{3=2}) = 12517:5(3)\,kHz: \tag{6.20}$$

Der theoretische Fehler fur beide Endergebnisse liegt bei unter 300 Hz. Der neue theoretische Wert fur die Feinstruktur ergibt sich aus Gl. 6.18 zu

$$E_{fs} = E(2P_{3=2}) \quad E(2P_{1=2}) = 10969043:2(6)\,kHz; \tag{6.21}$$

wiederum mit der Maga be, die Absolutwerte der einzelnen theoretischen Fehler zu addieren.

6.5 Diskussion der epsilon-fw-Methode

Die in dieser Arbeit vorgestellte fw-Methode dient zur Berechnung der Selbstenergie eines gebundenen Zustands in hoherer Ordnung. Die Rechnung wird in einen Hoch- und einen Niedrigenergie-Anteil aufgespalten. Der Hochenergie-Anteil wird durch Einsatz von Computer-Algebra vereinheitlicht behandelt. Im Niedrigenergie-Anteil hat die fw-Methode aufgrund der Foldy-Wouthuysen-Transformation folgende Vorteile:

1. Klare Trennung des Hauptbeitrages von den relativistischen Korrekturen,

2. Einsatz des nichtrelativistischen Propagators,

3. Aufteilung der Rechnung in Teilbeitrage.

Ultimatives Ziel der computergestutzten Rechnungen ist automatisierte Berechnung von quantenelektrodynamischen Korrekturen. Nur durch eine solche Automatisierung der Rechnung ist es moglich, Korrekturen hoherer Ordnung zuverlassig zu berechnen (wegen der Lange der Terme). Von besonderer Wichtigkeit bleibt jedoch die Wahl einer adaquaten Rechenmethode. Bei Wahl einer falschen Methode \explodieren" die Ausdrucke in mehrere zehntausend Terme, die auch mit schnellen Rechnern nicht mehr handhabbar sind. Daher ist es unter anderem wunschenswert, die Rechnung in Teilschritte aufzuspalten.

Wie wir am Beispiel der Integrationsroutinen zur Berechnung der Matrix-Elemente (siehe Abschnitt 4.1.1) sehen, kann durch geschicktes Programmieren haufig die Rechenzeit um mehrere Groenordnungen verringert werden. Die entwickelten Integrationsroutinen zur Berechnung von Matrix-Elementen kommen mit sehr wenigen Regeln aus und sind daher schnell. Die in Mathematica eingebauten Routinen decken zwar eine groere Klasse von Integralen ab, sind aber fur den speziellen Einsatz viel zu langsam.

Kapitel 7

Ausblick

7.1 Anmerkung zum Vergleich mit dem Experiment

Zum direkten Vergleich von Theorie und Experiment sollte auf dem kHz-Niveau noch folgender Effekt miteinbezogen werden, für den hier der Name hfs-fs-Kopplung vorgeschlagen wird. Der Effekt wird beispielsweise in [23] für myonischen Wasserstoff behandelt. Er beeinflußt die relative Lage von Zuständen mit denselben n, l, und F Quantenzahlen, die aber verschiedene j-Quantenzahlen aufweisen. Der Effekt wird bereits in dem klassischen Buch von Bethe und Salpeter [9] beschrieben. Durch den Effekt wird der $2P_{3/2}, F = 1$ Zustand energetisch abgesenkt, der $2P_{1/2}, F = 1$ Zustand jedoch energetisch angehoben um jeweils 2.5 kHz. Der Effekt beeinflußt nicht die relative Lage der $2P_{3/2}, F = 2$ und $2P_{1/2}, F = 0$ Zustände.

7.2 Hochpräzisions-Tests der QED

Durch den neuen theoretischen Wert für den $2P_{1/2}$ Zustand wird es möglich, von der 2P Lamb-Verschiebung, die als Referenzpunkt dient, die 2S Lamb-Verschiebung sehr genau zu bestimmen (Messung von Hagley und Pipkin, [13]). Andererseits wird die 2S-Lamb-Verschiebung im Frequenzkettenlabor durch Vergleich der nS-Übergangsfrequenzen ermittelt. Dadurch ist ein direkter Vergleich von zwei völlig unterschiedlichen experimentellen Methoden möglich.

Allgemein gilt für die hier vorgestellte fw-Methode, daß analytische Rechnungen zur Selbstenergie in höherer Ordnung sehr vereinfacht werden.. In leicht abgewandelter Form sollte die Methode zur Berechnung von Strahlungskorrekturen zur Hyperfeinstruktur in Myonium und Positronium sowie zur Selbstenergie in Helium einsetzbar sein.

Weitere Anwendungsmöglichkeiten ergeben sich für P-Zustände mit höheren Hauptquantenzahlen ($n = 3$ und $n = 4$). Die Computerunterstützung ist hier sehr hilfreich, da die aufgrund höherer Hauptquantenzahl längeren Ausdrücke für die Wellenfunktionen problemlos behandelt werden können.

Nach Wissen des Autors existieren für Zustände mit $n > 3$ zur Zeit weder numerische noch symbolische Rechnungen in höherer Ordnung. Durch Rechnungen in höherer Ordnung könnte die Lamb-Shift dieser Zustände und damit die Feinstruktur sehr genau bestimmt werden.

Danksagung

Ich möchte mich ganz herzlich bei Herrn Dr. Krzysztof Pachucki für die freundliche, unkomplizierte und stets offene Hilfe und Betreuung bedanken. Bei Herrn Prof. Theodor Hansch bedanke ich mich für die Vergabe des Themas und die Inspiration, die von den Hochpräzisions-Messungen ausgeht. Schließlich danke ich auch der Studienstiftung für Anregung und Unterstützung während des Studiums.

Literaturverzeichnis

[1] W. Greiner, Theoretische Physik–Band 7: Quantenelektrodynamik, Verlag Harry Deutsch, Thun; Frankfurt am Main, 2. Auflage 1995.

[2] C. Itzykson und J.B. Zuber, Quantum Field Theory, McGraw-Hill, New York, 1980.

[3] Bjorken/Drell, Relativistische Quantenmechanik, Originalausgabe bei McGraw-Hill 1964, deutsche Übersetzung im B.-I. Wissenschaftsverlag, 1964.

[4] L.D. Landau und E.M. Lifschitz, Lehrbuch der Theoretischen Physik, Bd. 3: Quantenmechanik, Akademie-Verlag, Berlin, 1979.

[5] T. Kinoshita und D. Yennie, "High Precision Tests of Quantum Electrodynamics – An Overview", in Quantum Electrodynamics, Herausgeber T. Kinoshita, World Scientific, Singapur 1990.

[6] J. Sapirstein und D. Yennie, "Theory of Hydrogenic Bound States", in Quantum Electrodynamics, Herausgeber T. Kinoshita, World Scientific, Singapur, 1990.

[7] E.A. Uehling, Phys. Rev. 48, 55 (1935).

[8] H.A. Bethe, Phys. Rev. 72, 339 (1947).

[9] H.A. Bethe und E.E. Salpter, Quantum Mechanics of One- and Two-Electron Atoms, Springer-Verlag, Berlin/New York, 1957.

[10] W.E. Lamb, Jr. und R.C. Retherford, Phys. Rev. 72, 241 (1947).

[11] S. Triebwasser, E.S. Dayhoff und W.E. Lamb, Phys. Rev. 89, 98 (1953).

[12] M. Weitz, F. Schmidt-Kaler, und T.W. Hansch, Phys. Rev. Lett. 68, 1120 (1992), F. Schmidt-Kaler, D. Leibfried, M. Weitz, und T.W. Hansch, Phys. Rev. Lett. 70, 2261 (1993), M. Weitz, A. Huber, F. Schmidt-Kaler, D. Leibfried, und T.W. Hansch, Phys. Rev. Lett. 72, 328 (1994).

[13] E.W. Hagley und F.M. Pipkin, Phys. Rev. Lett. 72, 1172 (1994).

[14] P.J. Mohr, Phys. Rev. A 26, 2338 (1982), P. Indelicato und P.J. Mohr, Phys. Rev A 46, 172 (1992), K.T. Cheng, W.R. Johnson, und J. Sapirstein, Phys. Rev. Lett. 66, 2960 (1991), S.A. Blundell und N.J. Snyderman, Phys. Rev. A 44, 1427 (1991), P.J. Mohr und Y.K. Kim, Phys. Rev. A 45, 2727 (1992).

[15] L. Hostler, J. Math. Phys. 5, 591 (1964).

[16] R.A. Swainson und G.W.F. Drake, J. Phys. A Math. Gen. 24, 79, 95 (1991).

[17] H. Bateman, Higher Transcendental Functions, McGraw–Hill, New York, 1953.

[18] H. Buchholz, The Confluent Hypergeometric Function, Springer Verlag, Berlin/New York, 1969.

[19] K. Pachucki, Dissertation, in Annals of Physics (N.Y.) 226, 1 (1993).

[20] K. Pachucki, Phys. Rev. Lett. 72, 3154 (1994).

[21] K. Pachucki und H. Grotch, Phys. Rev. A 51, 1854 (1995).

[22] K. Pachucki, Phys. Rev. A 52, 1079 (1995).

[23] K. Pachucki, Phys. Rev. A 53, 2092 (1996).

[24] E. Golosov et al., Zh. Eksp. Teor. Fiz. 107, p. 393 (1995).

[25] S. Wolfram, Mathematica: A System for Doing Mathmatics by Computer (Addison-Wesley, Reading, MA, 1988).

[26] A. Hsieh und E. Yehudai, H.I.P. – Symbolic High Energy Physics Calculations, Computers in Physics, 1991.